



YILDIZ TEKNİK ÜNİVERSİTESİ

FEN BİLİMLERİ ENSTİTÜSÜ

Gaz yakıt-oks. ön kar. alevl. yanma
hız, ölç. için bir yöntem gelişt.

Yüksek Lisans Tezi

Serap Kocabiyik

YILDIZ ÜNİVERSİTESİ
FEN BİLİMLERİ ENSTİTÜSÜ

Kum

25000 TL

95

GAZ YAKIT-OKSİJEN ÖN KARIŞIMLI ALEVLERİNİN
YANMA HİZLARINI ÖLÇMEK İÇİN BİR YÖNTEM
GELİŞTİRİLMESİ

YÜKSEK LİSANS TEZİ

KİM. MÜH. SERAP KOCABIYIK

İSTANBUL - 1990

YILDIZ TEKNİK ÜNİVERSİTESİ
KÜTÜPHANE DOKÜMANTASYON
DAİRE BAŞKANLIĞI

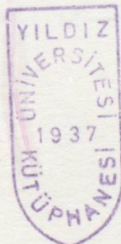
R 361
Kot 108
Alındığı Yer Fen. Bil. Enstitüsü.....
Tarih 25/3/1992
Fatura -
Fiyatı 25.000 TL.
Ayniyat No 1/1
Kayıt No 48250
UDC
Ek
.....

Y.T.O.

KÜTÜPHANE DOK. DAİRE BAŞKANLIĞI

YILDIZ ÜNİVERSİTESİ
FEN BİLİMLERİ ENSTİTÜSÜ

GAZ YAKIT-OKSİJEN ÖN KARIŞIMLI ALEVLERİNİN
YANMA HİZLARINI ÖLÇMEK İÇİN BİR YÖNTEM
GELİŞTİRİLMESİ



108

YÜKSEK LİSANS TEZİ

KİM. MÜH. SERAP KOCABIYIK

İSTANBUL - 1990



GAZ YAKIT-OKSİJEN ÖN KARIŞIMLI ALEVLERİNİN
YANMA HİZLARINI GELİŞTİRMEK İÇİN BİR YÖNTEM
GELİŞTİRİLMESİ

Tez Savunma Tarihi : 15 Haziran 1990

Tez Yöneticisi : Prof.Dr.Neşet KADIRGAN

Jüri Üyeleri : Yrd.Doç.Dr.. Süha AKÇİZ

Yrd.Doç.Dr. Esen BOLAT

Bu tez Yıldız Üniversitesi Araştırma Fonu tarafından desteklenmiştir.(Fon Proje No: 87-B-04-08-20)

TEŞEKKÜR

Tez konumu veren ve çalışma süresince öneri ve yardım-

lariyla destek olan Sayın Prof.Dr.Neşet KADIRGAN'a,

Tez konusu almamı yönlendiren Bölüm Başkanımız Sayın
Prof.Dr.Salih DİNÇER başta olmak üzere, bana bilimi ve mü-
hendisliği öğreten bütün öğretim üyelerine,

Deneysel bölümde yardımcılarını gördüğüm Fizik Bölümü
Öğretim Üyesi Sayın Yrd.Doç.Dr.Süha AKÇİZ'e, Sayın Metin
SALTIK'a ve özellikle de Kimya Yüksek Mühendisi Jale GÜLEN'e,

İlgi ve desteğinden dolayı Sayın Yrd.Doç.Dr.Esen
BOLAT'a,

Araştırmalar için gerekli mali kaynağı sağlayan Yıl-
dız Üniversitesi Araştırma Fonu'na,

Tezimi okuyup değerlendiren jüri üyelerine ve çalış-
mam sırasında bana destek olmak için elliinden geleni e-
sirgemeyen ARKADAŞLARIMA ve AİLEME

TEŞEKKÜR EDERİM.

ÖZET

Bu tezde önce ön karışıklımlı oksijen-gaz yakıt alevlerinin özellikleri, kullanım alanları ve yanma hızlarının önemi üzerine bir derleme yapıldı.

Deneysel çalışmada alevi yaktığımız hamlaçtan geçen gazların debisini ölçen debimetreler kalibre edildi. Gazların çıkış debileri üzerine, hamlaca giren gazların basınçlarının etkisi incelendi ve gaz debileri ile basınç arasında empirik bir bağıntı bulundu.

Ön karışıklımlı alevlerde iç koninin yüksekliğini ölçerek yanma hızı belirleme yöntemini sınamak için en hızlı yanen gaz karışımı olarak oksi-asetilen alevleri kullanıldı. Çıkış hızı büyük olan, dolayısıyla da laminerlikten uzaklaşan en olumsuz örnekler üzerinde çalışıldı.

İç koninin yüksekliği ölçülderek bulunan yanma hızları yakıtça fakir alevlerde debi artışı ile azalmakta, zengin alevlerde ise artmaktadır. Ancak bu değişimler çok fazla değildir. Yöntem her zenginlik için karakteristik bir yanma hızı bulmayı sağlamaktadır.

Alev difüzyondan gelen havanın etkisini incelemek için bir cam kılıf içerisinde, kendi atmosferinde yakılmış ve bu alev havada yanın alevle kıyaslanmıştır. İdeal koni durumundan sapma eğilimi de fotoğraf çekilerek incelenmiştir. Yakıtça zengin alevlerde yanma hızı üzerine sekonder hava akımının etkisinin daha önemli olduğu, ayrıca fakir alevlerde primer yanma bölgesinin ideal bir iç koni oluşturduğu, zengin alevlerde ise ideallikten sapma olduğu sonucuna varılmıştır.

ABSTRACT

In this thesis a review on the properties of premixed oxy-fuel flames, the technology of oxy-fuel gas processes and the importance of burning velocities was first done.

In the experimental work, the flowmeters measuring the flow rates of gases passing through the burner were calibrated. Then the influence of pressure of gases entering the burner, on the flow rates of gases was studied and an empirical relation was found between pressure and flow rates of gases.

The flames of oxy-acetylene, the mixture with the greatest burning velocity, were used to test the validity of an experimental method which determines the burning velocity by measuring the height of the inner cone. The work was done on samples with large out flow rates and therefore mostly deviated from laminar flow.

The burning velocities determined by measuring the height of inner cone decrease for fuel poor flames but increase for fuel rich flames as flow rates increase. These variations are not too excessive and the method permits the determination of a flame propagation speed characteristic to each oxygen-fuel ratio.

The flame was burned in a glass tube, in its own combustion atmosphere to test the influence of diffused air and it was compared with the flame burned in air. The flame was photographed to determine its trend of deviation from ideal cone state. It was concluded that for fuel rich flames the effect of secondary air flow on the burning velocity is more important. Also it was determined that for fuel poor flames the primary burning zone is forming an ideal inner cone where as for fuel rich flames a deviation from ideality occurs.

İÇİNDEKİLER

Sayfa No

TEŞEKKÜR

ÖZET

ABSTRACT

TABLO LİSTESİ

ŞEKİL LİSTESİ

| | |
|---|----|
| 1. GİRİŞ | 1 |
| 2. GAZ YAKIT- OKSİJEN ALEVLERİ ÜZERİNE | |
| GENEL BİLGİLER | 3 |
| 2.1. Gaz Yakıtlar..... | 3 |
| 2.1.1. Gaz Yakıtların Tanımı ve Fiziksel Özellikleri | 3 |
| 2.1.2. Gaz Yakıtların Dağıtım ve Depolanması..... | 6 |
| 2.2. Yanma ve Alev Türleri | 7 |
| 2.2.1. Kontrollü Yanma ve Patlama | 7 |
| 2.2.2. Homojen ve Heterojen Yanma | 7 |
| 2.2.3. Oksijen ya da Hava ile Yanma | 8 |
| 2.2.4. Ön Karışıklı Laminer Alevlerin Yapısı | 8 |
| 2.2.5. Laminer ve Türbülanslı Alevler | 10 |
| 2.3. Ön Karışıklı Laminer Alevlerin Yapısı | 11 |
| 2.3.1. Tek Boyutlu Ön Karışıklı-Laminer Alevlerin Yapısı | 11 |
| 2.3.2. İncelediğimiz Alevlerin Yapısı | 14 |
| 2.4. Alevlenme Sınırları | 17 |
| 2.5. Alevlerin Kimyasal Özellikleri | 23 |
| 2.6. Alev Sıcaklığı | 24 |
| 2.7. Alevden Metale Isı İletimi | 26 |
| 2.8. Gaz Yakıt- Oksijen Alevlerinin Kullanım Alanları | 28 |
| 2.8.1. Alev Prosesleri | 28 |
| 2.8.2. Oksijen Prosesleri | 30 |
| 3. YANMA HIZI ÜZERİNE GENEL BİLGİLER | 32 |
| 3.1. Yanma Hızı Ölçümünde Kullandığımız Yöntem | 32 |
| 3.2 Yanma Hızının Uygulamadaki Önemi | 34 |
| 3.2.1. Alevlerin İçten Yanması | 34 |
| 3.2.2. Gaz Yakıtlar Arasında Dönüşüm | 40 |

| | |
|--|----|
| 3.2.3. İSİ İLETİMİ | 41 |
| 4. DENEYSEL ÇALIŞMALAR | 42 |
| 4.1. Deney Düzeneği | 42 |
| 4.2. Kalibrasyon Çalışması | 44 |
| 4.3. Gazların Debi Hesaplamasında Kullanılacak Olan Bağıntının Belirlenmesi | 47 |
| 4.4. Alev Boyu Ölçme Denemeleri | 49 |
| 4.5. Çeşitli Zenginliklerde Hava İçinde Ölçülen Alev Boyları | 52 |
| 4.6. Kılıf İçine Yerleştirilmiş Alevin Yanma Hızının Ölçülmesi | 64 |
| 4.7. Alev Fotoğraflarının İncelenmesi | 72 |
| 4.8. İç Koni Ücunda Çıkış Hızı Hesabı | 72 |
| 4.9. Deneysel Sonuçların Değerlendirilmesi | 74 |
| 5. SONUÇ | 78 |
| KAYNAKLAR | 80 |
| ÖZGEÇMİŞ | |

TABLO LİSTESİ

Sayfa No

| | |
|---|----|
| Tablo 1. Gaz hidrokarbonlar | 4 |
| Tablo 2. Gaz hidrokarbonlarının fiziksel özellikleri | 5 |
| Tablo 3. Stokiométrik hava-yakit karışımlarında, karışımın patlaması ya da yanması için, gerekken minimum sıcaklık(tutuşma sıcaklığı) | 17 |
| Tablo 4. Alevlenme sınırları | 18 |
| Tablo 5. Hava-asetilen karışımlarının alt ve üst tutuşma sınırlarının değişimi | 22 |
| Tablo 6. Gaz yakıtların stokiométrik karışımlarının alev sıcaklıklar | 25 |

ŞEKİL LİSTESİ

| | <u>Sayfa No</u> |
|--|-----------------|
| Şekil 1. Bunsen beki | 9 |
| Şekil 2. Smithells Separatörü | 9 |
| Şekil 3. Sabit konumlu bir alevin tanımında kullanılan sistem | 11 |
| Şekil 4. Ön karışıklı, tek boyutlu alev boyunca konsantrasyon ve sıcaklık eğrileri | 12 |
| Şekil 5. %9,6 CH ₄ -%21,3 O ₂ -%9,1 Ar bileşimli ön karışıklı düşük basınç alevlerindeki radikallerin dağılımı | 13 |
| Şekil 6. Ön karışıklı, laminer alevlerin yapısı | 14 |
| Şekil 7. Hava difüzyonun engellendiği durumda alev yapısı | 15 |
| Şekil 8. İç koninin içindeki radikallerin ışma şiddeti | 16 |
| Şekil 9. CH ₄ -hava ve H ₂ -hava karışımlarında basınçın tutuşabilirlik sınırlarına etkisi | 21 |
| Şekil 10. Basınç ve sıcaklığın tutuşma sınırlarına etkisi | 21 |
| Şekil 11. Hava-hidrojen karışımlarında sıcaklığın tutuşabilirlik sınırlarına etkisi | 21 |
| Şekil 12. Hava/CO karışımlarında sıcaklığın tutuşma sınırlarına etkisi | 21 |
| Şekil 13. Hesaplanmış adyabatik alev sıcaklıkları | 24 |
| Şekil 14. Sıcaklık farkının etkisi | 27 |
| Şekil 15. Hamlaç ucunda yanma hızının bulunması | 32 |
| Şekil 16. Alev içeri girme durumları | 35 |
| Şekil 17. Brülör delik kesiti | 36 |
| Şekil 18. Oksijen-Hidrojen alevlerinin içeri girmesinde toplam gaz debisi | 38 |
| Şekil 19. Oksijen-asetilen alevlerinin içeri girmesinde toplam gaz debisi | 38 |
| Şekil 20. Oksijen-Hidrojen alevlerinin içeri girmesinde sıcaklık etkisi | 39 |
| Şekil 21. Oksijen-asetilen alevlerinin içeri girmesinde sıcaklık etkisi | 39 |

| | |
|---|----|
| Şekil 22.Gaz ocağı beki ya da brülörü | 40 |
| Şekil 23.Deney düzeneği | 43 |
| Şekil 24.Asetilen gazı kalibrasyon eğrisi | 45 |
| Şekil 25.Oksijen gazı kalibrasyon eğrisi | 46 |
| Şekil 26.Debi ile basınç arasındaki bağıntının belirlenmesi | 48 |
| Şekil 27.m değerinin bulunması | 48 |
| Şekil 28.Yanma hızının ve alev boyunun toplam debi ile değişimi ($R=0,35$) | 49 |
| Şekil 29.Yanma hızının ve alev boyunun toplam debi ile değişimi ($R=0,5$) | 54 |
| Şekil 30.Yanma hızının ve alev boyunun toplam debi ile değişimi ($R=(0,75)$) | 55 |
| Şekil 31.Yanma hızının ve alev boyunun toplam debi ile değişimi ($R=1$) | 56 |
| Şekil 32.Yanma hızının ve alev boyunun toplam debi ile değişimi ($R=1,25$) | 57 |
| Şekil 33.Yanma hızının ve alev boyunun toplam debi ile değişimi ($R=1,5$) | 58 |
| Şekil 34.Yanma hızının ve alev boyunun toplam debi ile değişimi ($R=1,75$) | 59 |
| Şekil 35.Yanma hızının ve alev boyunun toplam debi ile değişimi ($R=2$) | 60 |
| Şekil 36.Yanma hızının ve alev boyunun toplam debi ile değişimi ($R=2,27$) | 61 |
| Şekil 37.Aynı toplam debide yanma hızlarının zenginliklikle değişimi | 62 |
| Şekil 38.Aynı iç koni boylarında yanma hızlarının zenginliklikle değişimi | 63 |
| Şekil 39.Cam kılıf içinde yanma hızının ve alev boyunun toplam debi ile değişimi ($R=0,35$) | 65 |

| | |
|---|----|
| Şekil 40.Cam kılıf içinde yanma hızının ve alev boyu- nun toplam debi ile değişimi ($R=0,5$) | 66 |
| Şekil 41.Cam kılıf içinde yanma hızının ve alev boyu- nun toplam debi ile değişimi ($R=1$) | 67 |
| Şekil 42.Cam kılıf içinde yanma hızının ve alev boyu- nun toplam debi ile değişimi ($R=1,5$) | 68 |
| Şekil 43.Cam kılıf içinde yanma hızının ve alev boyu- nun toplam debi ile değişimi ($R=2$) | 69 |
| Şekil 44.Kendi atmosferinde yanan alevlerin aynı toplam debide yanma hızının zenginlirle değişimi ... | 70 |
| Şekil 45.Kendi atmosferinde yanan alevlerin aynı iç koni yüksekliğinde yanma hızının zengin- likle değişimi | 71 |
| Şekil 46.İç koni ucunda alev çıkış hızının aynı toplam debide zenginlikle değişimi | 73 |
| Şekil 47.Alev Fotoğrafları | 75 |
| Şekil 48.Aynı debide kılıflı ve kılıfsız alevlerin yanma hızlarının zenginlikle değişimi | 77 |

1. GİRİŞ

Bu yüksek lisans tezinde yapılan çalışma Yıldız Üniversitesi Araştırma Fonu tarafından desteklenen geniş kapsamlı bir projenin bölümlerinden biridir. Genel olarak, gaz yakıtların düşük basınçtaki alevleri, deney ve hesapların kolaylığından ötürü, hava ile yakılan atmosferik basınçtaki alevleri ise çok kullanılmaları nedeniyle, kimyasal bileşimleri, sıcaklıklarını ve ısı iletimleri açısından yaygın olarak incelenmiştir.

Gerçekleştirilmek istenen genel projede amaç; kaynak, lehim, yüzey temizleme, kaplama yerel metalurjik işlemler cam işleri, oksijenle kesme gibi alev proseslerinde kullanılan ön karışımı oksijen-gaz yakıt alevlerinin yanma hızlarını ve bu alevlerden metallere ısı iletimini ölçmektir. Bulunacak değerlerin literatürde var olan (1), (2) sıcaklık ve kimyasal kompozisyon verileri ile ilişkileri incelenecaktır. Sonuçta her alev prosesi için gaz yakıtlar birçok yönden kıyaslanacak, özellikle doğal gazın bu proseslerin hangilerini gerçekleştirebileceği irdelenecektir.

Alevlerden metallere ısı iletimini kıyaslamak için pırińç ve cam çubukları kesmeye dayalı bir yöntemin geçerliliği daha önce araştırılmıştır (3). Bu çalışmada ise alevlerin yanma hızlarını ölçecek bir yöntem üzerinde durulmaktadır.

Bilindiği gibi konveksiyonla ısı iletimi üzerinde en önemli etken, brülörden çıkış hızıdır. Brülörden çıkış hızı ise yanma hızı ile sınırlıdır. Ayrıca yanma hızı yakıt dönüşümünün, diğer bir deyişle aynı brülörde çeşitli yakıtların aynı gücü vererek birbirlerinin yerine kullanılmasının en önemli parametrelerinden biridir.

Bu tezde yanma hızı, iç koninin yüksekliği ölçülerek hesaplanmaktadır. Gazların brülörden çıkış debilerinin, alevi çevreleyen atmosferin ve yakıt-oksijen oranının yanma hızları üzerine etkisi incelenmiştir. Gaz yakıt olarak asetilen, oksitleyici olarak saf oksijen kullanılmıştır. Böylece yöntem

yanma hızının en yüksek olduğu, alevin laminerlikten en çok saptığı diğer bir deyişle en olumsuz koşullarda sıvanmıştır.

2. GAZ YAKIT-OKSİJEN ALEVLERİ ÜZERİNE GENEL BİLGİLER

2.1. Gaz Yakıtlar

2.1.1. Gaz Yakıtların Tanımı ve Fiziksel Özellikleri

Burada önemli olan gaz yakıtları, sıvı yakıtlardan ayıra- bilmektir. Teknik olarak bir yakıta, atmosfer sıcaklığı ve ba- sında tümüyle gaz ise, gaz yakıt adı verilir. Bu, kaynama sıcaklığı çevre sıcaklığının altında ya da çevre sıcaklığın- daki buhar basıncı atmosferin altında demektir. Eğer yüksek basınç altında sıvı halde depolanmışsa, sıvılaştırılmış gaz adını alır. Ayrıca sıvı yakıtların kaynama noktası çevre si- caklığından yüksektir.

Gaz ile sıvı yakıt arasındaki sınır görüldüğü gibi çok net değildir. Çünkü, çevre sıcaklığı genel olarak $20-25^{\circ}\text{C}$ alı- nırsa da bazı yakıtlar yazın gaz, kışın sıvı yakıt varsayıla- bilir. Ancak bu sıcaklık ve basınçla sıvı gaz değişiklikleri, düşük kritik sıcaklığı olan gaz yakıtlar için söz konusu de- ğildir. Bilindiği gibi kritik sıcaklık öyle bir sıcaklıktır ki, gazlar bu sıcaklığın üzerinde çok büyük basınç altında bi- le sıvılaştırılamaz. Hidrojen, karbon monoksit ve bazı özel koşullarda gaz olan H-C-O bileşikleri dışında bütün gaz yakı- lar hidrokarbondurlar.

Tablo 1 de gaz hidrokarbonlar görülmektedir. Kimyasal yanma özellikleri (yanma hızı ve sıcaklığı) sağa, fiziksel Özellikler (kaynama sıcaklığı, kritik sıcaklık) yukarıdan aşa- ğıya, buhar basıncı aşağıdan yukarı artar. İlk kesikli çizgi sıvılaşamayan gazlarla sıvılaşabilir gazları, ikinci kesikli çizgi gazlarla sıvıları ayırır. Etan, etilen ve asetilen sı- nır durumundadır (4).

Gaz yakıtlarının fiziksel özellikleri ise Tablo 2 de görülmektedir.

Tablo 1. Gaz hidrokarbonlar

| | Tek Bağlı (-) | Çift Bağlı (=) | Üçlü Bağlı (≡) | İki Çift Bağlı (= =) |
|-------|------------------------|--------------------------------|-------------------------------------|--------------------------------|
| | $C_n H_{2n+2}$ | $C_n H_{2n}$ | $C_n H_{2n-2}$ | $C_n H_{2n-2}$ |
| C_0 | H_2 Hidrojen | | | |
| C_1 | CH_4 Metan | | | |
| C_2 | $C_2 H_6$ Etan | $C_2 H_4$ Eten(Etilen) | $C_2 H_2$ Etin (Asetilen) | |
| C_3 | $C_3 H_8$ Propan | $C_3 H_6$ Propen (Propilen) | $C_3 H_4$ Propin Metil asetilen) | $C_3 H_4$ Propadien (Allen) |
| C_4 | $C_4 H_{10}$ Bütan | $C_4 H_8$ Büten | $C_4 H_6$ Bütin | $C_4 H_6$ Butadien |
| C_5 | $C_5 H_{12}$ Pentan | $C_5 H_{10}$ Penten | $C_5 H_8$ Pentin | $C_5 H_8$ Pentadien |

Yanma Hızı →
Yanma Sıcaklığı

Tablo 2. Gaz hidrokarbonlarının fiziksel özelliklerini

| Grup | Yakıt Gazı Adı | Kritik Sıcaklık (°C) | Kaynama Noktası (°C) | 20°C'de Buhar basıncı (atm) | Havaya Göre Bağlı Yoğunluk |
|----------------|------------------|----------------------------|----------------------------|--------------------------------------|----------------------------------|
| C ₀ | Hidrojen | -240 | -253 | - | 0,07 |
| C ₁ | Metan | -82 | -162 | - | 0,55 |
| C ₂ | Etan | 32 | -88 | 36,11 | 1,05 |
| | Etilen | 9 | -104 | 49,39* | 0,98 |
| | Asetilen | 36 | -84 | 42,24 | 0,91 |
| C ₃ | Propan | 97 | -42 | 7,63 | 1,56 |
| | Propilen | 92 | -47 | 8,99 | 1,49 |
| | Metilasetilen | 128 | -23 | 4,08 | 1,41 |
| | Propadien(Allen) | 120 | -34 | 6,40 | 1,42 |
| C ₄ | Bütanlar | | | | |
| | n-Bütan | 152 | 0 | 1,09 | 2,07 |
| | iso-Bütan | 135 | -11 | 1,97 | 2,07 |
| | Bütenler | | | | |
| | 1-Bütilen | 146 | -6 | 1,70 | 1,93 |
| | 2-Bütilen | 160 | 3 | 0,95 | 1,94 |
| | iso-Bütilen | 145 | -6 | 1,49 | 1,94 |
| | Bütinler | | | | |
| | Etilasetilen | 191 | 9 | 0,54 | 1,96 |
| | Dimetilasetilen | 215 | 27 | 0,20 | 1,94 |
| | Bütadienler | | | | |
| | 1.2 Bütadien | 171 | 15 | 0,07 | 1,92 |
| | 1.3 Bütadien | 152 | -4 | 1,36 | 1,88 |

* (9 °C de)

2.1.2. Gaz Yakıtların Dağıtım ve Depolanması

Genel olarak sivilaştırılabilir gaz yakıtlar tüplerde sıvı halde depolanır ve dağıtilır. Bu konuda yaygın örnekler; LPG, bütan, propan, ayrıca Tetrene, MAPP, Apashi patent adları ile satılan bir ve iki çifte bağlı bileşikler içeren ve rafinerilerin kraking ürünlerini olan gaz karışımılarıdır (5).

Kritik sıcaklıklarını düşük olduğu için sivilaştırılamayan gazların tüketimi çok ise, bu gazlar dağıtım zorluğuna ve ısıtımın yüksekliğine karşın boru hatlarıyla dağıtilırlar. Havagazı ve doğal gaz bu konuda en önemli iki örnektir. Ayrıca bu gazları, çok düşük sıcaklıklarda sıvı halde depolama çok büyük kütleyer için söz konusudur. Örneğin doğal gazın büyük tankerlerle kıtalardan arası taşınması ya da Ereğli'de yapımına başlanan sivilaştırılmış doğal gaz terminali uygulamaya iki örnektir. Etilen 9°C' nin altında sivilaştırılabildiği için, sivilaştırılamayan gazlar bağımsız ve küçük çapta kullanımlar için 225 atmosfer basınç altında depolanır ve taşınırlar. Aile işlemleri için CO, H₂ ve O₂ bu biçimde tüketiciye ulaşmaktadır.

Asetilenin depolanması özel bir durumdur. Yapısındaki üçlü bağ nedeni ile kararsız bir gazdır. Diğer bir deyişle, oksijen olmadan da patlayabilir. Bu nedenle ya kullanım yerinde karpitten kullanılacağı zaman elde edilir ya da aseton-daki çözeltisi ponza taşına emdirilmiş olarak saklanır ve dağıtilır. 1 hacim aseton, 20 hacim asetilen çözülebilir. Kullanımız asetilen de bu biçimde depolanıp dağıtılmaktadır.

Çifte ya da üçlü bağlı birçok hidrokarbonlar, eter, aseton ya da benzen gibi organik bileşiklerde; ayrıca hafif hidrokarbonlar ağır olanlarda çözülebilir (4).

Bütün gazlar hacimce genişlerken, buharlaşırken çözeltiyi terk ederken soğurlar. Dolayısıyla büyük debilerde gaz kullanıldığından, özellikle kışın regülatörün ya da deponun ısıtımı gerekebilir. Tek farklı gaz hidrojendir. Çünkü, hidrojen genleşirken ısınır. Yazın regülatörün soğutulması gerekli olabilir.

2.2. Yanma ve Alev Türleri

Yanma basit olarak ısı açığa çıkaran bir kimyasal reaksiyon biçiminde tanımlanabilir. Yanma Üzerine fiziksel, kimyasal ve aerodinamik büyüklüklerin etkisi karmaşık olup, bunlar sonuçta oluşan yanmanın türü ve biçimini belirlerler. Aşağıda yanma türlerinden söz edilmektedir (6,7,5,8,3).

2.2.1. Kontrollü Yanma ve Patlama

Alev birbirinden tümüyle farklı iki değişik mekanizmaya göre ilerler. Eğer alevin iletimi, şok dalgalarıyla oluyorsa buna patlama (eksplozyon-detonasyon), kondüksiyonla oluyorsa kontrollü yanma (deflegrasyon) adı verilir.

Detonasyonda patlama dalgası cephesinde aynı anda iki olay görülür; bir şok ya da kompresyon dalgası ve gaz karışımının kimyasal bir reaksiyonla yanması. Patlama, belirli bir gaz karışımı, sıcaklık ve basınçta belirli hızda yayılır. Bu hız saniyede birkaç bin metre dolayındadır.

Kontrollü yanmada (deflegrasyon) ise ısı, kondüksiyonla ilettilir. Yanma hızı, sıcaklık ve basınç dışında birçok etkenne bağlıdır ve patlamaya göre çok yavaştır. Hızı saniyede birkaç desimetre ile birkaç metre arasında değişir. Bu tezde kontrollü yanma hızı ölçülmüştür.

2.2.2. Homojen ve Heterojen Yanma

Yakıt ve oksijen, yanma reaksiyonu sırasında değişik fazda ise heterojen, aynı fazda ise yanma homojendir. Kömürün yanması heterojen yanmaya örnek olarak verilebilir. Bu tür yanmada yanma hızına kimyasal reaksiyon yanısına, havanın kömür yüzeyine doğru difüzyonu ya da yanma ürünleri ile piroliz sonucu açığa çıkan uçucu yakıt gazlarının kömür yüzeyinden dışarı doğru iletimi etki eder. Yanma hızı yavaş, kontrollü zordur. Tam yanma için stokiométrik miktarдан daha fazla hava gereklidir.

Homojen yanmada yakıt, ya gaz ya da üzerindeki alevden kondüksiyon ve radyasyonla gelen ısı tarafından buharlaştırılan bir sıvıdır (örneğin; doğal gaz ya da alkol yanması).

Homojen yanma sıcak, hızlı ve tamdır. Bu çalışmada homojen yanma ile ilgilenilmiştir.

2.2.3. Oksijen ya da Hava ile Yanma

Yakıt, hava ya da oksijenle yakılabilir. Saf oksijenle yapılan yanma sıcak, hızlı ve konsantredir; özel alev işlemelerinde yüksek sıcaklık eldesi için kullanılır. Konvansiyonel ısrıtmada yakıt, bedava oksijen kaynağı olan havayla yakılır. Hava ile yanın alevin boyutları, aynı debide yakıtın saf oksijenle yandığı alevde göre daha büyütür, alev daha soğuk ve yaygındır. Aynı miktar yakıtın hava ya da saf oksijenle yanması aynı miktar ısısı açığa çıkarır. Ancak saf oksijenle yanma sırasında ortamda azot bulunmadığı için açığa çıkan yanma ısısı çok daha az sayıda yanma ürünü arasında dağılır, dolayısıyla alev ufak ve çok sıcak olur.

Oksijenle yanın alevlerin, hava ile yanın alevlere göre sıcaklıklarını 1000°C kadar, yanma hızlarını ise yaklaşık 10 kez daha fazladır. İncelediğimiz yüksek sıcaklığındaki alevlerde oksitleyici olarak oksijen kullanılmıştır.

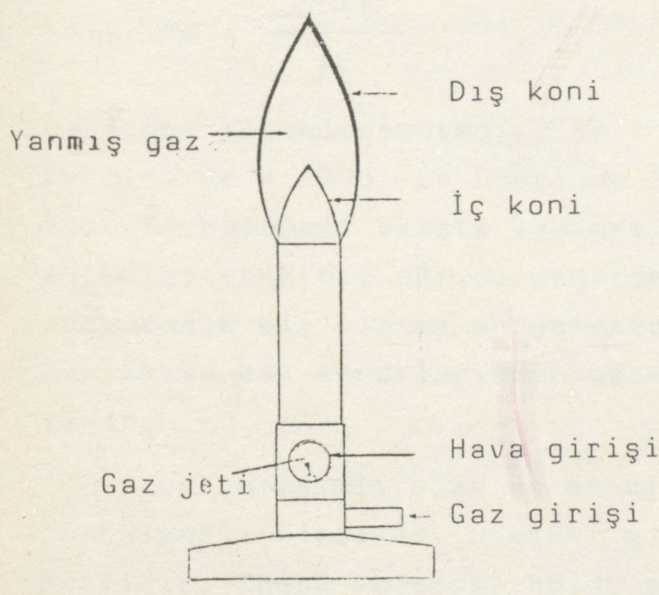
2.2.4. Ön Karışıklı Alev ve Difüzyon Alevi

Genel olarak alev, yüksek sıcaklıkta olan ve çıkardığı ısısı ile bu sıcaklığın sürmesini sağlayan bir yanma reaksiyonu biçiminde tanımlanabilir. Alev, reaktif moleküllerinin uyarılması sonucu oluşan ve yayan tepkimeler biçiminde kimyasal süreçleri, aynı zamanda hem madde hem enerji aktaran fiziksel süreçleri içerir.

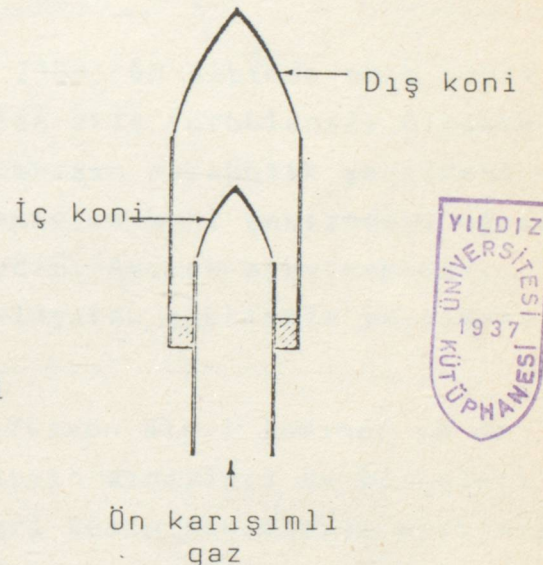
Reaktif gazların önceden mükemmel biçimde karıştığı ortamda ortaya çıkan alev ön karışıklı alev, başlangıçta ayrı ayrı akan iki gazın ortak yüzünde meydana gelen reaksiyon sonucu beliren alev ise difüzyon alevidir. Difüzyon alevinin en iyi örneği mumdur. Burada alev sıcaklığı yakıt kaynağını olan mumun buharlaşmasını sağlamakta, buharlaşan mumda çevredeki hava ile karışıkça yanmaktadır.

Bunsen beki (Şekil 1) her iki alev tipini tanıtmak için kullanılabilir. Bunsen beki tabanına yakın bir yerden basıncılı

gaz verilen bir metal borudan oluşur. Beke giren gaz, tabana yakın püskütücüden geçer. Bu yüzden püskürtücü çevresinde basınç düşer ve hava yandaki delikten içeri girer. Gaz ile hava tübün üst tarafına doğru yol alırken karışırlar. Alevin iç konisi önceden karışmış alevin reaksiyon bölgesidir. Karışım yaka-
kitça zengindir ve yanmış gazların bileşimi tam yanmaya karşı-
lık değildir. Dış koni, yanmış gazlarla atmosfer havası arası-
nda olan bir difüzyon alevinden oluşan ikinci bir yanma bölgesi-
dir. Her ikisi de bek kenarından başlayan bu koniler Smithells
Separatörü ile ayrılabilirler (Şekil 2).



Şekil 1. Bunsen beki



Şekil 2. Smithells Separatörü

Deneysel çalışmamızda ön karışımımlı alevler kullandık.
Hem ön karışımla difüzyonun birlikte olduğu, hem de bir se-
paratörle ayrıldığı durumlarda ölçümler yaptık.

Yaygın yakıt türlerinin çoğu, hidrojen ve karbon bile-
şiklerinden oluşur. Bazen yakıtın bileşiminde bağlı halde
oksijen de bulunur. Önceden karışmış alevler, karbon monok-
sitin yanarak karbon dioksite dönüşmesinin son aşaması ne-
deniyle mavi olma eğilimindedir. Difüzyon alevleri ise, par-
lak ve bazen dumanlıdır. Ön karışımımlı alevler sıcaktır ve sı-

nırları bellidir. Difüzyon alevleri ise karışma cephesinin hareketlerinden ötürü dalgalanırlar.

Yanmanın tam olması, alevde sarı bölge görülmemesi için kısmen de olsa ön karıştırma yararlıdır. Yanma için gerekli havanın eksik kalan bölümü ise difüzyonla sağlanır.

2.2.5. Laminer ve Türbülanslı Alevler

Laminer ve türbülanslı akışta geçiş bölgesinin karakterize edilmesi için, Reynolds sayısı (Re) kullanılmaktadır ve u ortalama hız, d çap ve μ viskozite olmak üzere

$$Re = \frac{u d \rho}{\mu}$$

şeklinde tanımlanmaktadır. $Re = 2300'$ ün altında akış laminerdir. $Re = 2300'$ ün üzerinde ise akış türbülanslı olmaktadır. Türbülanslı akışta laminer akışın parabolik şeklindeki karakteristik hız eğrisi değişmekte ve koni şeklindeki eğri daha basık bir biçimde dönüşmektedir. Ayrıca alev cephesi, özellikle bek kenarlarından uzaklaşarak çok fazla yayılmaktadır.

Ön karışıklı alev ya da difüzyon alevi laminer ya da türbülanslı olabilir. Laminer alevin sınırları ve bölgeleri bellidir, soğuk ve sıcak bölgeleri kesin sınırlarla ayrılmıştır, oldukça küçük hacimdadır. Mutfak ocaklarının alevleri laminer alevlerdir. Türbülanslı alevler daha dağınıktır. Alevin bir noktasında önemli bileşim ve sıcaklık oynamaları olur. Daha çok kazanlarda yeğlenirler.

Bizim incelediğimiz ve alev proseslerinde kullanılan alevler laminer alevlerdir.

2.3. Ön Karışıklı Laminer Alevlerin Yapısı

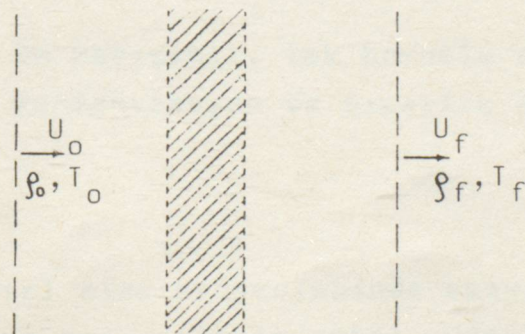
2.3.1. Tek Boyutlu Ön Karışıklı Laminer Alevlerin İncelenmesi

Ön karışıklı laminer akışlı alevler teorik ve deneySEL olaraK yanma kimyası çalışmaları içIn difüzyon alevlerinden ve türbülanslı alevlerden daha kullanışlıdır. En basit inceleme ise tek boyutlu alevlerde yapılabilir.

Alev, ıshaklı bir reaksiyon bölgesi oluşturan ve kendi kendine ilerleyen bir ekzotermik reaksiyon sonucu ortaya çıkmaktadır. Alev yanma hızı adı verilen karakteristik bir hızla sabit konumlu bir gazda ilerleyebilmektedir ya da reaktif gaz alev cephesine doğru aynı hızla gönderilirse alev cephesi sabit konumda tutulabilir. Genellikle ikinci tür alev kararlı olmamaktadır, ancak uygun biçimde bir yanma odası ya da yakıcı yardımıyla gerçekleştirilebilmektedir.

Alevin özellikleri olayın ünİform kesitli uzun tüp içinde olduğu düşünülerek, yanı alevin tek boyutta (x eksenİ) değişim göstermesi sağlanarak incelenmiş ve gaz akışı laminer ve çap boyunca ünİform kabul edilmiştir. Böylece alev düzleşsel ve akışa diktir. Gaz akış hızı sabit konumlu alev elde edilecek biçimde ayarlanmıştır.

Eğer alevin arka ve önünde iki düzlem göz önüne alınırsa (Şekil 3), aşağıdaki korunum bağıntıları uygulanabilir.



Sabit konumlu
alev

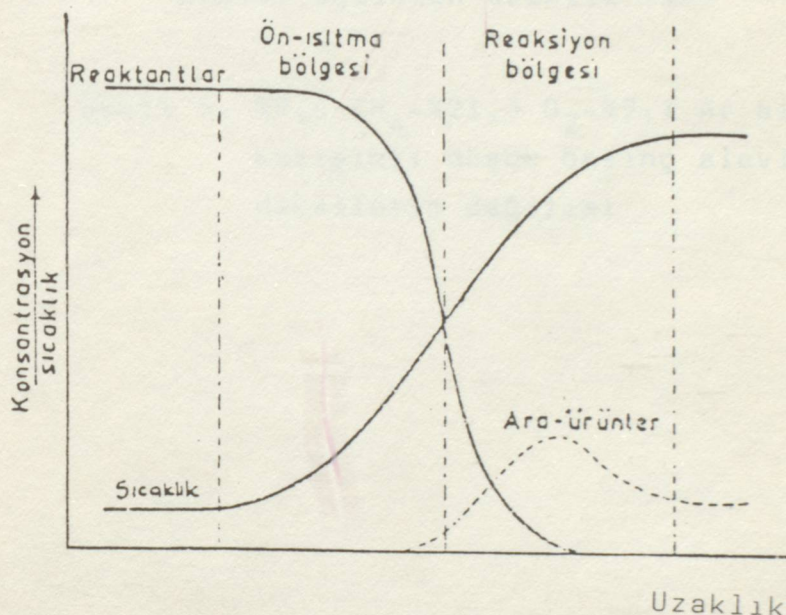
Şekil 3. Sabit konumlu bir alevin tanımında kullanılan sistem.

Kütle konumu : $\rho_0 u_0 = \rho_f u_f = \dot{m}$

Momentum " : $P_0 + \rho_0 u_0^2 = P_f + \rho_f u_f^2$

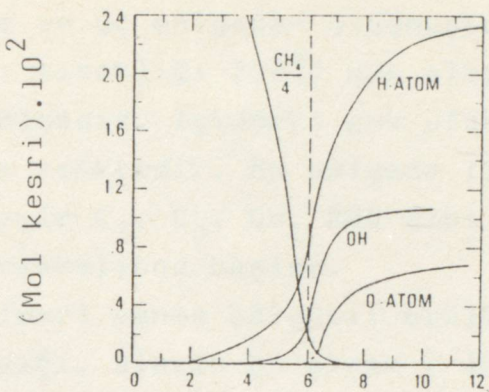
u_0 , u_f , başlangıç ve son hızı; \dot{m} , geçiş bölgesinden akan kütlesel debiyi; ρ_0 , ρ_f , başlangıç ve son yoğunluğu; P basıncı göstermektedir.

Alevin iç yapısı incelenirse, alev boyunca sıcaklığın ürün konsantrasyonlarıyla birlikte düzgün bir artış gösterdiği ve yakıt molekülleri konsantrasyonunda uygun biçimde azalmayı izlediği ortaya çıkar (Şekil 4) (6).



Şekil 4. Ön karışımı, tek boyutlu alev boyunca konsantrasyon ve sıcaklık eğrileri

Endüstriyel alev proseslerinde alevin reaksiyon mekanizması ve yanma hızı, alevin metal yüzeylerine indirgen, nötr ya da yükseltgen etkisi alev bölgesindeki radikallerin dağılımı aşağıdaki şekilde görülmektedir (Şekil 5)(9).



Brülör ağızından uzaklık (mm)

Şekil 5. %9,6 CH_4 -%21,3 O_2 -%9,1 Ar bileşimli ön karışımı düşük basınç alevlerindeki radikalllerin dağılımı

2.3.2. İncelediğimiz Alevlerin Yapısı

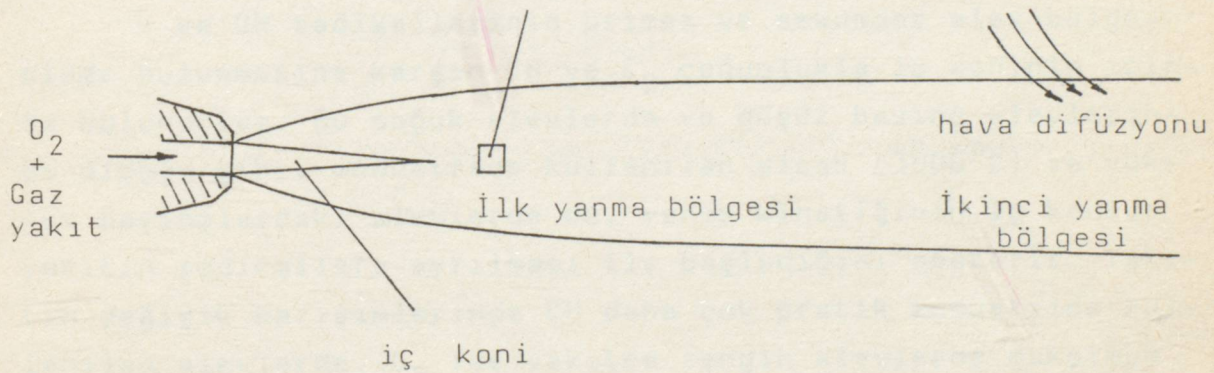
Gerçekte, alev işlemlerinde kullandığımız alevler iç boyutluudur ve üç bölgeden oluşmuştur (Şekil 6).

- İç koni; sıcaklığı 250°C nin altında, görelî soğuk ve indirgen bir bölgedir. İçindeki çok ufak is parçacıkları nedeniyle beyaz-sarı renktedir. Bu bölgede ilk yanma bölgesinden gelen ısı etkisiyle C_2 , C_3 , OH , ROO gibi kimyasal radikaller oluşur ve yanma reaksiyonu başlar.

- İlk (primer) yanma bölgesi; brülörden gelen oksijen ve yakıtın yandığı, alevin en sıcak (3000°C) bölgesidir. Alev mantosu da denilen bu bölge H ve OH radikallerince zengindir. İç koninin ucundaki koşullar adyabatik yanma koşullarına uygundur.

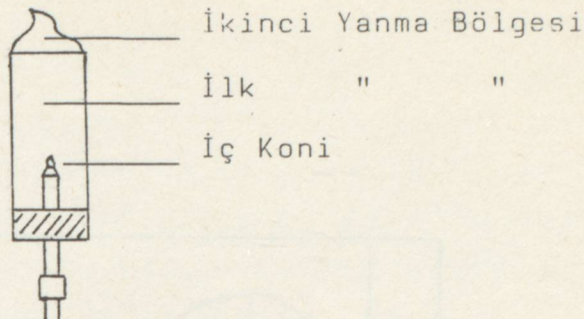
- İkinci (sekonder) yanma bölgesi; yakıt fazlasının difüzyonla aleve karışan hava oksijeni ile yakıldığı bölgedir. Sıcaklık 2000°C dolayında olup CO_2 , H_2O gibi kararlı yanma ürünleri oluşur. İkinci yanma, yakıt ve oksijenin karışmadığı difüzyon alevlerine benzerlik gösterir (10).

Adyabatik şartlara en yakın bölge



Şekil 6. Ön karışıklı, laminer alevlerin yapısı.

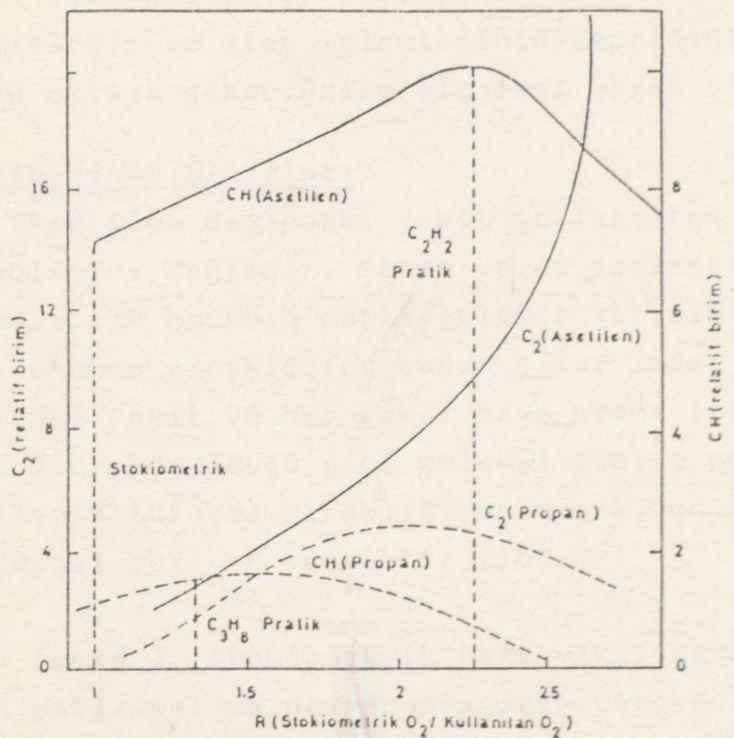
Biz denemelerimizin bir bölümünde ilk ve ikinci yanma bölgelerini, bir boru yardımıyla hava akımını engelleyerek ayırdık (Şekil 7).



Şekil 7. Hava difüzyonunun engellendiği durumda alev yapısı

Oksijen-gaz yanıt ön karışımı laminer alevlerde iç koni ucu adyabatik koşullara yakındır. Çünkü gaz alevlerinde, sıvı ve katı yanıt alevlerinden farklı olarak radyasyonla ısı iletimi düşüktür. Dolayısıyla sıcaklık 3000°C ' yi bulur ve bilinen hava-yanıt alevlerinden farklı olarak yalnız CO, CO₂, H₂O, H₂ gibi kararlı bileşikler yanı sıra H, OH, O, gibi normal sıcaklıklarda kararsız radikallerde bulunur (2).

H ve OH radikallerinin primer ve sekonder alev bölgesinde bulunmasına karşın CH ve C₂ çoğunlukla iç koninin içinde bulunurlar. Bu soğuk alevlerde ve düşük basınç alevlerinde olduğu gibi, endüstride kullanılan sıcak (3000°C) ve yüksek basınçlardaki alevlerde de, yanma kinetiğinin iç konide yanıtın radikallere ayrılması ile başladığını gösterir. Yakıtın değişik karışımlarında CH daha çok pratik endüstride kullanılan alevlerde, C₂ ise yanıkça zengin alevlerde maksimum değere ulaşır. Asetilen-oksijen karışımlarında yanıkça çok zengin ($R > 2.5$) alevlerde C₂ hızla artar, buna paralel olarak da is oluşumu gözlenir (Şekil 8) (8).



Şekil 8. İç koninin içindeki radikallerin ısima
şiddeti.

Ön karışımı alevlerde önemli bir özellik NO_x oluşumudur. 1400°C yi aşan sıcaklıklarda havanın oksijen ve azotu birleşerek korozif ve sağlığa zararlı NO_x leri oluştururlar. Hava ile yanın ön karışımı alevlerde, ilk yanma bölgesinde (2000°C) NO_x oluşumu vardır. Oksijenle yanın alevlerin ilk yanma bölgesinde NO_x oluşmaz; ancak ikinci yanma bölgesinde ($2000-2500^{\circ}\text{C}$) difüzyonla gelen havanın azotu oksijen ile birleşir ve alev işlemlerinin yapıldığı ortamlarda NO_x sorunu ortaya çıkar. Önlem alınması gereklidir(12).

2.4. Alevlenme Sınırları

Asetilen dışındaki yakıt gazları tek başına yanıcı ya da patlayıcı değildir. Yanma ya da patlamanın olması için yakıt gazi ile havanın patlayıcı bir karışım oluşturulması, sonrada tutuşma sıcaklığına kadar çıkarılması gereklidir. Tutuşma oranı her yakıt ve her yakıt-hava oranı için değişiktir. Tablo 3'de görüldüğü gibi molekül yapısı en kararsız olan asetilenin tutuşma sıcaklığı en düşük, en kararlı olan metanın (doğal gaz) en yüksektir (10).

Tablo 3. Stokiyometrik hava-yakıt karışımlarında, karışımın patlaması ya da yanması için gereken minimum sıcaklık (tutuşma sıcaklığı).

| Gaz yakıt | C_2H_2 | H_2 | CO | CH_4 | C_2H_6 | C_2H_4 | C_3H_8 | C_4H_{10} |
|--------------------------------|------------------------|--------------|-----|---------------|------------------------|------------------------|------------------------|---------------------------|
| Sıcaklık($^{\circ}\text{C}$) | 335 | 530 | 610 | 645 | 530 | 540 | 510 | 480 |

Alevin gaz karışımının bir tarafından diğer tarafına ısıl iletkenlikle yayıldığı varsayılsa karışımın kompozisyonu alevlenme sınırları denilen iki sınır (alt ve üst) arasında değişmesi gereklidir. Alt sınır aşağısında karışım bir sonraki dilimi tutturacak kadar sıcaklık veren bir yanma yapmaz yani yanma yapabilecek yakıtı içermez. Üst sınır üzerinde ise oksijen miktarı çok azdır.

Alevlenme sınırları, gaz karışımı içinde yakıt buharı ya da yakıt gazının hacim yüzdesi olarak tanımlanırlar. Ter- mik karakteristikler üzerinde ya da yanıcı karışımla yanma arası (kapalı kapta alev, tüp, brülör vb.) arasında ısı alış- verişine etkiyen tüm faktörler alevlenme sınırlarını değiştiri- rirler. Alevlenme sınırları kabin şekli ve boyutlarıyla, ke- narların cinsi ile, alevin yayılma yönü ile (yukardan aşağı inen, aşağıdan yukarı çıkan ya da yatay yayılma) ve tutuşturma türü ile değişirler.

Tablo 4. Alevlenme sınırları

| Gaz | | Alevlenme sınırları | | Gözlemler |
|--------|--------|---------------------|-----------|---|
| Yakıt | Yanıcı | Alt sınır | Üst sınır | |
| H_2 | Hava | 9,4 | 71,5 | (Suyla yarı doymuş reaktif) $d=2,5$; a.d.a doymuş reaktif küresel (1000 cm^3) |
| | | 8,7 | 75,5 | |
| NH_3 | Hava | 16,5 | 26,8 | Küresel kap (500 cm^3) $d=7,5 \text{ cm}$; y.d.a |
| | | 17,1 | 26,4 | |
| | O_2 | 14,8 | " | $d=7,5 \text{ cm}$; " |
| | | | | |
| CS_2 | Hava | 1,06 | " | $d=7,5$ " |
| | | 1,91 | 35 | |
| CO | Hava | 12,8 | 72 | $d=7,62$ $d=5,08$ $d=2,54$ $d=2,5$; y.a |
| | | 13,1 | 72 | |
| | | 13,2 | 71 | |
| | | 15,9 | " | |
| | O_2 | 16.7 | 93,5 | $d=1,9$; a.d.a |
| CH_4 | Hava | 5.5 | " | $d=2.5$ suyla doymuş $d=7.5$ " yarı doymuş $d=7.5$ " " " $d=2.5$ " " " $d=2.5$ " doymuş |
| | | 5.35 | 14.85 | |
| | | 5.95 | 13.35 | |
| | | 6.30 | 12.80 | |
| | | 6.1 | " | |

Tablo 4 (devam)

| Gaz | | Alevlenme sınırları | | Gözlemler | |
|---|----------------|--|--|--|----------------------------------|
| Yakıt | Yakıcı | Alt sınır | Üst sınır | | |
| | O ₂ | 5.4 6.3 5.8 | 12.80 " " | d=2.54 d=2.54 d=2.54 | y.d.a a.d.a y.a |
| C ₂ H ₆ | Hava | 3.12 3.15 3.15 3.22 3.26 3.32 | 14.95 14.8 12.85 11.75 10.15 10.0 | d=7.5 d=5.0 d=7.5 d=5.0 d=7.5 d=7.0 | y.a y.a y.a a.d.a |
| C ₃ H ₈ | Hava | 2.4 2.4 1.92 | 7.3 6.69 5.50 | d=2.5 d=2.0 d=2.0 | y.a a.d.a y.d.a |
| n-C ₅ H ₁₂ | Hava | 1.45 | 7.50 | d=5.0 | y.d.a |
| C ₂ H ₄ | Hava | 3.02 3.20 3.33 | 34 23.7 15.5 | d=7.5 d=7.5 d=7.5 | y.d.a y.a a.d.a |
| C ₂ H ₂ | Hava | 2.60 2.68 2.78 | 80 78.5 71.0 | d=7.5 d=7.5 d=7.5 | y.d.a y.a a.d.a |
| C ₆ H ₆ | Hava | 1.41 1.46 | " " | d=7.5 d=7.5 | y.d.a y.a ; a.d.a |
| CH ₃ OH | Hava | 7.05 7.30 7.45 6.40 | " " " 13.5 | d=7.5 d=7.5 d=7.5 d=5.0 | y.d.a y.a a.d.a y.a |
| C ₂ H ₅ OH | Hava | 3.56 3.70 3.75 | " " " | d=7.5 d=7.5 d=7.5 | y.d.a y.a a.d.a |
| (C ₂ H ₅) ₂ O | Hava | 1.71 1.75 1.85 | 48 40 6.40 | d=7.5 d=7.5 d=7.5 | y.d.a y.a a.d.a |

Tablo 4 (devam)

| Gaz | | Alevlenme sınırları | | Gözlemler | | |
|----------------------------|--------|---------------------|-----------|-----------|-------|-------|
| Yakit | Yakıcı | Alt sınır | Üst sınır | | | |
| CH_3CHO | Hava | 3.97 | 57 | d= 7.5 | y.d.a | Susuz |
| | | 4.23 | 16.7 | d= 7.5 | y.a | |
| | | 21 | 48 | d= 7.5 | " | |
| | | 4.27 | 13.7 | d= 7.5 | a.d.a | |
| $(\text{CH}_3)_2\text{CO}$ | Hava | 2.89 | 11.80 | d= 7.5 | a.d.a | Susuz |
| | | 2.92 | 11.90 | d= 7.5 | " | |
| | | 2.93 | 8.60 | d= 7.5 | y.d.a | |

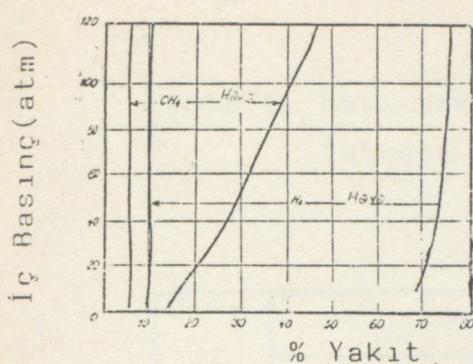
(d: Silindirik borunun çapı(cm); y.a: Yatay alev; y.d.a:yukarı doğru alev ; a.d.a: Aşağı doğru alev.)

Tabloda yukarıda sayılan faktörlerin etkisi, özellikle tüp çapının, yayılma yönünün etkisi görülmektedir.

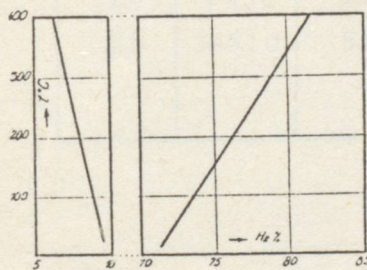
Genellikle tübün iç çapı 6-7 cm geçtiğinde iç çapın yanma hızına etkisinin kalmadığı varsayıılır.

Alevlenme sınırlarını başlangıç basıncı ve sıcaklığı da etkiler: a) Belli bir basıncından sonra basıncın yükselmesi tutuşma sıcaklığını düşürür. Alevin ısıl iletkenlikle ilerleyebilmesini sağlayan tutuşma sıcaklığı yüksek basınçta yüksek olmayıabılır. b) Diğer yandan yüksek basınçla da yakıt yüzdesi olarak alt sınır daha küçük, üst sınır daha yüksektir. Diğer bir deyişle tutuşabilirlik bölgesi gaz karışımının ısınmasıyla genişler. Bu 9. şekilde H_2 - hava ve CH_4 -hava karışımı için görülmektedir. Basınç düşürülürse tutuşabilirlik alanı daralır alt ve üst sınır birbirlerine yaklaşırlar ve öyle bir kritik basınç ulaşırlı ki bunun altında kompozisyon ne olursa olsun tutuşmaz. 10. şekilde CH_4 -hava karışımı için bu durum görülmektedir.

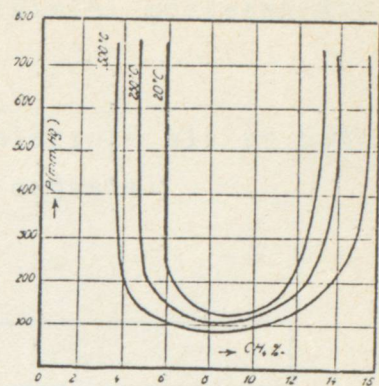
c) Başlangıç sıcaklığı yükseltilirse tutuşma bölgesi genişler. 540°C de %90,45 H_2 içeren H_2 -hava karışımında yani normal sıcaklıkta belirlenmiş üst tutuşma sınırının epeyce uzağında tutuşma sağlanabilmiştir. Aynı şekilde %92,9 CO içeren CO-hava karışımı 720°C de tutuşturulabilmştir.



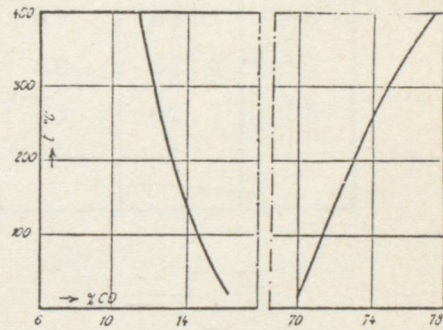
Şekil 9. CH_4 -hava ve H_2 -hava karışımlarında basınçın tutuşabilirlik sınırlarına etkisi.



Şekil 11. Hava-hidrojen karışımlarında sıcaklığın tutuşabilirlik sınırına etkisi.



Şekil 10. Basınç ve sıcaklığın tutuşma sınırlarına etkisi.



Şekil 12. Hava/CO karışımlarındaki sıcaklığın tutuşma sınırlarına etkisi.

10. şekil sıcaklığı etkisini CH_4 -hava karışımlarında, 11. şekil H_2 -hava karışımlarında, 12. şekil CO -hava karışımlarında göstermektedir.

Tutuşabilirlik sınırları ıslıl ilerleme mekanizmasına bağlı etkenler yanısıra, alevin başladığı ve yayıldığı iç çeperin cinsine de bağlıdır. Kabın' kenarlarının önceki denemelerden etkilenen yapısı, tutuşabilirlik sınırlarını değiştirir.

5. tablo C_2H_2 -hava karışımı için çeşitli çaplardaki tüplerde, eşit deneysel koşullarda yukarı, aşağı ya da yana

yayılma için alt ve üst tutuşma değişimini göstermektedir.

Tablo 5. Hava-asetilen karışımlarının alt ve üst tutuşma sınırlarının değişimi

| Çap (mm) | Yayılma | | | | | |
|-------------|---------|-----|-------|-----|-------|-----|
| | Yukarı | | Aşağı | | Yatay | |
| | Alt | Üst | Alt | Üst | Alt | Üst |
| 10 | 61,4 | 45 | 53,7 | 41 | — | 45 |
| 15 | 62,2 | 48 | 58,3 | 45 | 61,1 | 48 |
| 20 | 62,8 | 51 | 60,7 | 40 | 62,4 | 51 |
| 25 | 63,0 | 54 | 62,1 | 53 | 62,7 | 54 |

Tutuşabilirlik sınırlarına çeperlerin etkisinin ince-
lendiği deneylerden şu sonuçlar çıkarılabilir :

1. Teorik açıdan gaz yakıtların tutuşabilirlik sınırları yalnız ısıl etkenlere değil, aynı zamanda çeperlerin durumu gibi kimyasal reaksiyon mekanizmasına bağlı etkenlere de bağlıdır.
2. Pratik açıdan tutuşabilirlik sınırları, iyi belirlenmiş deneysel koşullar için geçerlidir. Bilinen koşulların bazıları basınc, sıcaklık, kap boyutları, çeper cinsi ve alevin yayılma yönüdür. Bunlara son derece güç belirlenen çeper yüzeyinin durumunu da eklemek gerekir (7).

2.5. Alevlerinin Kimyasal Özellikleri

Alevler kimyasal yapıları açısından dörde ayrılırlar.

1- Nötr Alevler : Pratikte kaynak işlerinde kullanılır. Bu alevler ilk yanma bölgesinde indirgendir, hava katkısıyla ikinci yanma bölgesinde nötr olurlar. Bu tür alevlerde yakıtça zenginlik : Asetilen için $R=2,27$; propan için $R=1,33$; metan için $R=1,14$. Kullanılan nötr alevler çok sıcak değildir. Metalleri oksitlemedikleri için yükseltgen alevlere yeğlenir.

2- İndirgen Alevler : Nötr alevlerden yakıtça daha zengindirler. Çok indirgen alevler isli olmaları nedeniyle kullanılmazlar. Az indirgen alevler metalik yüzeylerden oksitleri giitmek için kullanılabilirler.

3- Yükseltgen (Oksidan) Alevler : Nötr alevlere göre oksijençe zengindirler. En sıcak alevler az yükseltgen alevlerdir. Oksijenle kesme işlemlerinde kullanılırlar.

4- Stokimetrik Alevler : ($R=1$). Yakıt ve oksijen stokimetrik oranında ($1 \text{ mol } H_2 + 0,5 \text{ mol } O_2$; $1 \text{ mol } CH_4 + 2 \text{ mol } O_2$; $1 \text{ mol } C_2H_2 + 2,5 \text{ mol } O_2$ gibi) önceden karıştırılır. Difüzyonla gelen havanın etkisiyle çok yükseltgendirler. Ancak hava almayan işlemlerde kullanılırlar (5).

Yanma ürünlerinin bileşimi, kimyasal, fiziksel ve ısıl özellikleri yanma sırasında karıştırılan hava-yakıt oranına bağlıdır. Yakıtın tam olarak reaksiyona girdiği yani karbon dioksit ve suya dönüştüğü duruma stokimetrik yanma denilmektedir. Ancak her zaman yakıt-hava oranı stokimetrik değildir. ısıl işlemlerde kullanılan alevlerde yakıtça zengin, kazanlarda ise yakıtça fakir karışım kullanılır. Hava-yakıt oranlarını veren parametreler, hava fazlalık katsayısı (n) ve yakıtça zenginliktir (R) (10).

$$n = \frac{1}{R} = \frac{1 \text{ mol yakıt için kullanılan hava miktarı}}{1 \text{ mol yakıt için gereklili stokimetrik hava miktarı}}$$

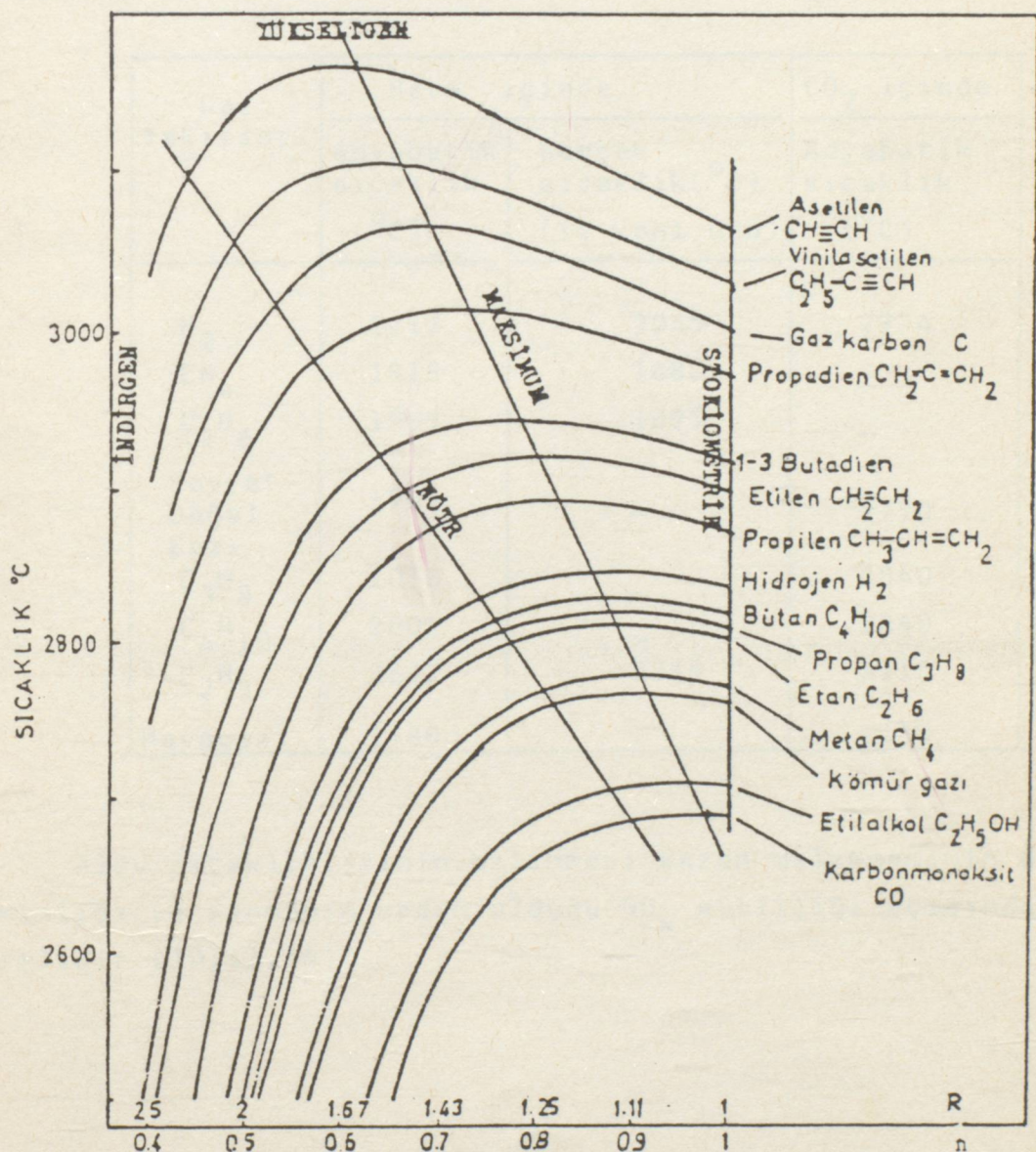
$R = 1$: Stokimetrik yanma

$R > 1$: Yakıtça zengin, havaca fakir karışım

$R < 1$: Yakıtça fakir, havaca zengin karışım

2.6. Alev Sıcaklığı

Alev sıcaklığı endüstriyel uygulamalarda önemli bir etkendir. Yanma ile açığa çıkan ısı tümüyle yanma ürünlerini ısıtmak için kullanılmış ve dışarıya ısı iletimi olmamışsa; bu durumdaki sıcaklık adyabatik yanma sıcaklığıdır. Yakıt-oksijen karışımlarının yanma enerjisi ısıtma ve H₂, OH gibi radikalere ayırmada harcanır. Şekil 13'te çeşitli yakıt-oksijen karışımlarının yakıtça zenginliğin fonksiyonu olarak adyabatik sıcaklıklarları görülmektedir.



Şekil 13. Hesaplanmış adyabatik alev sıcaklıkları

Gaz yakıtlarda, iç koninin ucunda radyasyonla ısı iletimi çok önemli olmadığından burada adyabatik sıcaklığa yaklaşılır. Yüksek sıcaklık için oksitleyici olarak hava yerine oksijen kullanılır. Bir mol yakıtın oksijenle yanması sonucu aşağıya çıkan ısı daha az miktarda yanma ürününe dağılacağından sıcaklık daha yüksek olur. Ayrıca oksijenle yanma hızı da artar.

Tablo 6. Gaz yakıtların stokimetrik karışımlarının alev sıcaklıkları

| Gaz Yakıtlar | Hava içinde | | CO ₂ içinde Adyabatik sıcaklık (°C) |
|--------------------------------|-------------------------------|--|---|
| | Adyabatik sıcaklık (°C) | Gerçek sıcaklık (°C) (iç koni ucu) | |
| H ₂ | 2210 | 2045 | 2974 |
| CH ₄ | 1918 | 1880 | — |
| C ₂ H ₆ | 1969 | 1895 | — |
| Sovyet Doğal Gazı | 1945 | — | 2770 |
| C ₃ H ₈ | 2010 | — | 2840 |
| C ₄ H ₁₀ | 2005 | — | 2840 |
| C ₂ H ₂ | 2632 | 2319 | 3110 |
| Havagazı | 1980 | — | 2730 |

Alev sıcaklıklarının bilinmesi kazan malzemesinin dayanıklılığı ve yanmanın neden olduğu NO_x kirliliği açısından önemlidir (10,13,14).

2.7. Alevden Metale Isı İletimi

Oksijenle yanın alevlerden aşağı çıkan ısının metale iletimi üç şekilde olur.

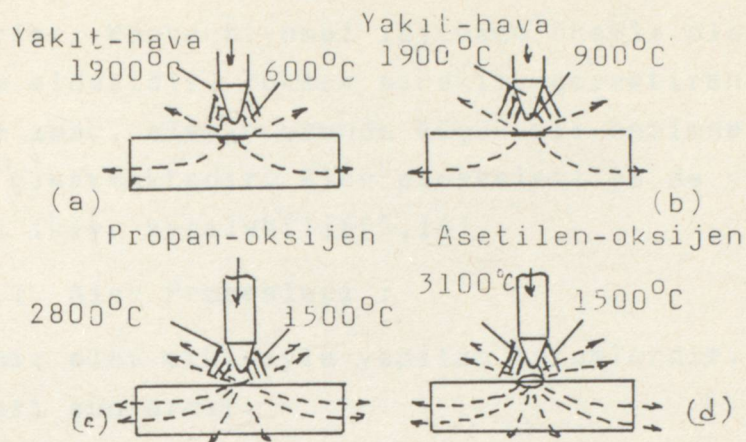
En önemli pay konveksiyona aittir. Konveksiyonla ısı iletimi, gazların sıcaklığının brülörden çıkış hızının ve yanma hızının bir fonksiyonudur.

Radyasyonla ısı iletimi, iç koninin ucunda 3000°C de bile % 8,5 dolayındadır. İç koni ucundaki sıcaklık adyabatik sıcaklığa yakındır.

İç koni uç sıcaklığı 3000°C dolayındadır. Metal parçası daha soğuktur (1500°C). 3000°C de kimyasal radikallere ayrılmış olan yanma ürünlerini, 1500°C deki metal üzerinde egzotermik reaksiyonla birleşirler ve metale ısı iletiler. Bu ($\text{H} + \text{H} \rightleftharpoons \text{H}_2 + \text{ısı}$) dengesi sıcak alevde sol taraf, soğuk metal yüzeyinde sağ taraf lehinedir. Bu tür ısı iletimi havayla yanın alevlerde çok önemsizdir.

Alevlerin metale ısı iletebilmeleri için metal yüzeyin alevden soğuk olması gereklidir. $1500-2000^{\circ}\text{C}$ deki hava-yakıt alevleri metalik yüzeyleri $500-1000^{\circ}\text{C}$ dolayına kadar ısıtabılır. Isı, alevden metal yüzeyine geçince, yüzey ısınır ve çevresine radyasyon, kondüksiyon ve konveksiyon ile ısı yayar. Zamanla alev/metal sıcaklık farkı azalır, metal/çevre sıcaklık farkı artar ve bir dengeye ulaşılır (Şekil 14).

Kaynak yapmak için metali eritmek gereklidir. Bu 1500°C de eriyen çelik için 3000°C lik alev sıcaklığı gereklidir. Bu nedenle kaynak için asetilen-oksijen alevleri kullanılır (15,3).



Şekil 14. Sıcaklık farkının etkisi.

- a) Parçaya ısı gelişisi, ısı kaybindan fazla parça ısınır.
- b) Parçaya gelen ısı, giden ısıya eşit. Sistem dengededir.
- c) Isı gelişisi, ısı kaybına eşit.
- d) Isı gelişisi, ısı kaybindan fazla, parça erir.

2.8. Gaz Yakıt- Oksijen Alevlerinin Kullanım Alanları

Yakıt gazları büyük çapta konvansiyonel ısıtma için kullanılırlar. Konvansiyonel ısıtmada önemli olan yüksek ısıl verim eldesidir. Yüksek sıcaklık gerektiren alev proseslerinde amaç, alevin ucunda küçük bir hacimde, büyük bir güç açığa çıkarmaktadır. Alev prosesleri ya da yerel ısıtma prosesleri ikiye ayrılabilir(5,16).

2.8.1. Alev Prosesleri :

Yalnız alev etkisiyle yapılan işlemlerdir. Endüstriyel uygulamaları şunlardır:

Otojen Kaynak : İki metal parçasını eriterek birleştirmeye teknigidir. Kaynağı yapacak alevi oluşturmada yakıcı gaz olarak genellikle oksijen kullanılır. Yanıcı gaz olarak asetilen, hidrojen, metan, propan, propan bütan karışımı (LPG) , havagazı , benzin veya benzol buharı kullanılmaktadır.

Kaynak tekniği açısından yanıcı gazın aşağıdaki koşullara sahip olması istenir:

- a- Yüksek bir ısıl değer,
- b- " " alev sıcaklığı,
- c- " " tutuşma hızı,
- d- Erimiş haldeki kaynak banyosunu havanın zararlı etkilerine karşı koruyabilme,
- e- Artıksız bir yanma,
- f- Ucuz ve kolay üretilme.

Kaynak alevi incelenirken, alevin dört özelliği dikkate alınmalıdır:

- Kaynak alevinin ısisal özelliği: Alev sıcaklığının metallerin erime sıcaklığından yüksek olması gereklidir. Çünkü iletkenlik, ısınma ve konveksiyon kayipları kullanılan sıcaklığı önemli derecede düşürür.
- Kaynak alevin kimyasal özelliği: Kaynak yapılan metal ve合金ının cinsine göre ya nötr ya da hafif redükleşici bir alev kullanılır. Oksitleyici bir alev, düşük mekanik özelliklere

sahip bir kaynak dikişinin ortaya çıkmasına neden olur.

- Kaynak alevinin endüstriyel özelliği : Bunlar pratik yönünden önemli olup, değerlendirilmelerinin güçlüğü nedeniyle ihmali edilen alevin kararlılık ve ayar elastikiyeti özellikleridir. Alevin kararlılığı, yanma hızına ve yanıcı gaz ile oksijen karışım oranına bağlıdır. Yanma hızı dikkate alınırsa, oksiyen-setilen alevi diğerlerine göre daha kararlıdır. Yanıcı-yakıcı oranına göre alevlerin kullanım yerleri şöyle belirtilebilir:

1- Yanıcı : yakıcı oranı 1:1 olan nötr alevler bakır ve çelik kaynağında kullanılır.

2- Oksijeni az, yanıcısı fazla ise tam yanma yoktur. (O_2 ve H_2) fazla miktardadır. Alüminyum kaynağında kullanılır.

3- Oksijen fazla, yanıcısının az olduğu alevler pirinç (Cu-Zn合金) kaynağında kullanılmaktadır.

- Kaynak alevinin ekonomik özelliği; iki etkene bağlıdır:

a- Kaynağın yapılmama hızı (alev sıcaklığının yüksek olması gereklidir) ,

b- Yanma için gerekli oksijen miktarı (alevin maliyetine etkili) (17).

Lehim : Heterojen bir birleştirme yöntemidir. İki metalik malzeme, kendileri erimeden, erime derecesi daha küçük olan bir ek malzemenin (lehim合金) erimesiyle birleştirilirse, bu işleme lehim adı verilir. Lehim合金ları, pratikte her çeşit probleme cevap verebilecek çeşittedir. Uygulamada tel, çubuk, levha, çeşitli formda parçacıklar, talaş, tane ve toz biçiminde bulunur.

Lehimleme işlemi, lehimin erime sıcaklığına göre ikiye ayrılır. Erime sıcaklığı 450°C nin altında ise birlestirmeye yumuşak lehimleme, 450°C nin üzerinde ise sert lehimleme adı verilir. Erime derecesi 900°C nin üzerinde olanlara da Yüksek Sıcaklık Lehimi denir.

Lehimlemenin kaynaktan farkı, birleştirilecek esas malzemenin erimemesi ve lehimleme sıcaklığının da, birleştirilen parçaların erime sıcaklığından daha küçük olmasıdır.

Diğer alev prosesleri ise; alevle yüzeysel tavlama, temizleme, metal kaplama ve bazı metallerin eritilmesidir.

Alevle temizleme, metallerin yüzeyindeki oksitlerin ani ısıtmanın verdiği ısisal şok ile temizlenmesidir. Pasın hızla ısıtılmasıyla ortamdan uzaklaşan su buharı, demir oksitleri toz haline getirir ve döker.

Metal kaplama sırasında, alevle kaplama metali birlikte, toz halinde püskürtülür.

Birtakım metallerin eritilmesine, bu sırada metalin oksitlenmesini önlemek için, indirgen bir doğal gaz aleviyle eşlik edilebilir (18).

2.8.2. Oksijen Prosesleri

Kesme hattında, metal malzemeye oksidasyon sıcaklığına (yakma sıcaklığına) kadar ön ısıtma (tavlama) yapılır. Bu sıcaklık 760°C - 870°C dolayındadır ve bu sıcaklığa kadar ısıtılan metal parlak kırmızı bir renk verir. Bu sırada o bölgede gönderilen oksijen, metalin anı olarak metal oksidi olmasına sağlar. Oksijenle kesmede koşul, oluşan metal oksidin erime sıcaklığının, esas metalin erime sıcaklığından daha düşük olmasıdır. ~~Böyledice~~ metal eritilmeden, kesme hattı boyunca oksit haline getirilmiş metal eritilerek ve yanmış gazlar basınçlı oksijen tarafından kesme ağızından uzaklaştırılarak kesme gerçekleştirilmiş olur.

Belirtilen oksi-termal kesme koşulları için, oksi-asetilen, oksi-propan ve oksi-doğal gaz alev sıcaklıkları ve ısılari yeterlidir. Bu üç alevin kullanılmasında % 0,25'e kadar karbon içeren düşük karbonlu çelikler bir problem çıkarmazlar. Çok az alaşımımlı ve % 0,30'un üzerinde karbon içeren orta karbonlu çeliklerde, kesme kenarında biraz sertleşme görülebilir. % 0,35'in üzerindeki karbonlu çeliklerde ise, kesme kenarı çatlamalarını önlemek için 260°C - 315°C dolayında malzemeye kesmeden önce ön tavlama uygulamak gereklidir (19).

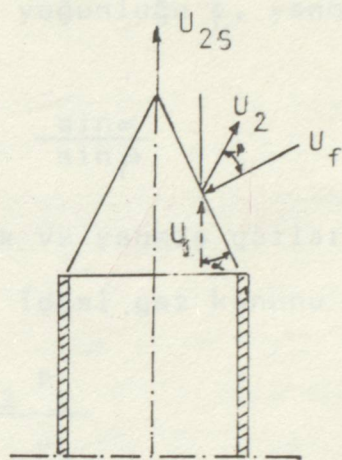
Eğer bir metalin oksitinin erime noktası metalin kendisinin erime noktasından daha yüksekse; bu metal, oksijen akı-

mına sıcak demir tozu verilerek kesilebilir. Demir tozu yanarak, metalin kesilmesi için gerekli sıcaklıkta bir sıvı püskürtür (8).

3. YANMA HIZI ÜZERİNE GENEL BİLGİLER

3.1. Yanma Hızı Ölçümünde Kullandığımız Yöntem

Ön karışımı alevlerin ilk yanma bölgesinde kimyasal reaksiyon, soğuk karışımın ısıl iletkenlikle ısıtılması sonucu olur. Buna karşın ikinci yanma bölgesinde, ilk yanma bölgesindeki gelen gazların difüzyonla gelen havayla karışması belirleyici rol oynar. Bizim incelediğimiz ilk yanma özellikleridir.



Şekil 15. Hamlaç ucunda yanma hızının bulunması.

Karışımın akış ve yanma hızı arasındaki eşitlik şöyledir:

$$U_f = U_1 \cdot \sin\alpha$$

Burada α , U vektörünün yanma yüzeyi ile yaptığı açıdır. Ayrıca ilk yanmadan çıkan gazların U_2 hızı, β açısı yapar.

U_f yanma hızı ve gazların U_1 çıkış hızı, iç koninin S yüzeyi boyunca değişirler. Ancak U_f değerinin bütün yüzey boyunca ortalaması olan bir U_f değerinin bütün yüzey boyunca ortalaması olan bir \bar{U}_f yanma hızı bulunabilir.

$$\bar{U}_f = \frac{1}{S} \iint U_f \, ds$$

$$\bar{U}_f = \frac{1}{S} \iint_S U_1 \sin\alpha \, ds = \frac{1}{S} \iint_S U_1 \, dS_t = \frac{Q_T}{S}$$

Eğer iç koni yeterince koniye benziyorsa ve iç koninin

önemli bir bölümü brülörün ağızından uzaktaysa U_f 'teki degisiklikler çok önemli olmaz. Dolayısıyla da \bar{U}_f değeri, karışım için aynı değeri alır, hamlaç ağızı ve toplam gaz debisinden bağımsız hale geçer.

Biz bu tezde yanma hızının, \bar{U}_f değerinin ne denli sabit olduğunu inceledik. Asetilen-oksijen gaz karışımı kullananarak en olumsuz koşullarda çalıştık.

İç koninin ucunda gazların çıkış hızı :

Soğuk karışım yoğunluğu ρ_1 , yanmış gazların yoğunluğu ρ_2 ise ;

$$U_{2S} = \frac{\rho_1}{\rho_2} U_1 \frac{\sin \alpha}{\sin \beta}$$

T_1 ve T_2 soğuk ve yanmış gazların sıcaklığı; n_1 ve n_2 mol sayıları olsun. İdeal gaz kanunu geçerli sayılırsa;

$$\frac{\rho_1}{\rho_2} = \frac{n_2 T_2 P_1}{n_1 T_1 P_2}$$

İç koninin tepesinde $\alpha = \frac{\pi}{2}$, $\beta = 0$;

$$U_{2S} = \frac{\rho_1}{\rho_2} \cdot U_1 = \frac{n_2 T_2 P_1}{n_1 T_1 P_2} U_1$$

Yanma bölgesinde basınç düşüşü çok zayıf olduğu için (hava ile yanmada bir kaç mm, oksijenle yanmada birkaç cm) $P_1 = P_2$ alınabilir.

$$U_{2S} = \frac{n_2 T_2}{n_1 T_1} \cdot U_1$$

İç koninin tepesinde $n_2 T_2$, $n_1 T_1$ ve soğuk gazların hızı (U_1) bilindiğinde (U_{2S}) hesaplanabilir.

Alev işlemlerinde kullandığımız nokta iç koninin, ucu olduğu için, bu noktada (U_{2S})'i hesaplamak, alev işlemlerinin etkinliğinin ölçümünde önemli bir parametredir(3,10,20,7).

3.2. Yanma Hızının Uygulamadaki Önemi

Bu bölümde yanma hızlarının endüstride ya da gündelik yaşamdaki önemi konusunda birkaç örnekten söz edeceğiz.

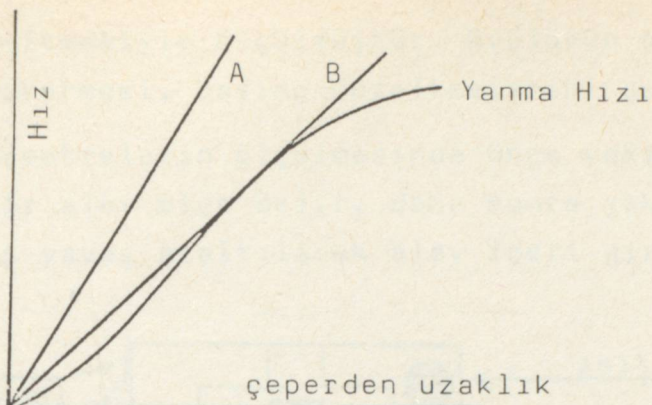
3.2.1. Alevlerin İçten Yanması

Yanma hızı, alevin brülör içine girip içten yanmasının önlenmesi için incelenmesi gerekli bir büyülüktür. R.F.Suddendorf ve M.B.Denton'un spektroskopide kullanılan H_2-O_2 ve $C_2H_2-O_2$ alevlerinin yanma hızları üzerine yaptıkları çalışma aşağıda özetlenmektedir (21).

Bir brülör ağzında ön karışımı kararlı bir alevin yakılabilmesi bir çok etkene bağlıdır. Tutuşma sırasında yakıt-oksitleyici karışımalar bir reaksiyon bölgesi (alev cephesi) oluştururlar. Yanma hızı denilen alev yayılma hızı, çıkan gazların hızından az ise alev brülör ağzından uçar. tam tersi olduğunda; yani yanma hızı yakıt gazlarının çıkış hızını geçtiğinde alev brülör ağzından içeri girer, içten yanma olur. Bu iki uç arasında (uçma ve içeri girme), yanma hızının gaz karışım hızıyla dengelendiği durumlarda kararlı alev görülür.

Genel olarak yanma hızı alev cephesinin çoğu yerinde aynı biçimde olmasına karşın bek kenarlarında; delik duvarlarının anı soğutma etkisi ile sıfıra düşer. Bu nedenle soğuk delik çeperleri, alevin içeri girip yanmasını önleyici bir etkiye sahiptir. Çeperden (duvardan) kısa bir uzaklıkta (ani soğutma uzaklığı) gaz karışımının yanma hızı artar. Bu bölgede içeri girme, gazların çıkış hızını yanma hızından fazla tutarak önlenir (Şekil 16). Eğer alevin herhangi bir bölgesinde gaz akış hızı, yanma hızı altına düşerse ya da brülör sıcaklığı, delik duvarının anı soğutma etkisini azaltacak kadar yükselirse alev içeri girer ve içten yanma olur.

Çıkış deliği çapı küçülürse, delik duvarının soğutma etkisi daha önemlidir. Bu durumda hem gaz karışımının yanma hızı, hem de brülör ağzından ısı iletimi değişir, böylece düşük gaz çıkış hızları kararlı bir alevi taşıyabilir.



Şekil 16. Alev içeri girme durumları:
(A: İçeri girme yok; B:İçeri gireceği noktalar)

Alevin içeri girmesinde brülör uç sıcaklığı da önemlidir. Duvar deliğinin akış ve yanma hızını değiştirmesi yanı sıra gaz reaksiyonlarını soğutma etkisi de vardır. Bu, gaz karışımında zincir taşıyıcı reaksiyonlar için gerekli aktivasyon enerjilerini düşürerek içeri girmeyi önler.

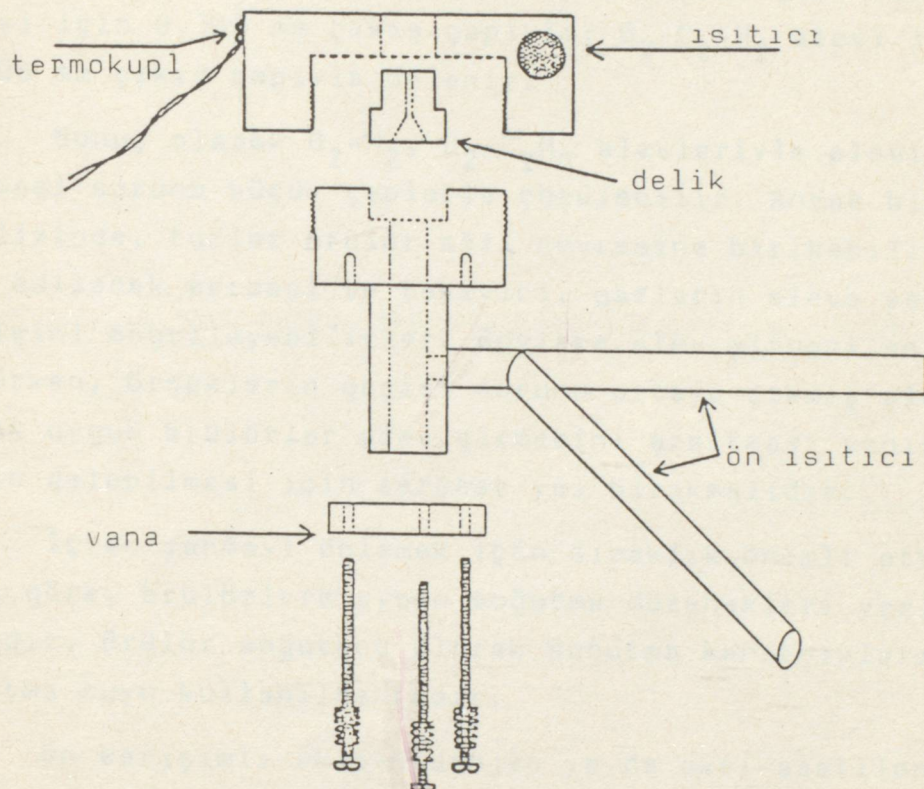
R.F. Suddendorf ve M.B.Denton tarafından yapılan çalışmada tek delikli bir brülör tasarıımı tanımlanmış ve ön karışımı O_2-H_2 ve $O_2-C_2H_2$ alevleriyle çalışacak iyileştirilmiş brülörlerin tasarıımı için gerekli veriler verilmiştir.

Alevin içeri girme parametrelerinin belirlenmesi için kullanılan brülör, patlama basıncına dayanacak sağlamılıkta, temel gaz karışımının karışmasını ve bu karışımın ön ısıtılmasını sağlayacak biçimde tasarlanmıştır. Brülör; temel, baş ve hareketli borudan (piston) oluşmuştur (Şekil 18). Yakıt ve oksitleyici yüksek türbülanslı bir bölgede karışırlar ve küçük bir odadan ($2,5 \text{ cm}^3$) geçerler. Bu oda içerisinde patlama etkisini azaltır. Basıncılı, yaylı ani giriş vanası içerisindeki patlamanın etkilerini azaltmak için brülör altına yerleştirilmiştir. Ön ısıtma bakır boruda (5 inç) her gaz karışmadan önce olur. Boruların sıcaklığı, brülörün diğer bölgele riyle aynıdır. Brülör başı sıcaklıklarını bir demir konstantan termokopl ile ayarlanmıştır. Bakır pistonun çapı 1,5 cm dir ve temel ile baş arasında sıkıca tutulmaktadır.

Gaz akış hızları debimetreyeyle, sıcaklık su buharı ba-

sinci düzeltmesiyle ölçülmüştür. Brülörün gaz akış hızına az direnç göstermesi, basınç düzeltmelerini gereksiz kılar.

Parametrelerin ölçülmesinde önce yakıt ve oksijenden kararlı bir alev elde delir, daha sonra yakıt ve oksijen debisi yavaş yavaş azaltılarak alev içeri girene kadar azaltılır.



Şekil 17. Brülör delik kesiti.

18 ve 19. şekillerde çeşitli zenginlik ve çıkış çaplarında içten yanmaya yol açan toplam debiler görülmektedir. Delik çapının azalmasıyla alevin girmesine neden olan toplam debi de düşer (küçük çaplardaki soğutma etkisi artması).

Bir brülör çeperinin ani soğutma etkisi, duvarın soğutma ve gaz karışımındaki zincir taşıyıcı reaksiyonları yok etmesine bağlıdır. Brülör sıcaklığının artması bu etkiyi azaltır. Sıcaklık kontrolü ile ani soğutmanın sıcaklıkla değişimi incelenebilir. Şekil 20 ve 21, 373-473 ve 573 K de toplam gaz akış hızı değişimini göstermektedir. Bu şekillerde sıcaklık artışının içten yanmayı önlemek istenen toplam debiyi artırdığı görülmektedir. Bu, brülör ağızına ısı iletimi,

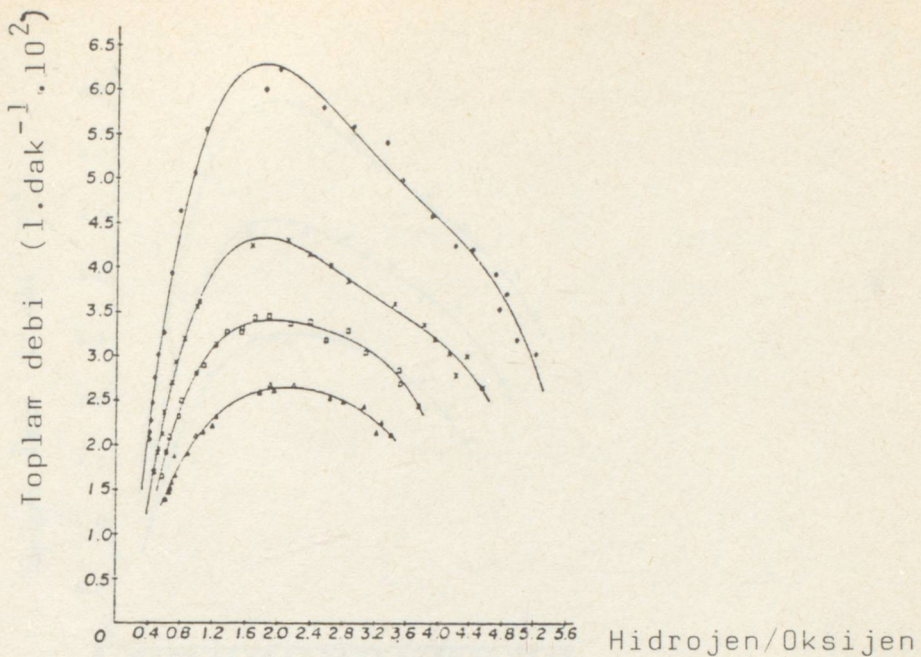
brülör ağızı ile alev arasındaki sıcaklık farkının düşmesi ile azalır.

Alev spektrometrisinde kullanılacak brülörlerde, içten yanma olasılığını azaltmak ya da yok etmek gereklidir. Çeşitli çıkış çapları incelenerek uygun delik çapları belirlenebilir. Eğer brülör başı sıcaklığı 573 K ise, geri dönme O_2-H_2 alevi için 0,368 mm çıkış çapıyla; $O_2-C_2-H_2$ alevi içinse 0,406 mm çıkış çapıyla önlenir.

Sonuç olarak O_2-H_2 , $O_2-C_2H_2$ alevleriyle alevin içeri girmesi sorunu küçük çaplarla çözülebilir. Ancak bir çözelti analizinde, tuzlalar brülör ağızı çevresine birikebilir ve analiz edilecek aerosol ve taşıyıcı, gazların aleve serbestçe geçişini engelleyebilirler. Böylece alev girmesi sorunu çözülürken, örneklerin geçiği sorunu ortaya çıkmış olur. Yapılamak uygun brülörler alev girmesini azaltması yanısıra örneğin gelebilmesi için serbest yol bırakmalıdır.

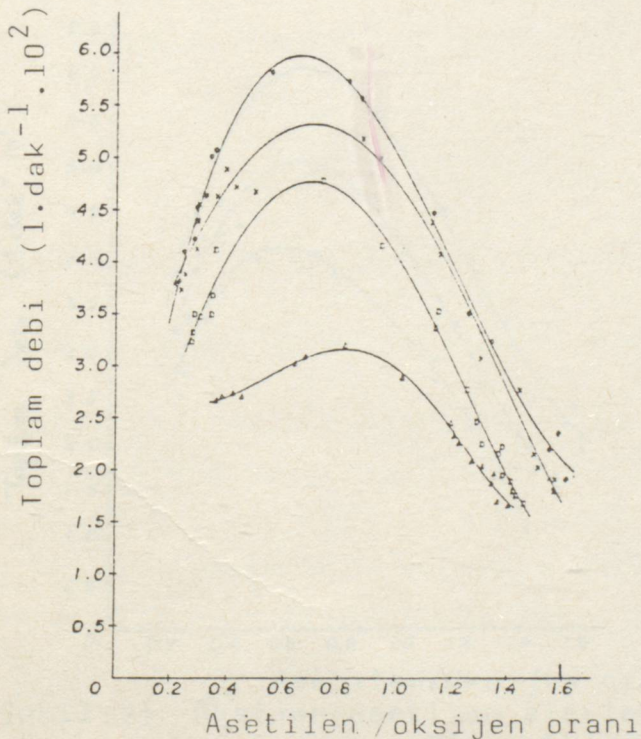
İçten yanmayı önlemek için sıcaklık önemli etken olduğuna göre, brülörlere uygun soğutma düzenekleri yerleştirilmelidir. Brülör soğutucu olarak soğutma kanatçıkları ya da soğutma suyu kullanılmaktadır.

Ön karışımı oksihidrojen ya da oksiyasetilende güvenle kullanılabilen bir brülörün; çıkış çapı, yakıt-oksitleyici oranı ve brülör başı sıcaklığını içeren parametrelerle bağlı olduğu görülmüştür.

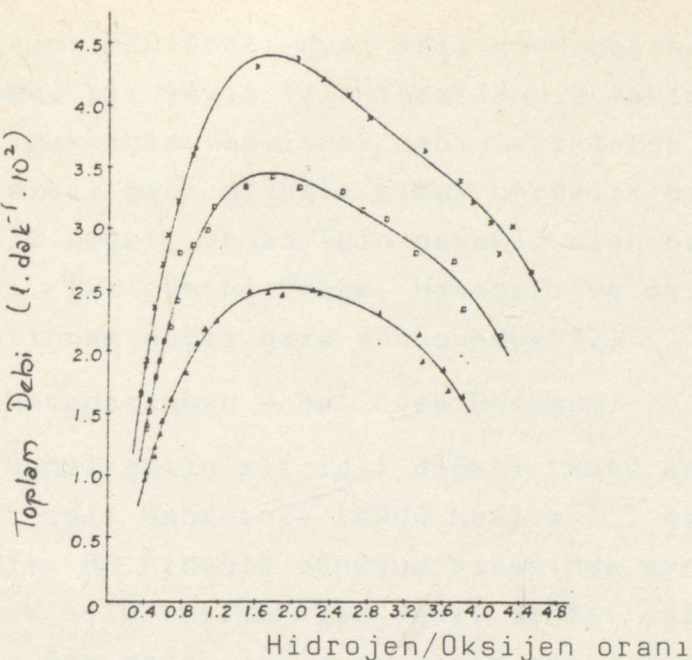


Şekil 18. Oksijen-hidrojen alevlerinin içeri girmesinde toplam gaz debisi.

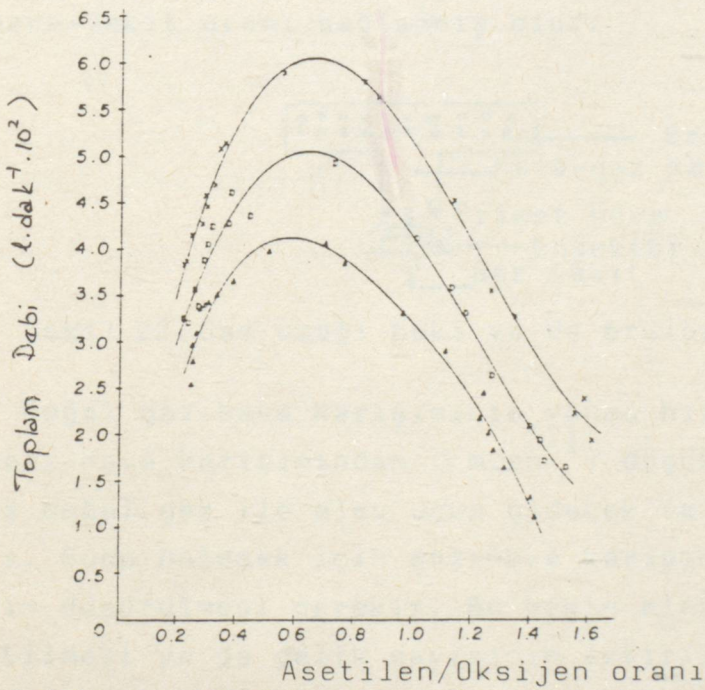
(Brülör sıcaklığı 573 K, delik çapları: $\Delta=0,572\text{ mm}$
 $\square=0,660\text{ mm}$; $x=0,742\text{ mm}$; $\diamond=0,812\text{ mm}$)



Şekil 19. Oksijen-asetilen alevlerinin içeri girmesinde toplam gaz debisi. (Brülör sıcaklığı 573 K, Delik çapları: $\Delta=0,508\text{ mm}$; $\square=0,533\text{ mm}$;
 $x=0,572\text{ mm}$; $\diamond=0,610\text{ mm}$.)



Şekil 20. Oksijen-hidrojen alevlerinin içeri girmesinde sıcaklık etkisi.
(Delik çapı 0,742 mm. Brülör sıcaklığı
 $\Delta=373$ K; $\Gamma=473$ K; $X=573$ K)



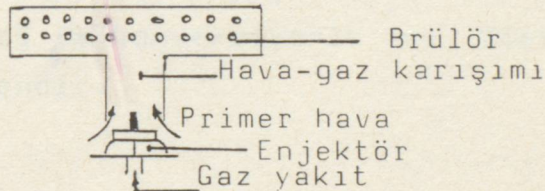
Şekil 21. Oksijen-acetilen alevlerinin içeri girmesinde sıcaklık etkisi. (Delik çapı 0,610 mm, Brülör sıcaklığı:
 $\Delta=373$ K;
 $\Gamma=473$ K; $X=573$ K)

3.2.2. Gaz Yakıtlar Arasında Dönüşüm

Aynı brülörde, aynı ısıl gücü çeşitli yakıtlarla sağlanabilmek, bir yakıt için tasarlanmış yakıcıda başka bir ^{yakıt} kullanabilmek için yapılacak değişikliklerde, ilgili gazların üç yanma özelliğini dikkate almak gereklidir: Birim hacim başına alt ısıl değer, yanma için gerekli olan hava miktarı ve yanma hızı. İki güncel örnek, havagazı ve sivilaştırılmış petrol gazından doğal gaza dönüşümdür(22).

— Havagazından Doğal Gaza Dönüşüm:

Doğal gazın alt ısıl değeri (8540 kcal.m^{-3}), havagazının alt ısıl değerinin (4000 kcal.m^{-3}) iki katından biraz fazladır. Bu nedenle dönüşüm sırasında aynı gücü (ısı yükünü) sağlamak için verilen gaz yakıt debisi yarıya düşürülmelidir. Bunun diğer nedeni de aynı hacim doğal gazın, havagazının iki-buçuk katı havayla yanmasıdır. Basıncın düşürülmesi düşünülebilir. Fakat o zaman emilen primer hava debisi düşer, yanma sarı alevle olur. Bunu önlemek için, yakıt debisini düşürme enjektör çapını daraltarak yapılır (Şekil 22). Böylece istenen hava-yakıt oranı sağlanmış olur.



Şekil 22. Gaz ocağı beki ya da brülörü

Doğal gaz-hava karışımının yanma hızı ($0,43 \text{ m.sn}^{-1}$), havagazı-hava karışımından (1 m.sn^{-1}) düşük olduğundan, aynı odacta doğal gaz ile alev uçup gidecek ve alev kopukluğu olacaktır. Bunu önlemek için gaz-hava karışımının bekten çıkış hızının düşürülmeli gerekir. Bu bekin alev deliklerinin genişletilmesi ya da delik sayısının artırılması ile yapılır.

— Sivilaştırılmış Petrol Gazlarından Doğal Gaza Dönüşüm:

Sivilaştırılmış petrol gazlarının alt ısıl değeri

($22.200 \text{ kcal.m}^{-3}$) , doğal gazın alt ısıl değerinin (8540 kcal.m^{-3}) üç katına yakındır. Bu nedenle doğal gaz kullanıldığı zaman bekten geçecek yakıt debisi, sıvılaştırılmış petrol gaz debisinin üç katı olmalıdır. Bu enjektör çapının genişletilmesiyle sağlanır.

Aynı ısıl gücü verecek gaz-hava karışımının debisi doğal gaz için sıvılaştırılmış petrol gazına göre biraz daha fazla; doğal gaz-hava karışımının yanma hızı ise (0.43 m.sn^{-1}) sıvılaştırılmış petrol gazı-hava karışımından (0.5 m.sn^{-1}) biraz düşük olduğundan bu dönüşüm sırasında bek deliklerinin çapı ve kesiti aynı bırakılmalı ya da biraz artırılmalıdır.

3.2.3. İsı İletimi

Gazlar brülörden ne kadar hızlı çıkarsa konveksiyonla ısı iletimi o kadar iyi olur ve birim zamanda verilen ısıl güç de yüksek olur. Ancak brülörden çıkan gazların debisi belli bir değeri aşarsa kararlı alev elde edilemez; alev uçar. Bir gaz karışımının yanma hızının yüksek olması, o gaz karışımının alevin kararlılığını bozulmadan fazla debide verileceğini gösterir. Diğer bir deyişle; belli bir brülör için yanma hızı, ısıl gücü ve konveksiyonla ısı iletimini sınırlayan en önemli etkendir.

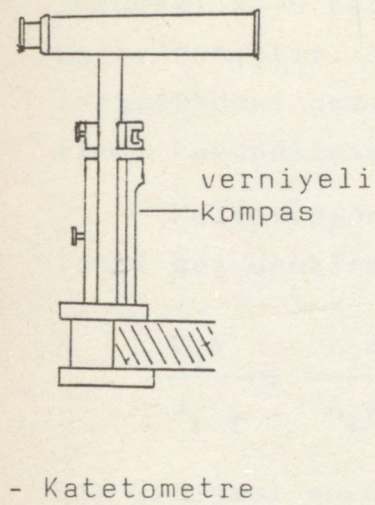
4. DENEYSEL ÇALIŞMALAR

4.1. Deney Düzeneği

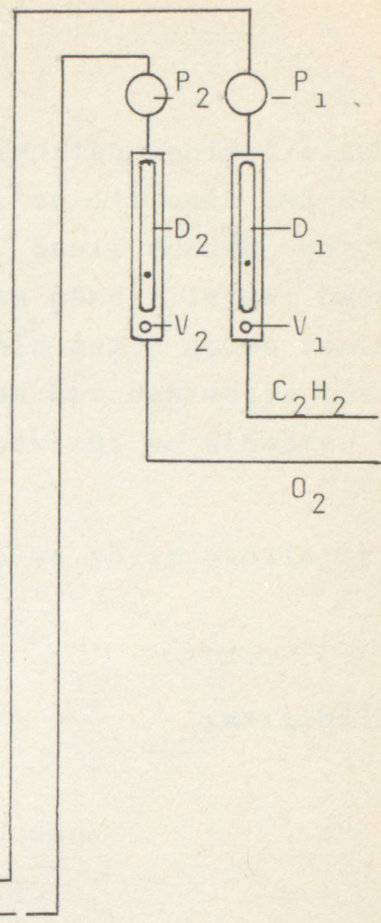
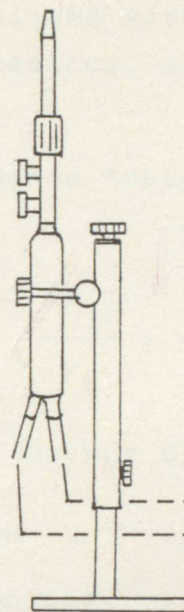
$O_2-C_2H_2$ ön karışımı alevlerin yanma hızının belirlenmesi için alevin iç koni yüksekliği katetometre ile ölçülmüşdür. Katetometre, iki nokta (alev çıkış noktası ile iç koni tepesi) arasındaki düşey uzaklığı ölçmek için kullanılan bir alettir.

Şekil-23 de görüldüğü gibi tüplerden gelen gazlar, debimetre ve manometreden geçerek hamlaca girmektedir. Denemeler sırasında gazların debilerinin belirlenmesi amacıyla debimetreler kalibre edilmiştir. Her yakıtça zenginlik değeri için ayarlanan debilerde gaz çıkış basıncı manometrelerden okunmaktadır.

Kaynak koluna asetilen gazi, oksijen gazının emmesiyle girer. Karışan gazların yakılmasıyla elde edilen alevin, istenen debi değeri debimetre ile ayarlanarak kararlı hale gelmesi beklenir. Alevin iç konisi katetometreye bağlı olan verniyeli kompas ile ölçülür.



- Katetometre



Şekil 23. Deney düzeneği

D_1 , D_2 : Bilyalı debimetreler (asetilen gazi debimetre bilyası carboloy, oksijen gazi debimetre bilyası tantal)

V_1 , V_2 : Debimetre vanaları

P_1 , P_2 : Manometreler

4.2. Kalibrasyon Çalışması

Asetilen ve oksijen gazı için kullanılan debimetrelerin kalibrasyonu yapılmıştır. Deneyde gazın, su ile dolu iki litrelik hacmi boşaltma zamanı ölçülmüştür. Sabit debide, gaz, su ile dolu kaba ters olarak çevrilen balona gönderilerek; balon içindeki suyu boşaltma yani balon hacminin gazla dolma zamanı belirlenmiştir. Yapılan çalışma sırasında her debimetre göstergesindeki gazın çıkış basıncı, su sıcaklığı ve atmosfer basıncı kaydedilmiştir.

Kalibrasyon çalışmasında hesaplamalar şöyle yapılmıştır. İdeal gaz denkleminden;

$$\frac{P_i V_i}{P_T V_T} = \frac{n_i RT}{n_T RT} \Rightarrow \frac{P_i}{P_T} = \frac{n_i}{n_T} = \frac{V_i}{V_T} \quad \text{yazılabilir.}$$

Gaz karışımı su buharı ile doymuş olduğundan;

$$P_{atm} = P_{su} + P_{akışkan}$$

aşağıdaki eşitliğe ulaşılabilir.

$$\frac{P_{atm} - P_{su}}{P_{atm}} = \frac{V_{akışkan}}{V_T}$$

Örneğin oksijen gazı için yapılan bir denemede, su sıcaklığı 14°C ve atmosfer basıncı 768 mmHg idi.

14°C de $P_{su} = 11.9807$ mmHg olduğuna göre;

$$\frac{768 - 11.9807}{768} = \frac{V_{akışkan}}{2}$$

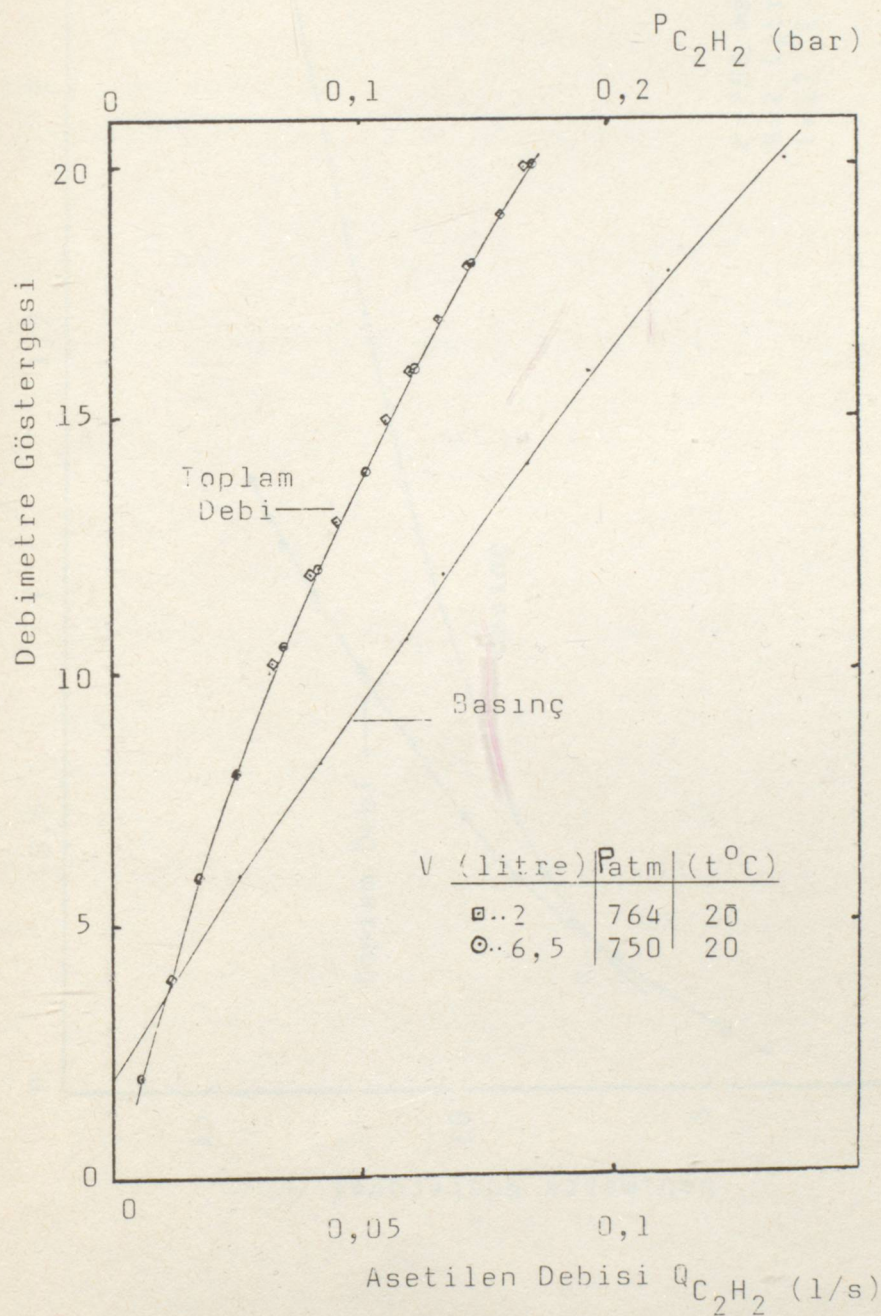
$$V_{akışkan} = V_{O_2} = 1,968 \quad \text{litre olarak bulunur.}$$

Geçen süre ve gaz hacmi bilindiğine göre gazlar için debi hesaplanabilir.

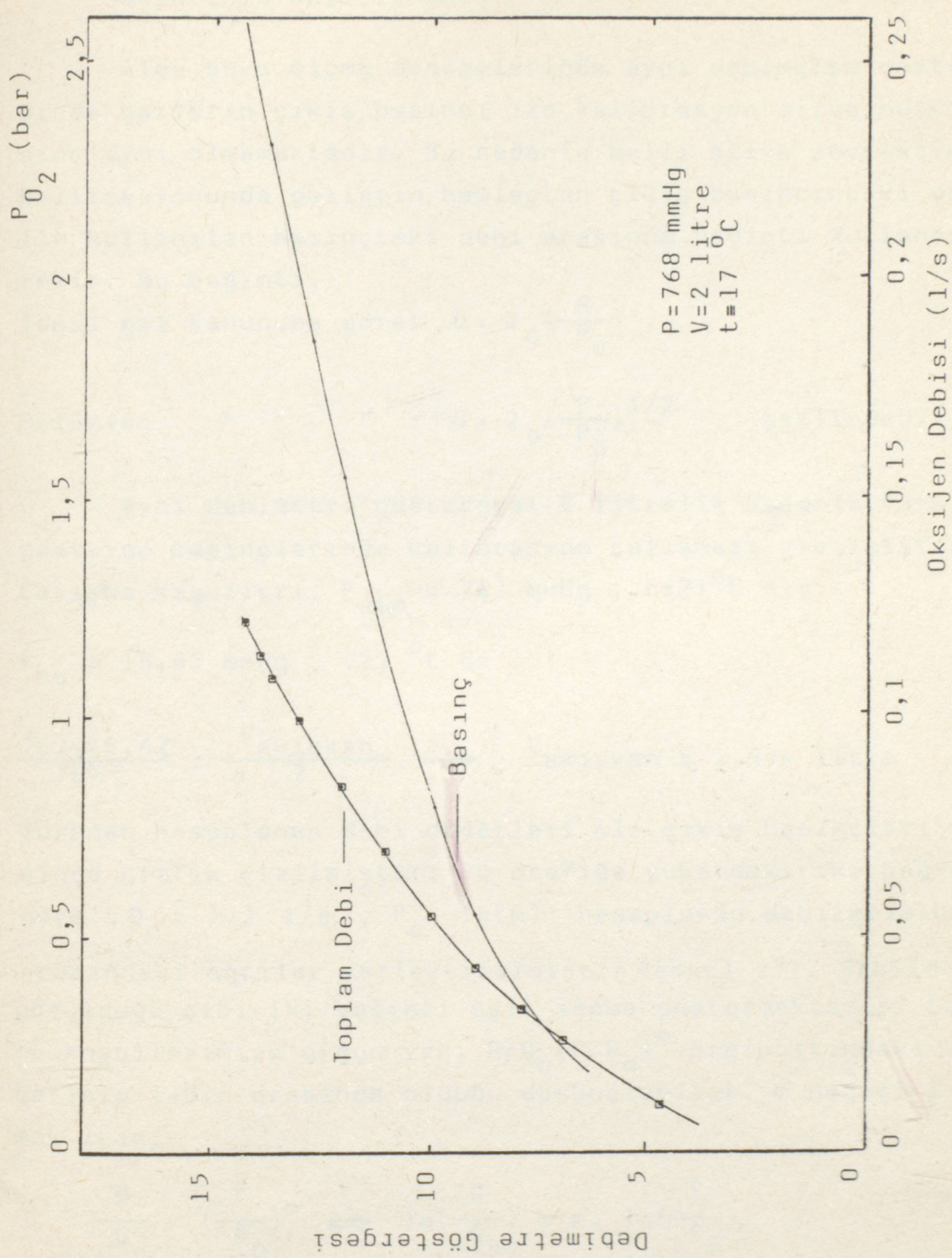
Kalibrasyon çalışması, balondaki suyun boşalması için

geçen zamanın ölçülmesinde olabilecek hatayı azaltmak için 6,5 litrelilik balonla tekrar yapılmıştır. Sonuçlar karşılaştırıldığında yüksek debilerde çok az sapma olduğu görülmüştür.

Oksijen ve asetilen gazlarına ait kalibrasyon eğrileri şekilde 24-25 de görülmektedir.



Şekil 24. Asetilen gazi kalibrasyon eğrisi
(Debitmetre bilyası: Carboloy; 3 nolu kaynak
kolu)



Sekil 25. Oksijen gazi kalibrasyon eğrisi
(Debimetre bilyası: Tantal; 3nolu kaynak kolu)

4.3. Gazların Debi Hesaplamasında Kullanılacak Olan Bağıntının Belirlenmesi

Alev boyu ölçme denemelerinde aynı debimetre göstergesinde gazların çıkış basıncı ile kalibrasyon sırasındaki basınç aynı olmamaktadır. Bu nedenle belli bilya seviyesinde kalibrasyonunda gazların hamlaştan çıkış basıncındaki debi ile kullanılan basınçtaki debi arasında bağıntı kullanmak gereklidir. Bu bağıntı,

$$\text{İdeal gaz kanununa göre: } Q = Q_0 \left(\frac{P}{P_0} \right) ,$$

Difüzyon " " : $Q = Q_0 \left(\frac{P}{P_0} \right)^{1/2}$ şeklindedir.

Aynı debimetre göstergesi 2 litrelilik balonla farklı gösterge basınçlarında kalibrasyon çalışması yapılmıştır. Çalışma koşulları, $P_{atm} = 767 \text{ mmHg}$, $t = 21^\circ\text{C}$ dir.

$$P_{su} = 18,62 \text{ mmHg} \quad (21^\circ\text{C de})$$

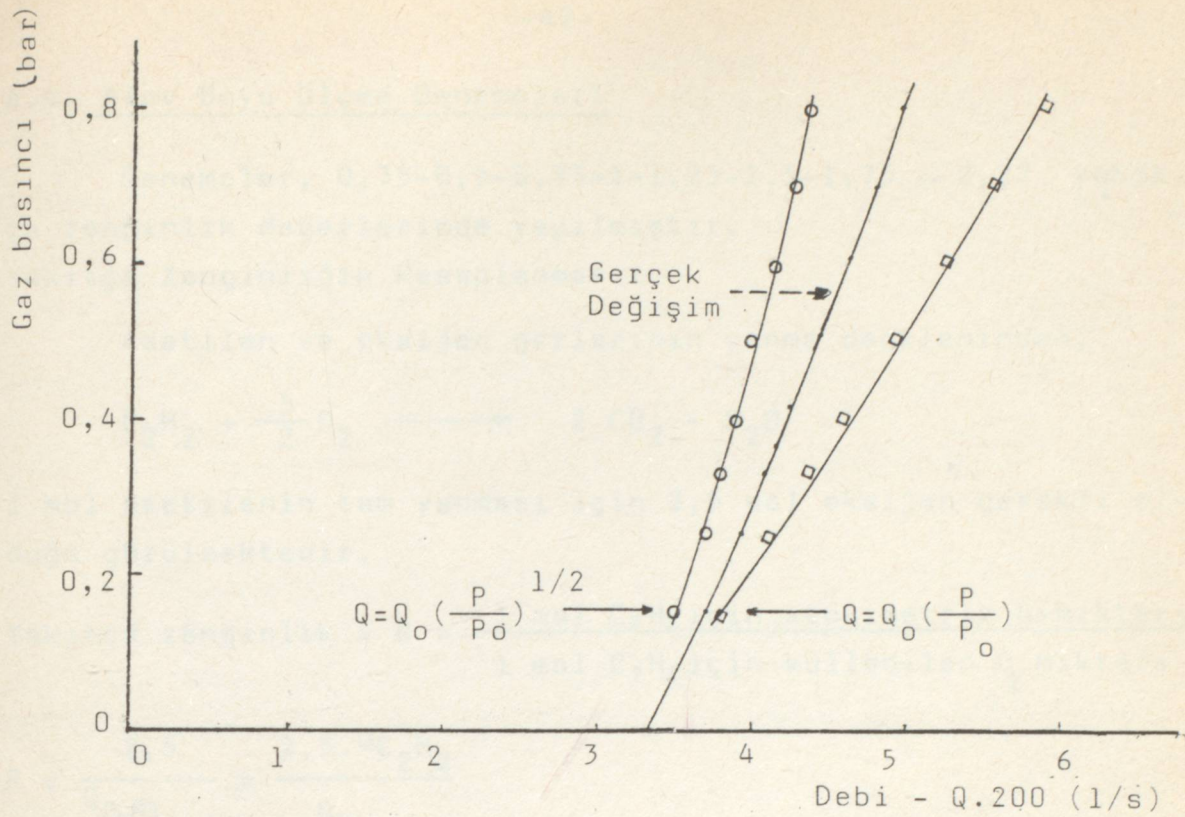
$$\frac{767-18,62}{767} = \frac{V_{\text{akışkan}}}{2} \rightarrow V_{\text{akışkan}} = 1,954 \text{ litre}$$

Buradan hesaplanan debi değerleri ile çıkış basınçları arasında grafik çizilmiştir. Bu grafiğe yukarıdaki iki bağıntiya göre ($Q_0 = 3,3 \text{ l/s}$, $P_0 = \text{latm}$) hesaplanan debilerle-basınç arasındaki egriler yerleştirilmiştir (Şekil 27). Şekilde görüldüğü gibi iki bağıntı eşit sapma göstermektedir. Çalışma koşullarımıza uygun yani $Q = Q_0 (P/P_0)^m$ bağıntısındaki m değerinin 1-0.5 arasında olduğu düşünülebilir. m değerini bulmak için,

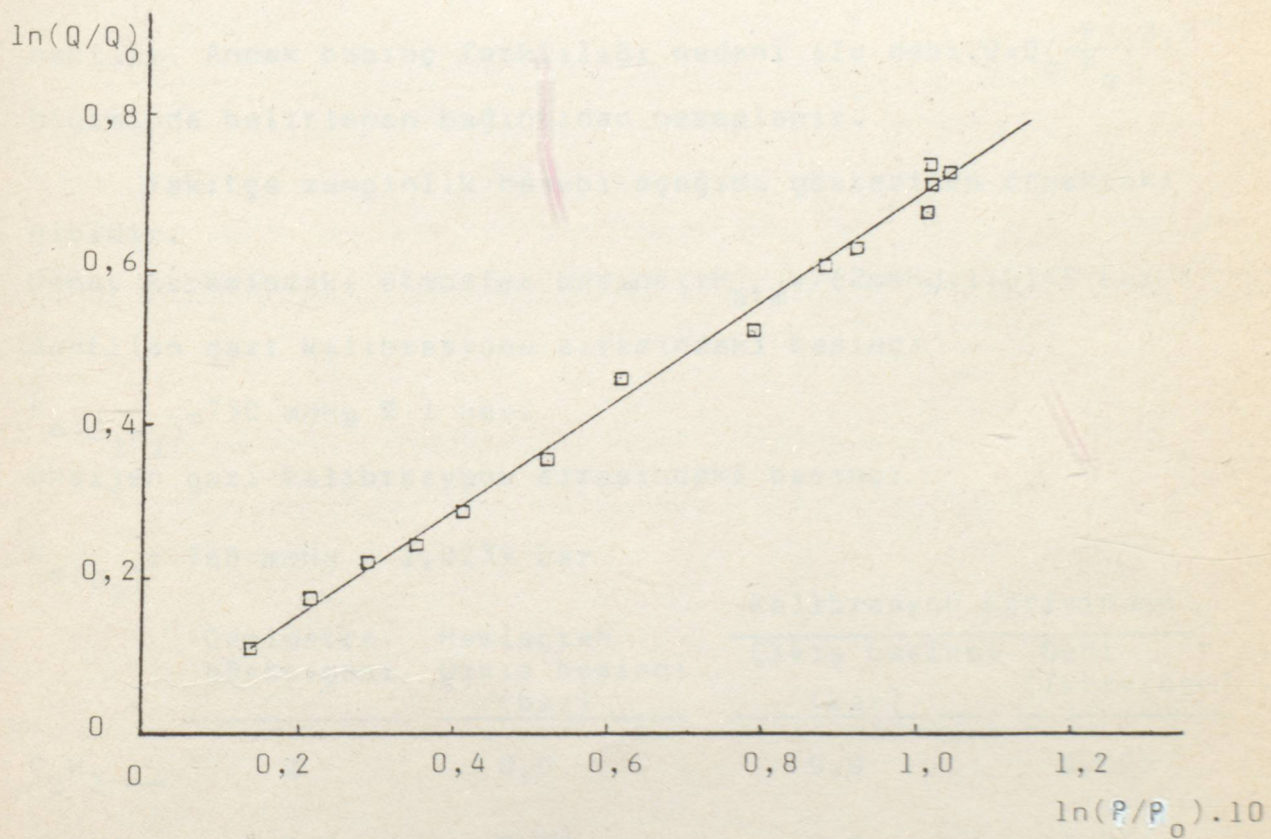
$$\frac{Q}{Q_0} = \left(\frac{P}{P_0} \right)^m \Rightarrow \ln \left(\frac{Q}{Q_0} \right) = m \cdot \ln \left(\frac{P}{P_0} \right)$$

eşitliğini, $y = mx$ eşitliğine benzeterek $\ln(Q/Q_0)$ ile $\ln(P/P_0)$ arasında grafik çizilmiştir (Şekil 27). Eğimden $m = 0,7$ olarak bulunmuştur. Böylece kullanacağımız eşitlik

$$Q = Q_0 \left(\frac{P}{P_0} \right)^{0,7} \text{ olarak belirlenmiştir.}$$



Şekil 26. Debi ile basınç arasındaki bağıntının belirlenmesi



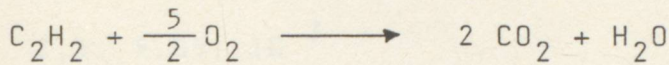
Şekil 27. m değerinin bulunması.

4.4. Alev Boyu Ölçme Denemeleri

Denemeler, 0,35-0,5-0,75-1-1,25-1,5-1,75 - 2,27 yakıt-ça zenginlik değerlerinde yapılmıştır.

Yakıtça Zenginliğin Hesaplanması:

Asetilen ve oksijen gazlarının yanma denkleminden,



1 mol asetilenin tam yanması için 2,5 mol oksijen gerekli olduğu görülmektedir.

$$\text{Yakıtça zenginlik} = R = \frac{\text{l mol C}_2\text{H}_2 \text{ için stokimetrik O}_2 \text{ miktarı}}{\text{l mol C}_2\text{H}_2 \text{ için kullanılan O}_2 \text{ miktarı}}$$

$$R = \frac{2,5}{Q_{\text{O}_2}/Q_{\text{C}_2\text{H}_2}} = \frac{2,5 \cdot Q_{\text{C}_2\text{H}_2}}{Q_{\text{O}_2}}$$

Bu bağıntıda gazlarındebileri kalibrasyon eğrilerinden bulu-

nabilir. Ancak basınç farklılığı nedeni ile debi, $Q = Q_0 \left(\frac{P}{P_0} \right)^{0.7}$ biçiminde belirlenen bağıntıdan hesaplanır.

Yakıtça zenginlik hesabı aşağıda gösterilen örnekteki gibidir.

Deney sırasındaki atmosfer basıncı: $P_{\text{atm}} = 762 \text{ mmHg} = 1,0159 \text{ bar}$

Asetilen gazı kalibrasyonu sırasındaki basınç:

$$P_0(\text{C}_2\text{H}_2) = 750 \text{ mmHg} \approx 1 \text{ bar.}$$

Oksijen gazı kalibrasyonu sırasındaki basınç:

$$P_0(\text{O}_2) = 768 \text{ mmHg} = 1,0239 \text{ bar}$$

Kalibrasyon Eğrisinden

| Debimetre göstergesi | Hamlaçtan çıkış basıncı (bar) | Çıkış basıncı (bar) | Debi (litre/san) |
|---------------------------------|-------------------------------|---------------------|------------------|
| C ₂ H ₂ — | 2 | 0,0 | 0,005 |
| O ₂ — | 8,3 | 0,78 | 0,036 |

$$Q_{C_2H_2} = Q_{O_2(C_2H_2)} \left(\frac{P}{P_0} \right)^{0,7} = 0,005 \left(\frac{1,0159+0,0}{1+0,0} \right)^{0,7} = 5,05 \cdot 10^{-3} \text{ (1/s)}$$

$$Q_{O_2} = 0,036 \left(\frac{1,0159+0,78}{1,0239+0,8} \right)^{0,7} = 0,03561 \text{ (1/s)}$$

Bu durumda yakıtça zenginlik,

$$R = \frac{2,5 \cdot 5,05 \cdot 10^{-3}}{0,03561} = 0,354 \quad \text{olarak bulunur.}$$

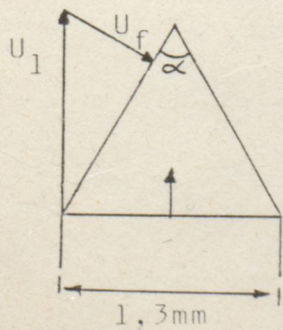
Alev boyu ölçme denemesi, her bir zenginlikte gazların sağlanabilen maksimum-minimum debileri arasında yapılmıştır. Yakıtça zenginlik deneme öncesi kabaca hesaplanıp deneme sırasında olan basınç değişimleri için tekrar hesap yapılmıştır.

Gazların akışı dolayısıyla alev kararlı hale geldiğinde ayarlanan zenginlik değerinde, alevin iç konisinin boyu katetometreyle belirlenmiştir. Bu, alevin kaynak kolu ağızıyla, iç koninin tepesi ayrı ayrı ölçüлerek aralarındaki farktan bulunmuştur.

Yanma hızı hesabı alevin iç konisi üçgene benzetilerek yapılmıştır. Yakıtça az zengin alevlerin iç konisi üçgen şeklinde olmasına karşın yüksek debili ya da yakıtça zengin alevlerin iç konisinin tam bir üçgen şeklinde olduğu söylenemez. Fakat bu durumun getireceği hatanın az olacağı düşünülebilir. Bu hatanın giderilmesi için alev fotoğrafları çekilmiştir.

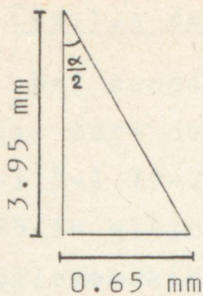
Yanma hızı hesabı şu şekilde yapılmıştır:

Yakıtça zenginliğin hesabında gösterilen örnekte alev boyu 3,95 mm olarak ölçülmüştür.



$$U_1: \text{Alev çıkış hızı} = \frac{Q_T}{\pi r^2}$$

$$U_f: \text{Yanma hızı} = U_1 \cdot \sin(\alpha/2)$$



$$a^2 = 3,95^2 + 0,65^2$$

$$a = 4,003 \text{ mm}$$

$$\sin(\alpha/2) = \frac{0,65}{4,003} = 0,16237 ; \alpha = 18,68^\circ$$

$$Q_T = Q_{C_2H_2} + Q_{O_2} = 0,04066 \text{ (l/s)}$$

$$U_1 = \frac{0,04066 \cdot 10^{-3}}{\pi \cdot (0,65 \cdot 10^{-3})^2} = 30,63 \text{ (m/s)}$$

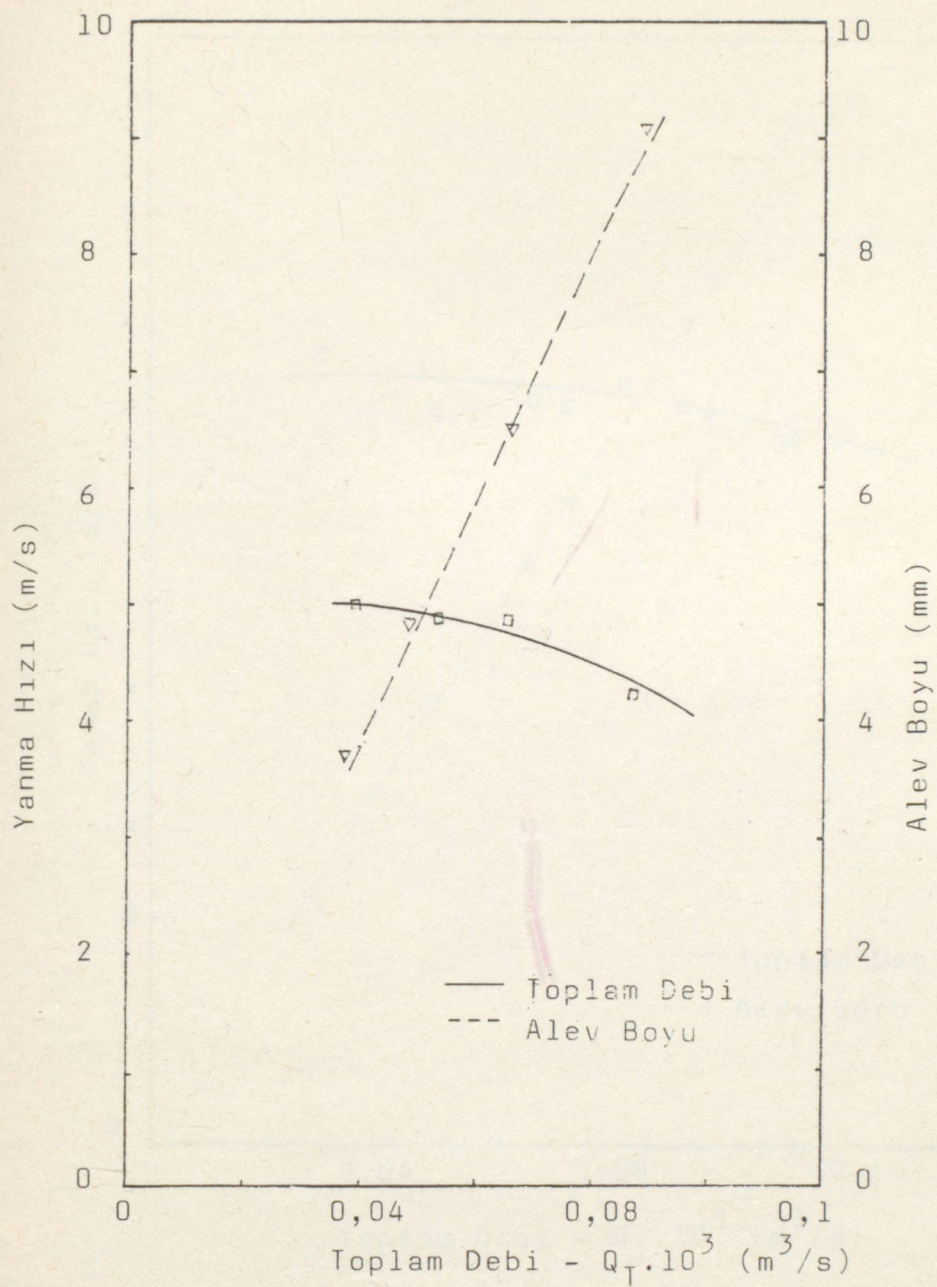
$$U_f = 30,63 \cdot 0,16237 = 4,97 \text{ (m/s)} \text{ olarak bulunur.}$$

Değişik zenginliklerde hesaplanan yanma hızlarının toplam debiyle değişimi grafiksel olarak gösterilmiştir. Aynı grafiğe alev boyunun toplam debiyle değişimide konulmuştur.

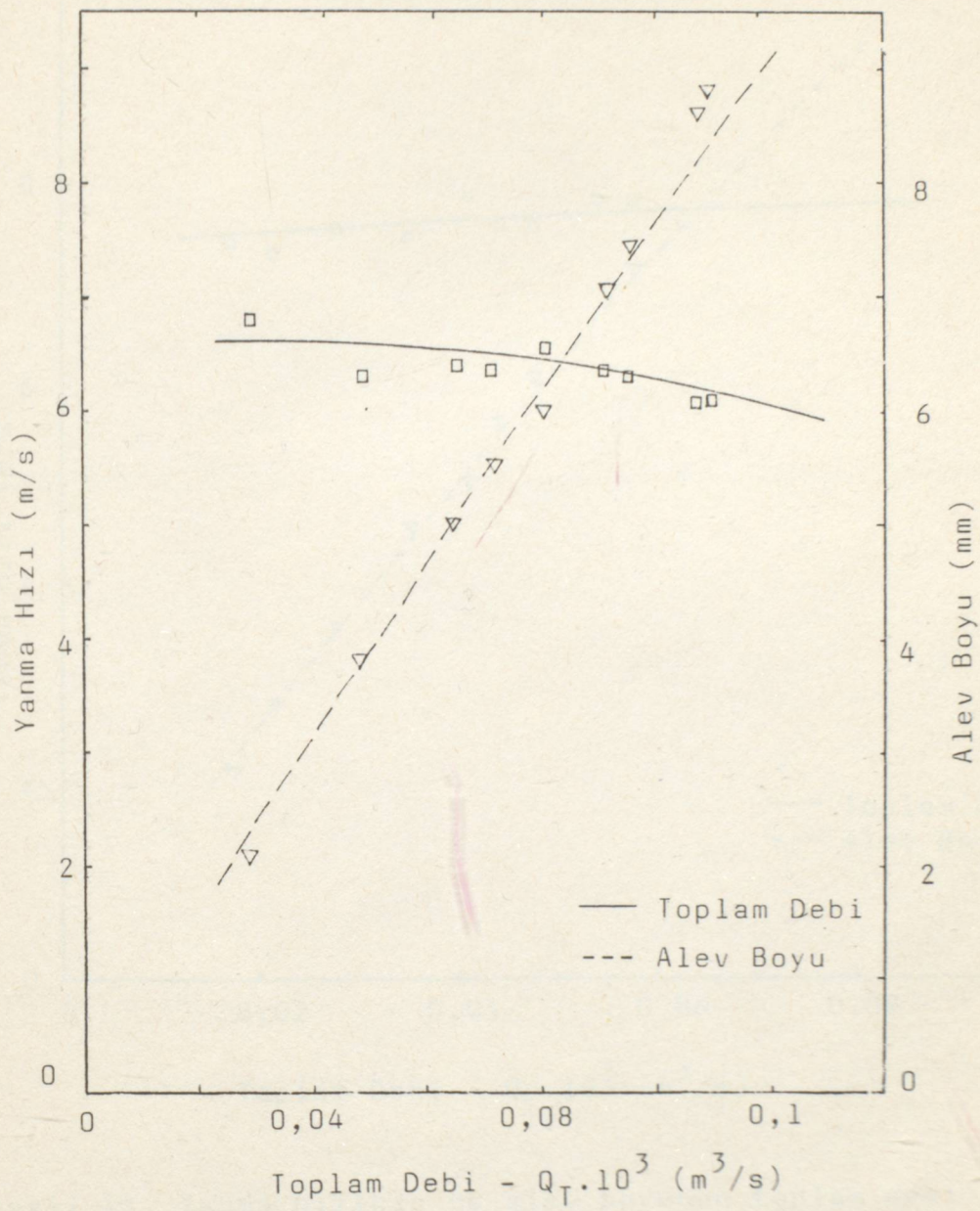
4.5. Çeşitli Zenginliklerde Hava İçinde Ölçülen Alev Boyları

Her zenginlik için aynı hamlaçta çıkış debisi arttırılarak bir seri deneme yapılmıştır. Denemeler $R=0,35-0,5-0,75-1,25-1,5-1,75-2-2,27$ gibi dokuz seri için tekrarlanmıştır. $R=0,35$ 'in altında yeterli yakıt olmadığı için kararlı alev elde edilememektedir. Bu zenginlikte bile ancak birkaç debi için sonuç alınabilmiştir. Debi artırılınca, kısa bir süre sonra, alev uçup gitmektedir. $R=2,27$ 'nin üzerinde ise birinci yanma bölgesinde is oluşumu başlamakta ve iç koninin sınırları belirsizleşmektedir.

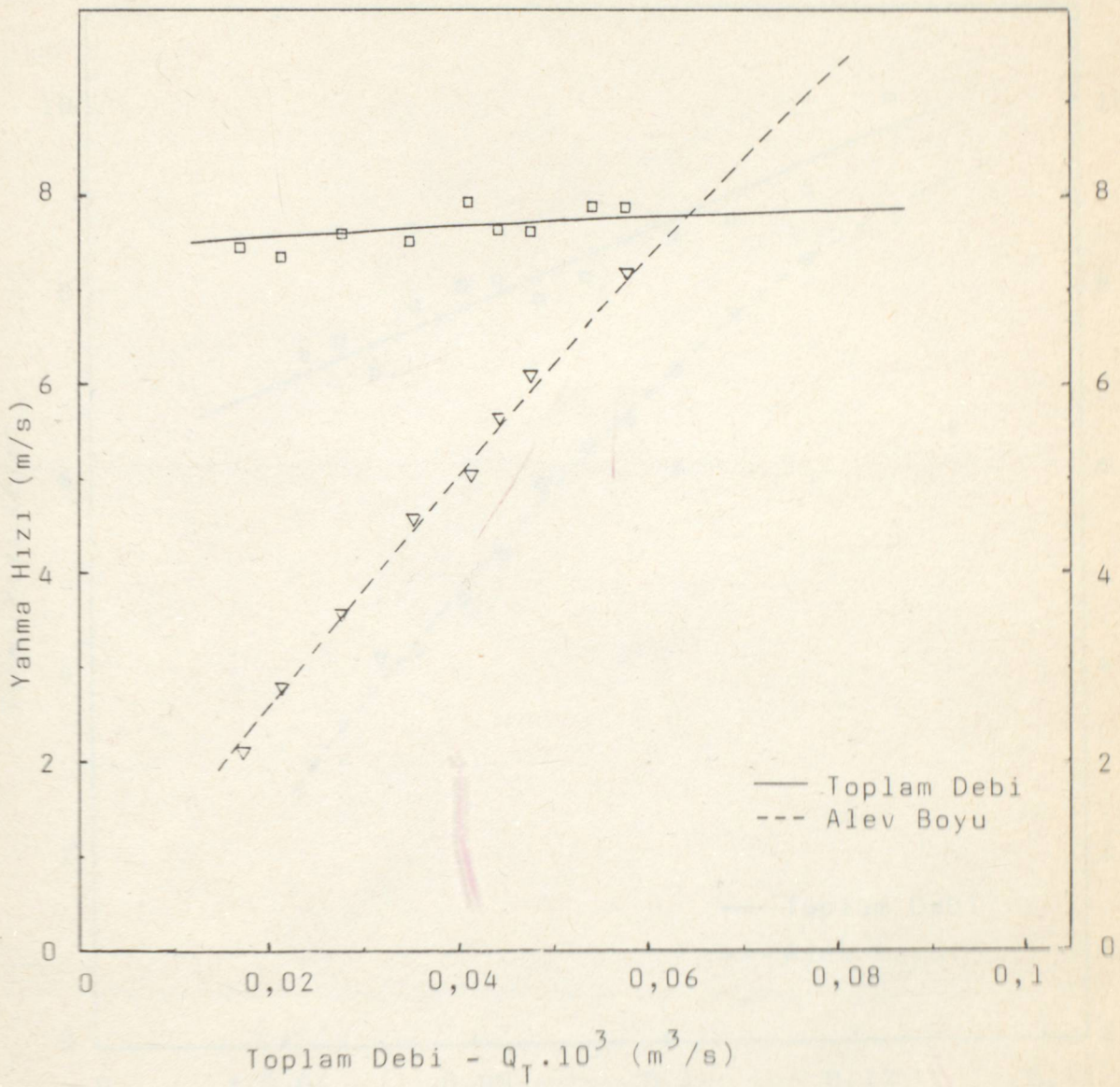
Deneysel sonuçlar şekil 28 ile 36 arasında görülmektedir. Çeşitli yakıt- O_2 karışımlarını kendi aralarında kıyaslamak için, aynı toplam debilerde yanma hızları kıyaslanmıştır (Şekil 37). Ayrıca ani soğutma etkisini eşitlemek için aynı iç koni boyalarında yanma hızlarının zenginlikle değişimi incelenmiştir (Şekil 38).



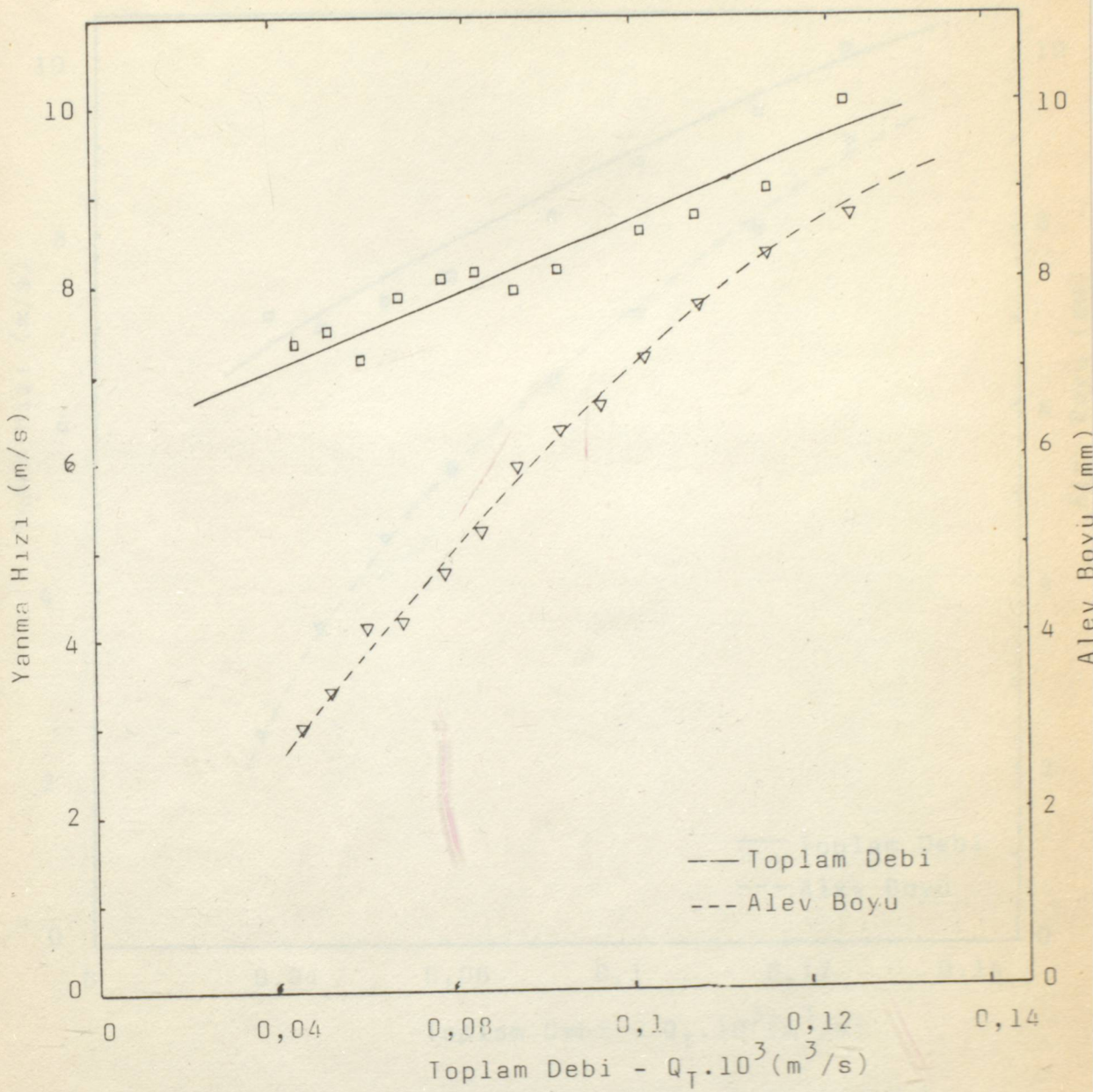
Şekil 28. Yanma hızının ve alev boyunun toplam debi ile değişimi ($R=0,35$; 3 nolu kaynak kolu delik çapı=1,3 mm)



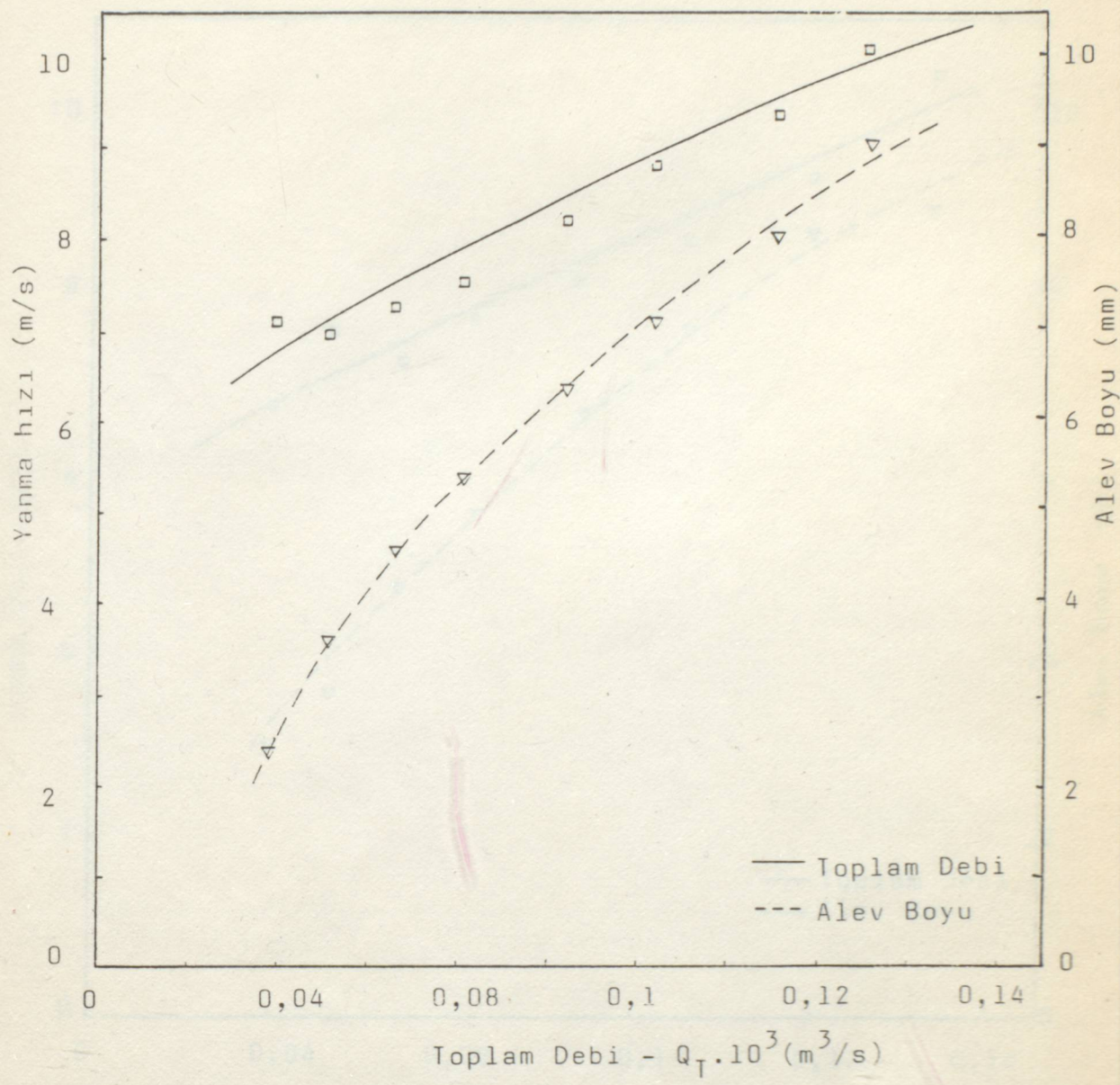
Şekil 29 . Yanma hızının ve alev boyunun toplam debi ile değişimi ($R=0,5$; 3 nolu kaynak kolu delik çapı=1,3 mm)



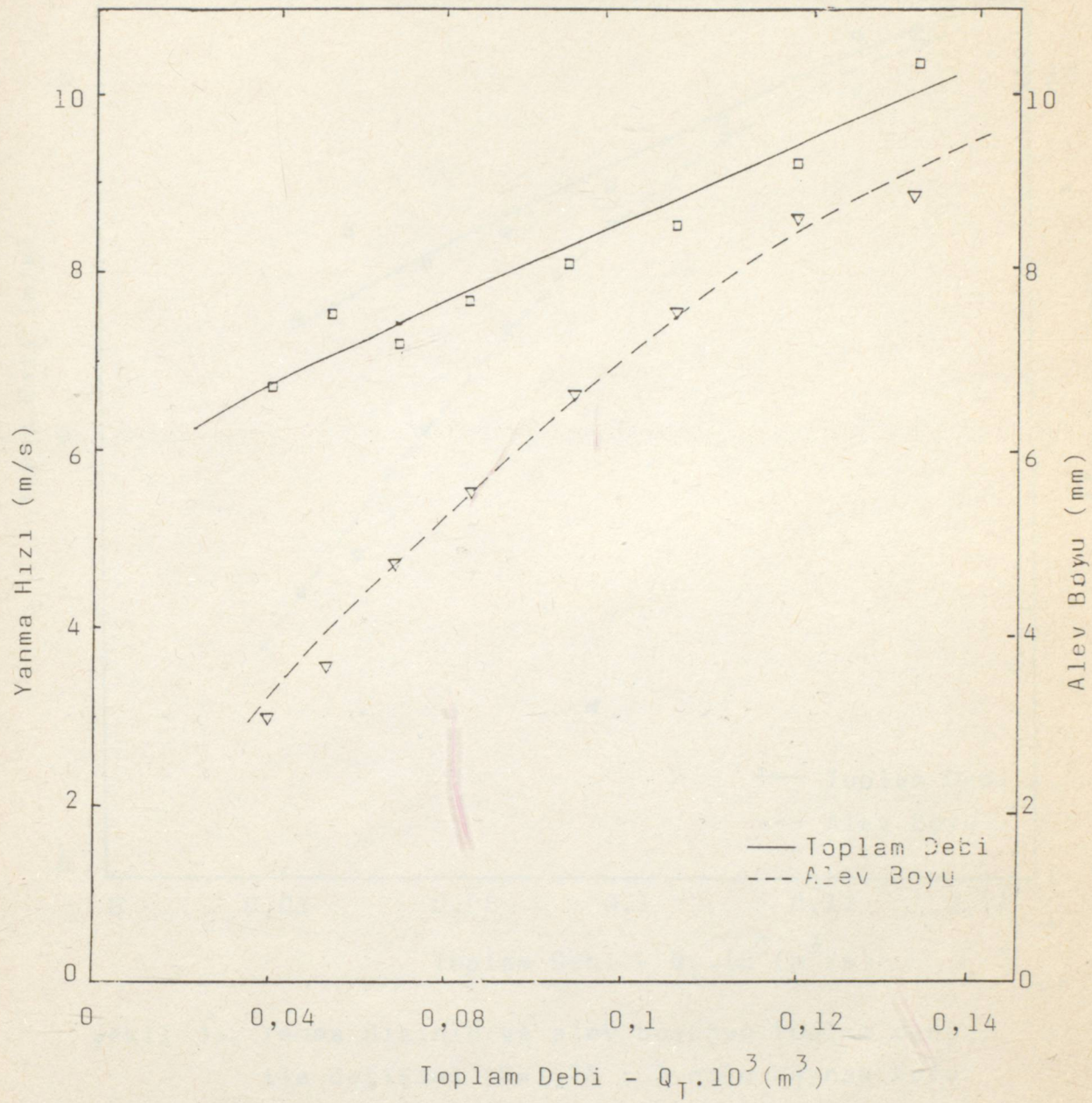
Şekil 30. Yanma hızının ve alev boyunun toplam debi ile değişimi ($R=0,75$; 3 nolu kaynak kolu delik çapı=1,3 mm)



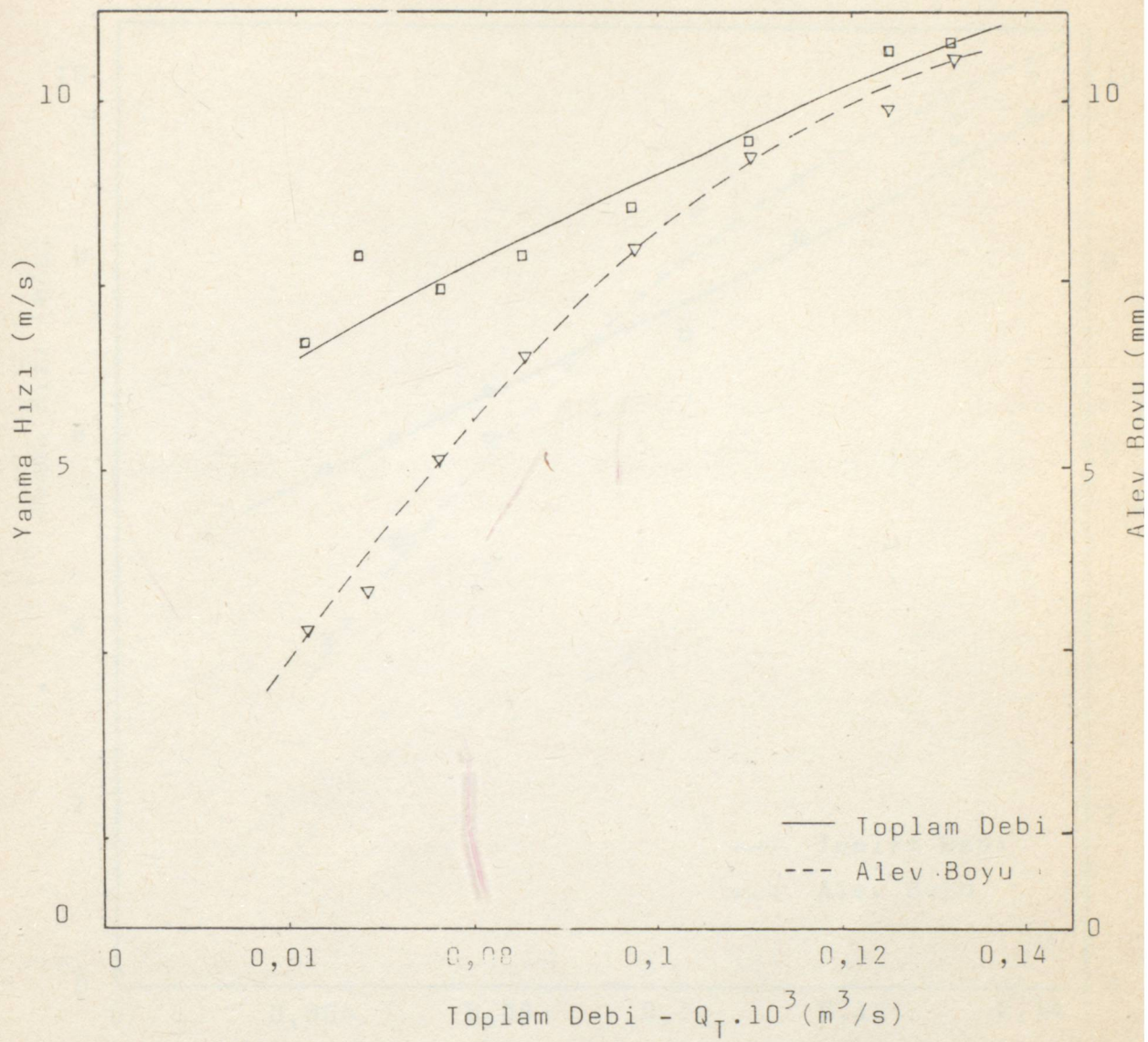
Şekil 31. Yanma hızının ve alev boyunun toplam debi ile değişimi ($R=1$; 3 nolu kaynak kolu delik çapı=1,3 mm)



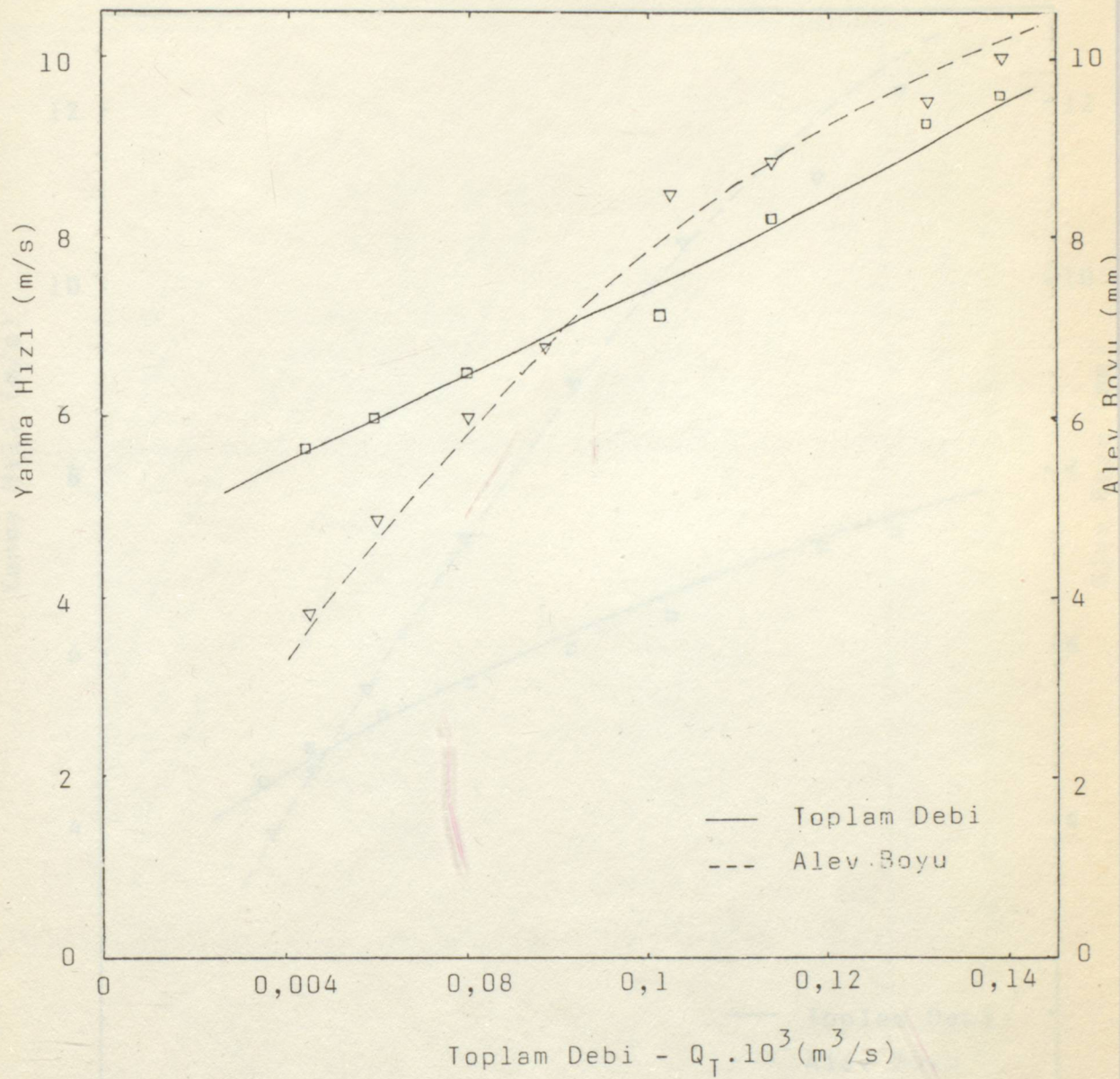
Şekil 32. Yanma hızının ve alev boyunun toplam debi ile değişimi ($R=1,25$; 3 nolu kaynak kolu delik çapı=1,3 mm)



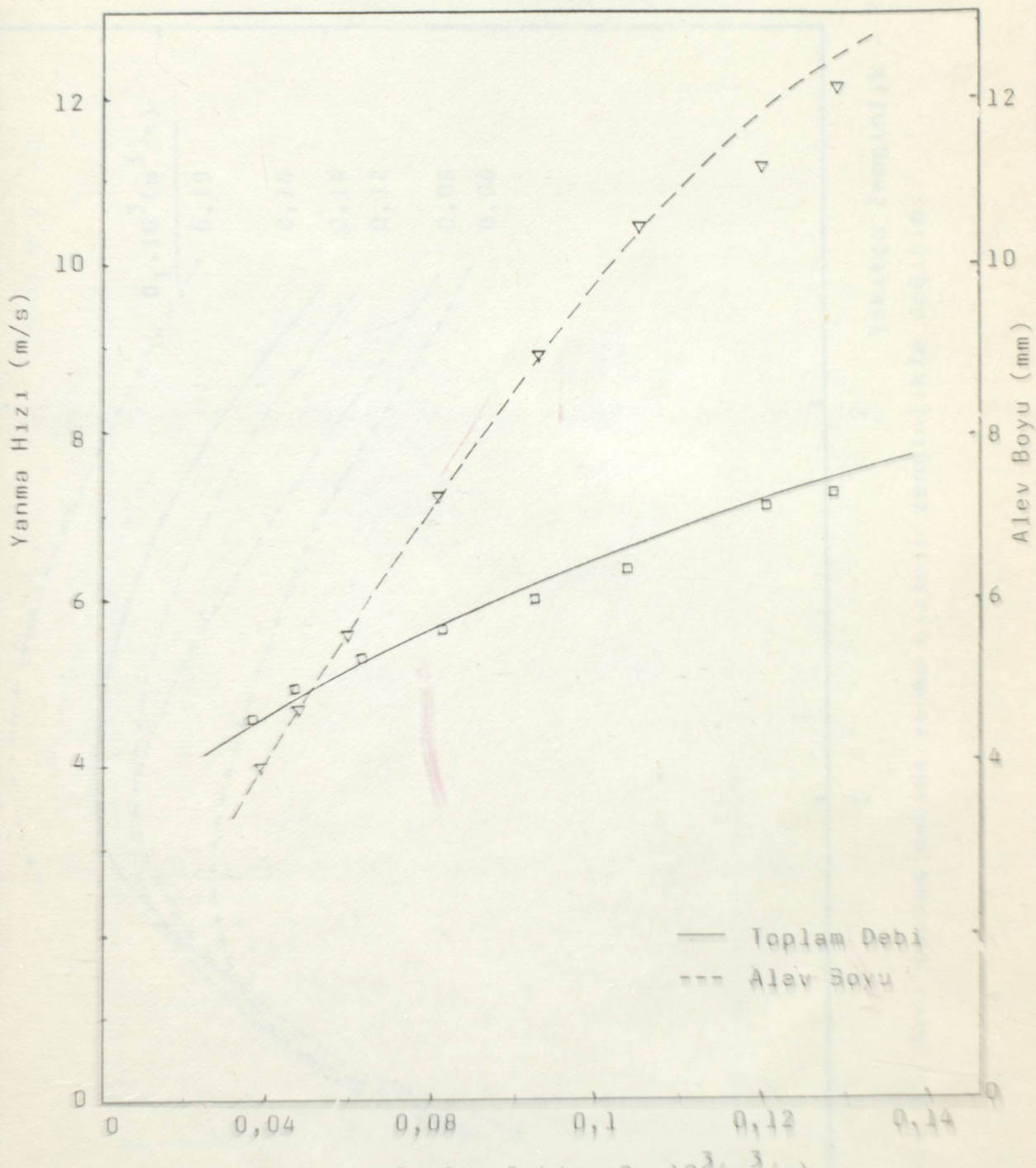
Şekil 33. Yanma hızının ve alev boyunun toplam debi ile değişimi ($R=1,5$; 3 nolu kaynak kolu delik çapı=1,3 mm)



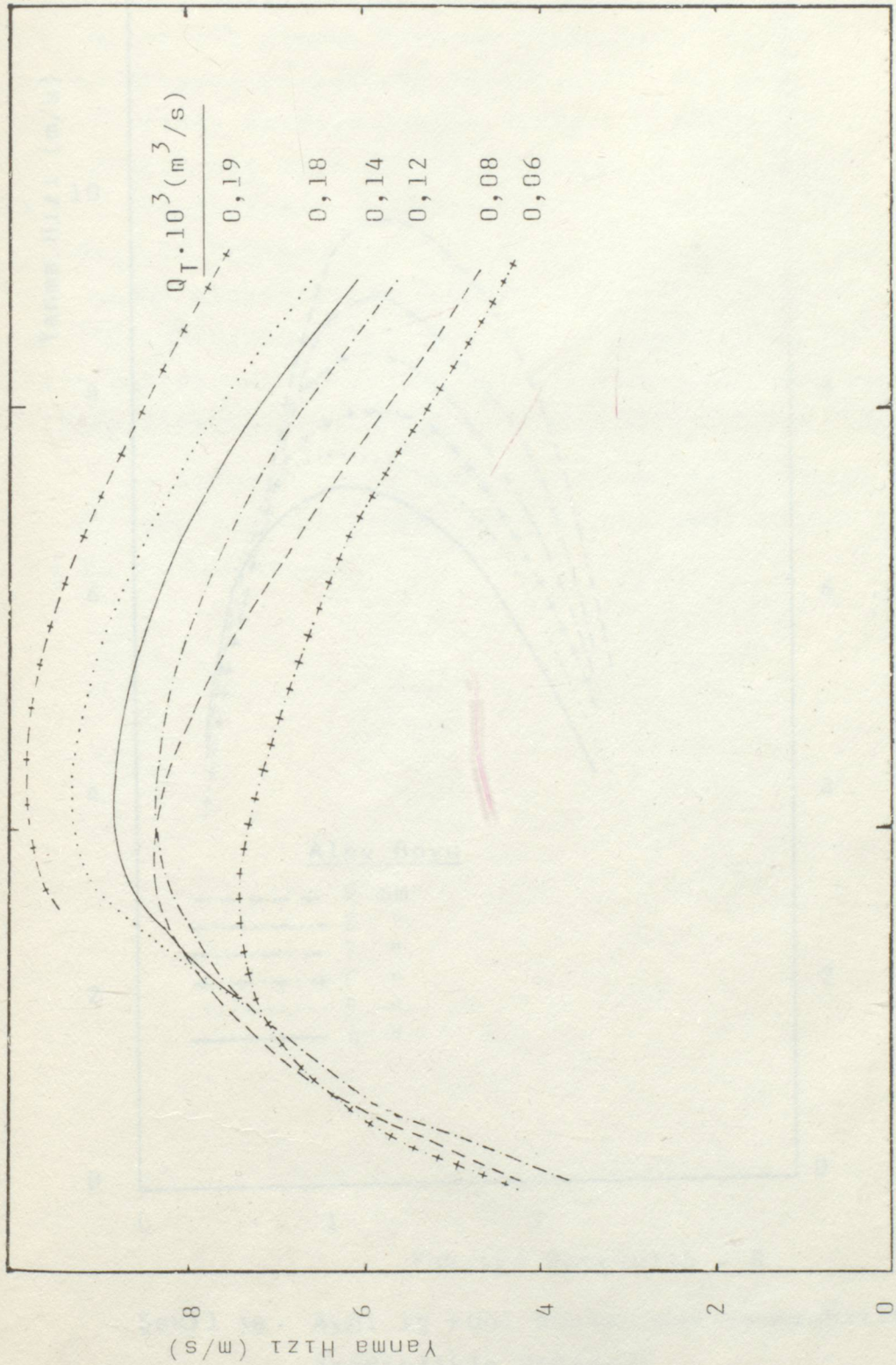
Şekil 34. Yanma Hızının ve alev boyunun toplam debi ile değişimi ($R=1,75$; 3 nolu kaynak kolu delik çapı= $1,3$ mm)



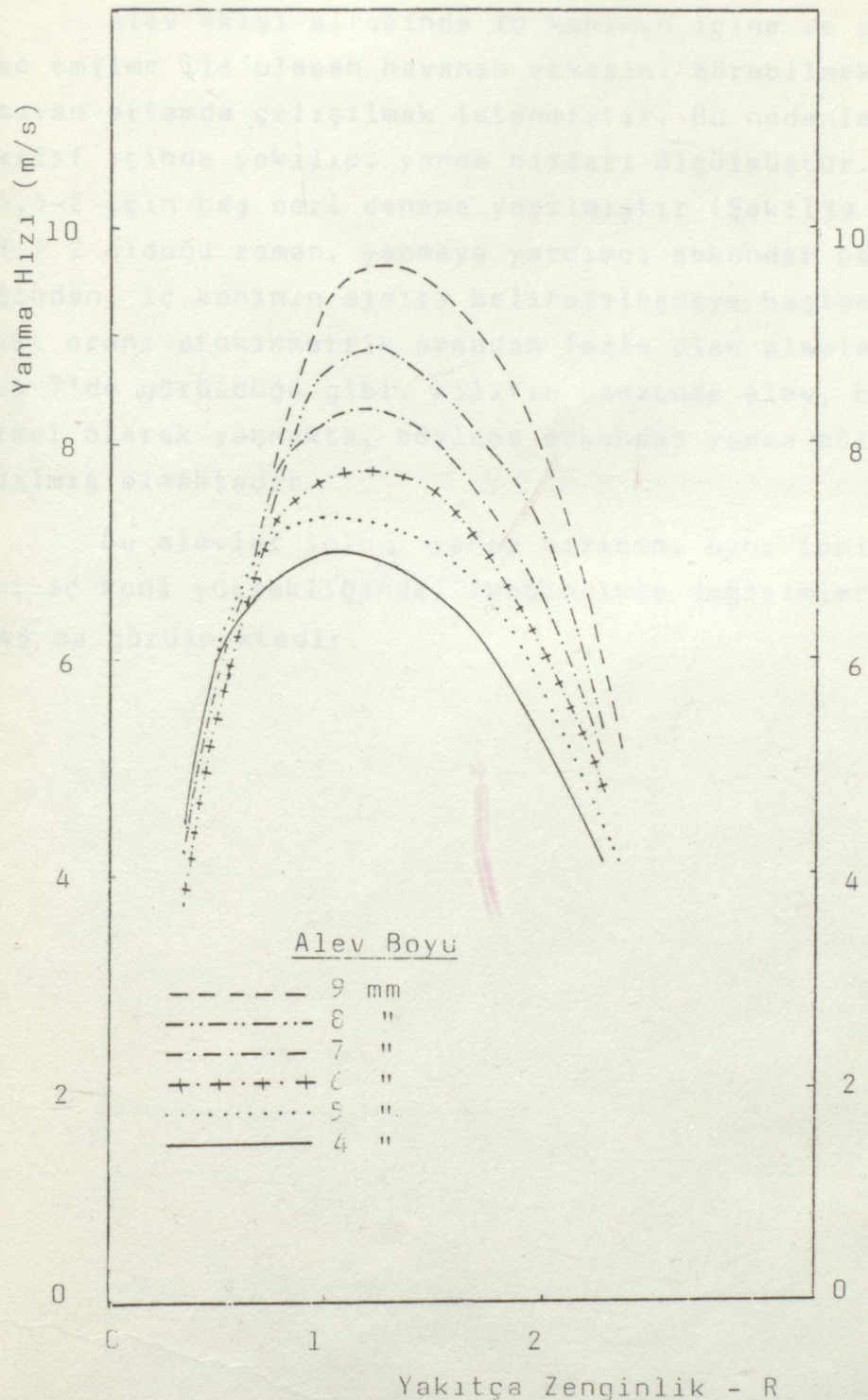
Şekil 35. Yanma hızının ve alev boyunun toplam debi ile değişimi ($R=2$; 3 nolu kaynak kolu delik çapı=1,3 mm)



Şekil 36 , Yanma hızı ve alev boyu ile orta suyun
ile değişimi (R=2,27 ; 3 tane kaynak hattı
değerleri = 3 mm)



Şekil 37. Aynı toplam debide yanma hızının zenginlikle değişimi.
2 Yakıtça Zenginlik - R

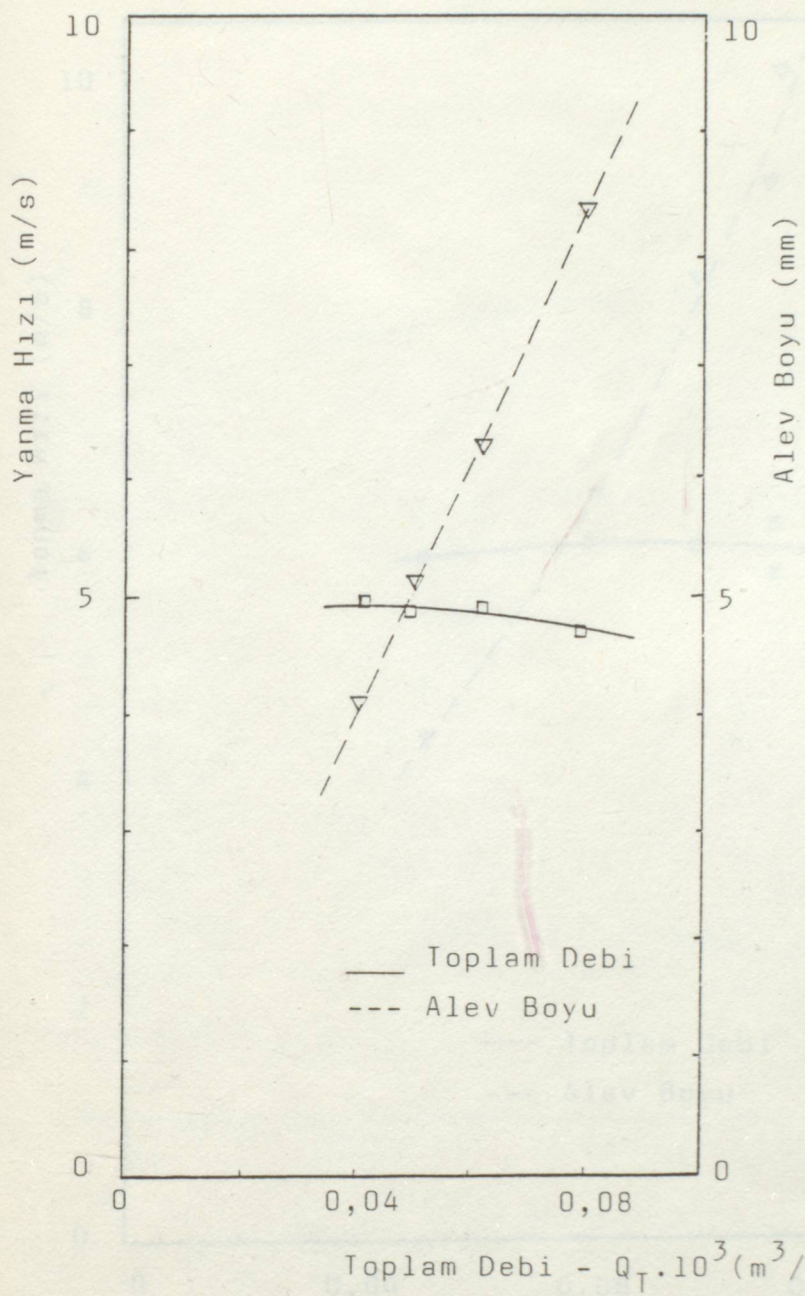


Şekil 38. Aynı iç koni boyalarında yanma hızlarının zenginlikle değişimi

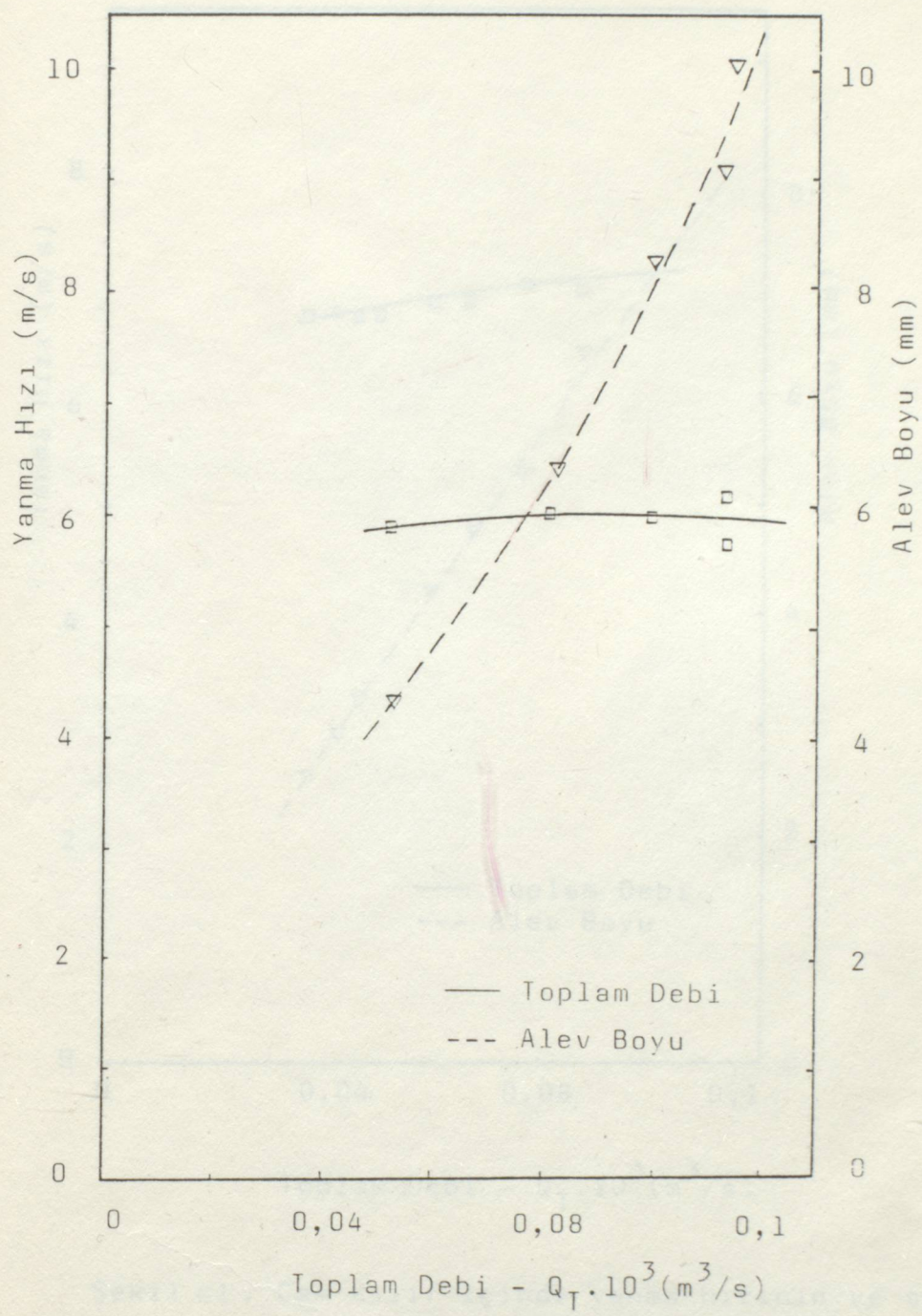
4.6. Kılıf İçine Yerleştirilmiş Alevin Yanma Hızının Ölçülmesi

Alev akışı sırasında iç koninin içine ve ucuna difüzyon ve emilme ile ulaşan havanın etkisini görebilmek için hava olmayan ortamda çalışılmak istenmiştir. Bu nedenle alevler cam kılıf içinde yakılıp, yanma hızları ölçülmüştür. $R=0,35-0,5-1-1,5-2$ için beş seri deneme yapılmıştır (Şekil 39 - 43 arası). $R > 2$ olduğu zaman, yanmaya yardımcı sekonder hava da olmadıgından, iç koninin sınırı belirsizleşmeye başlamaktadır. Yakıt oranı stokimetrik orandan fazla olan alevlerde Şekil 2 ve 7'de görüldüğü gibi, kılıfın üzerinde alev, bir difüzyon alevi olarak yanmaktadır, böylece sekonder yanma bölgesi izole edilmiş olmaktadır.

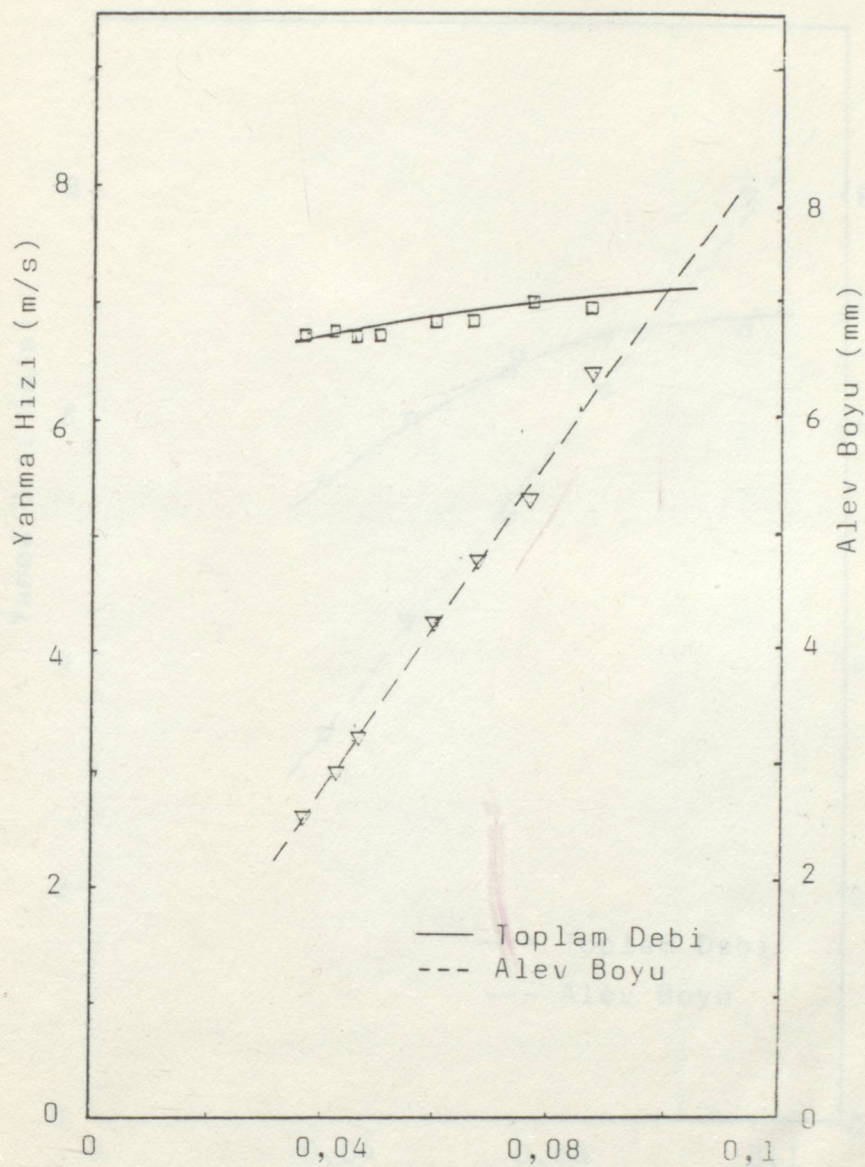
Bu alevler için; yanma hızının, aynı toplam debi ve aynı iç koni yüksekliğinde, zenginlikle değişimleri Şekil 44 ve 45 da görülmektedir.



Şekil 39. Cam kılıf içinde yanma hızının ve alev boyunun toplam debi ile değişimi ($R=0,35$)

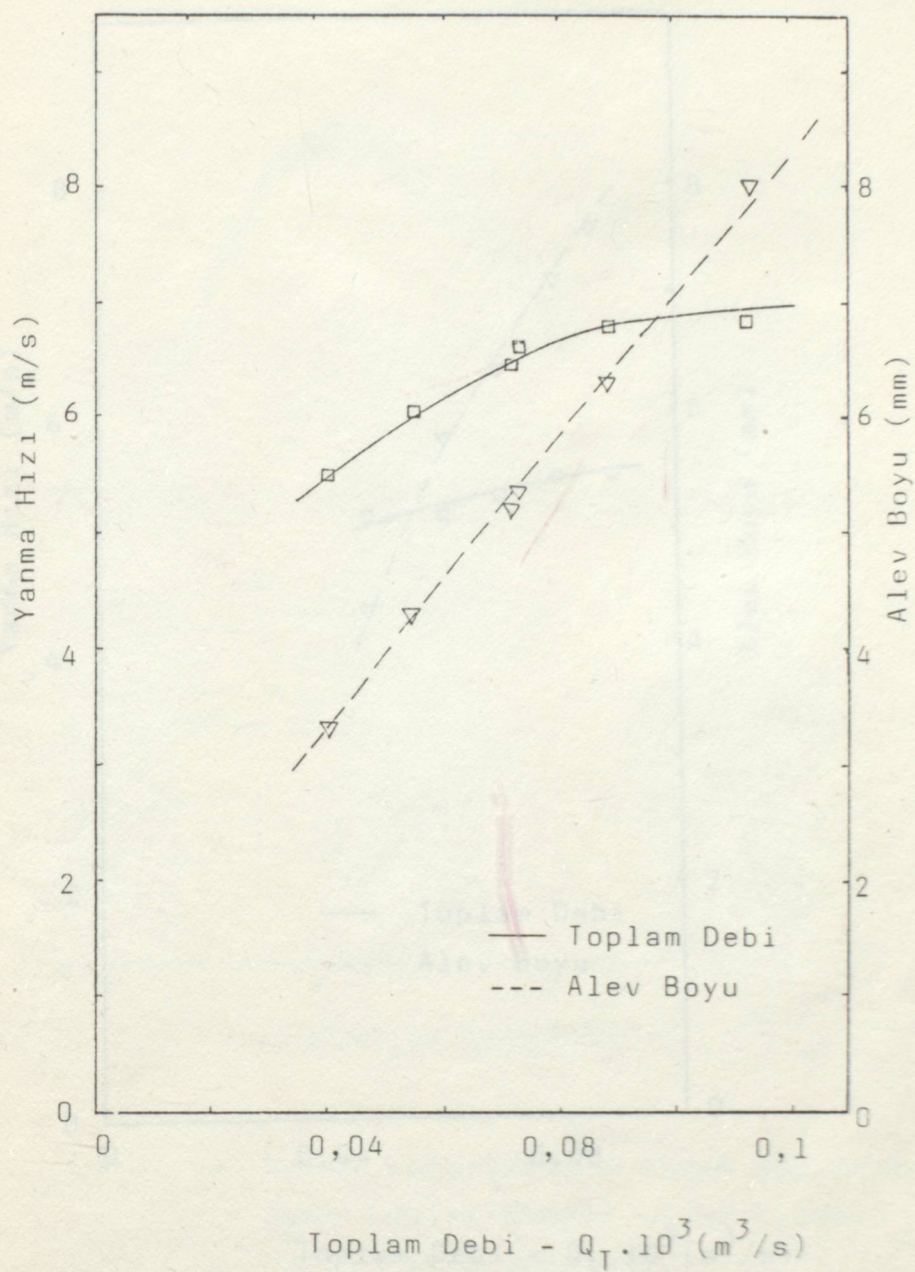


Şekil 40 . Cam kılıf içinde yanma hızının ve alev boyunun toplam debi ile değişimi ($R=0,5$)

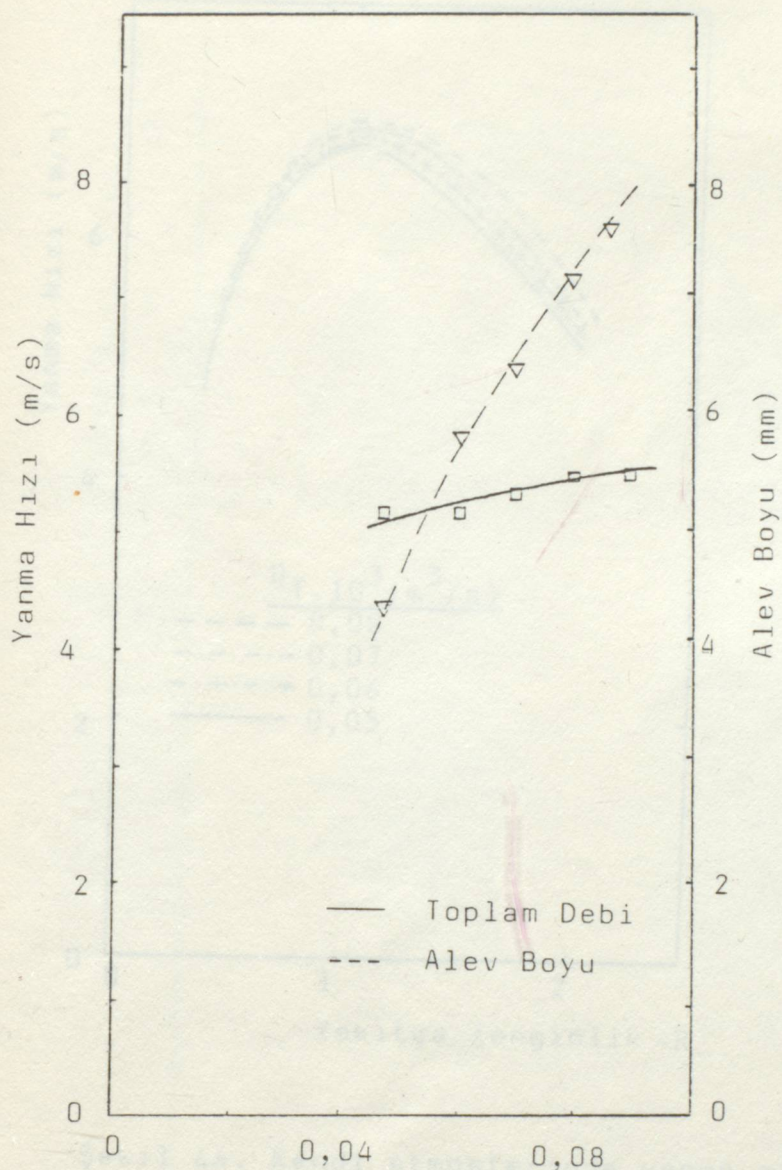


$$\text{Toplam Debi} - Q_T \cdot 10^3 (\text{m}^3/\text{s})$$

Şekil 41. Cam kılıf içinde yanma hızının ve alev boyunun toplam debi ile değişimi ($R=1$)

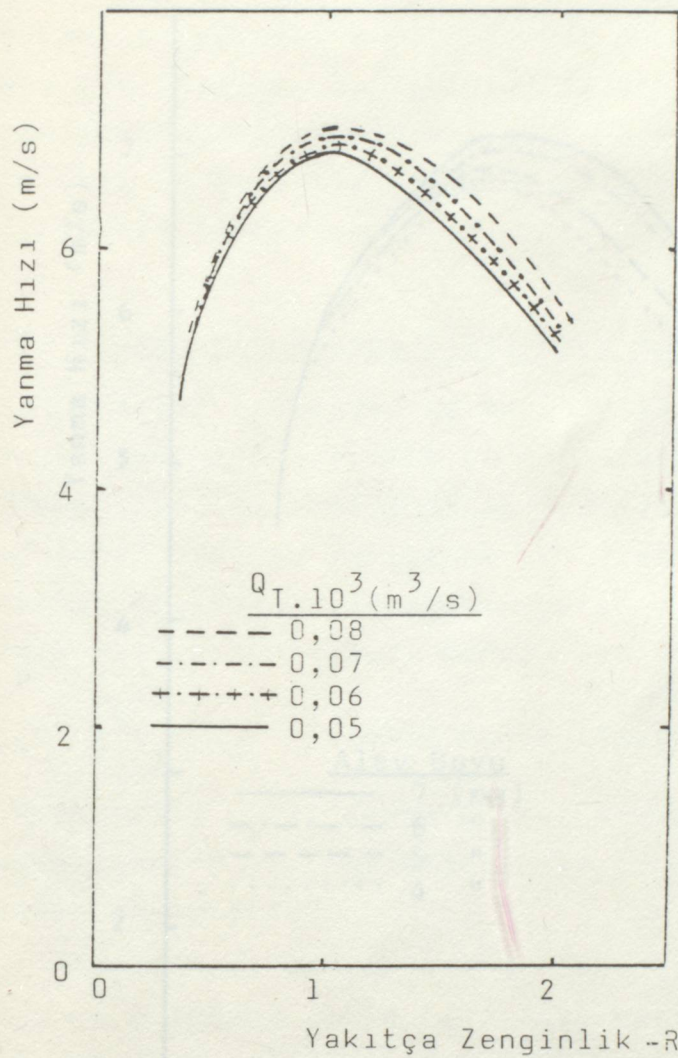


Şekil 42. Camkılıf içinde yanma hızının ve alev boyunun toplam debi ile değişimi ($R=1,5$)

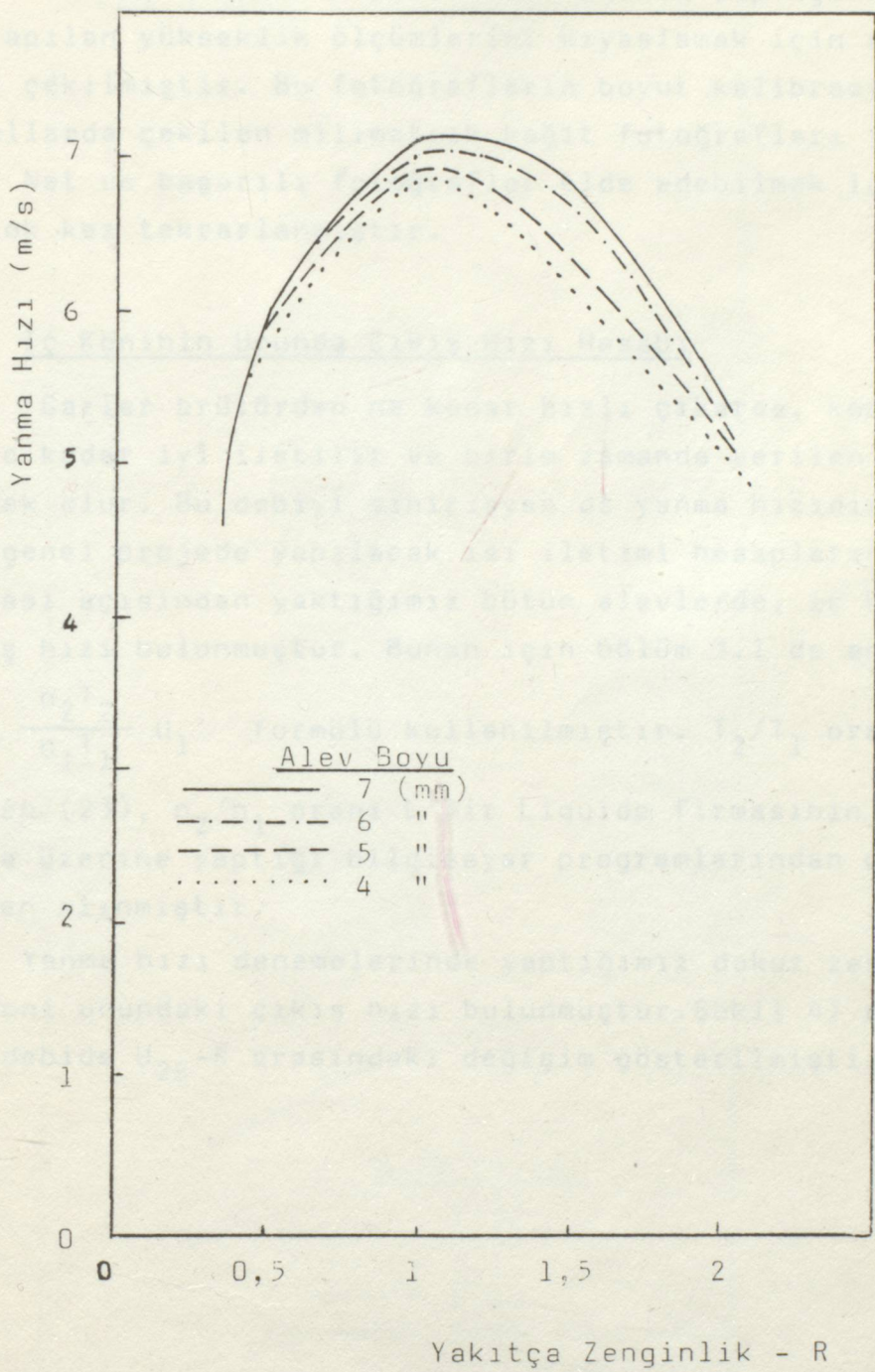


$$\text{Toplam Debi} = Q_T \cdot 10^3 (\text{m}^3/\text{s})$$

Şekil 43. Cam kılıf içinde yanma hızının ve alev boyunun toplam debi ile değişimi ($R=2$)



Şekil 44. Kendi atmosferinde yanın alevlerin
aynı toplam debide yanma hızının
zenginlikle değişimi.



Şekil 45. Kendi atmosferinde yanın alevlerin aynı iç koni yüksekliğinde yanma hızının zenginlikle değişimi.

4.7. Alev Fotoğraflarının İncelenmesi

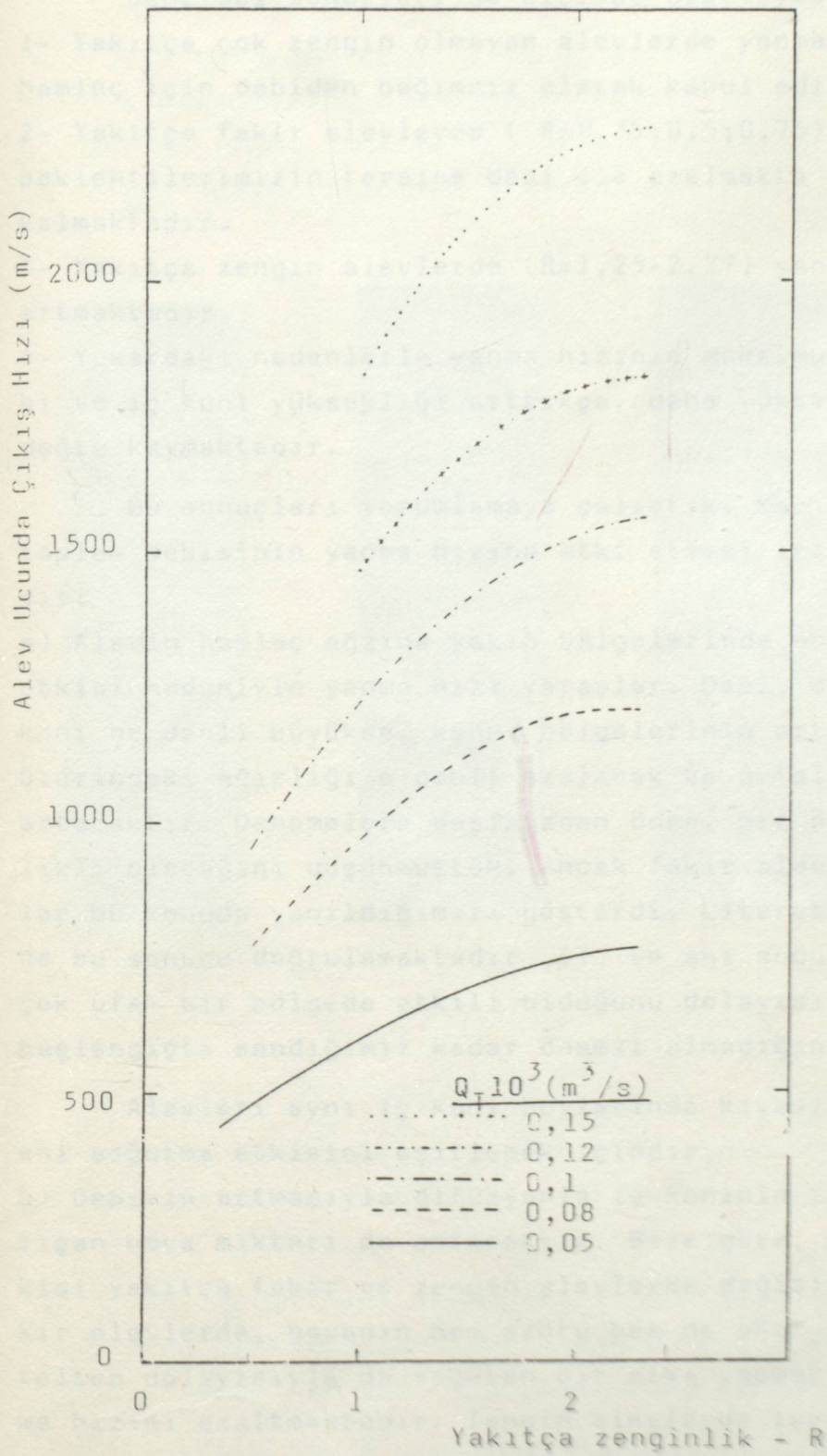
Hem iç koninin ideallikten nedenli saptığını görmek, hem de yapılan yükseklik ölçümelerini kıyaslamak için alev fotoğrafları çekilmiştir. Bu fotoğrafların boyut kalibrasyonları aynı koşullarda çekilen milimetrik kağıt fotoğrafları ile yapılmıştır. Net ve başarılı fotoğraflar elde edebilmek için bu işlem birçok kez tekrarlanmıştır.

4.8. İç Koninin Ucunda Çıkış Hızı Hesabı

Gazlar brülörden ne kadar hızlı çıkarsa, konveksiyonla ısı o kadar iyi iletilir ve birim zamanda verilen ısı güç de yüksek olur. Bu debiyi sınırlayan da yanma hızıdır. Bu bölümde, genel projede yapılacak ısı iletimi hesaplarına veri oluşturma açısından yaptığımız bütün alevlerde, iç koni ucundaki çıkış hızı bulunmuştur. Bunun için bölüm 3.1 de anlatılan

$$U_{2S} = \frac{n_2 T_2}{n_1 T_1} U_1$$
 formülü kullanılmıştır. T_2/T_1 oranı literaturden (23), n_2/n_1 oranı L'Air Liquide firmasının adyabatik yanma üzerine yaptığı bilgisayar programlarından çıkan sonuçlardan alınmıştır.

Yanma hızı denemelerinde yaptığımız dokuz zenginlik için iç koni ucundaki çıkış hızı bulunmuştur. Şekil 47 de aynı toplam debide U_{2S} -R arasındaki değişim gösterilmiştir.



Şekil 46. İç koni ucunda alev çıkış hızının aynı toplam debide zenginlikle değişimi.

4.9 Deneysel Sonuçların Değerlendirilmesi

Deneysel sonuçları şu biçimde özetleyebiliriz.

- 1- Yakıtça çok zengin olmayan alevlerde yanma hızı, belli bir hamlaç için debiden bağımsız olarak kabul edilebilir.
- 2- Yakıtça fakir alevlerde ($R=0,35; 0,5; 0,75$) yanma hızı, bekentilerimizin tersine debi ile azalmakta ya da sabit kalmaktadır.
- 3- Yakıtça zengin alevlerde ($R=1,25-2,27$) yanma hızı, debi ile artmaktadır.
- 4- Yukardaki nedenlerle yanma hızının maksimum değerleri; debi ve iç koni yüksekliği arttıkça, daha yüksek zenginliklere doğru kaymaktadır.

Bu sonuçları yorumlamaya çalıştık. Kanımızca, gazların toplam debisinin yanma hızına etki etmesi için üç neden vardır:

a) Alevin hamlaç ağızına yakın bölgelerinde ani soğutma(ürkütme) etkisi nedeniyle yanma hızı yavaşlar. Debi, dolayısıyla da iç koni ne denli büyüğse, kenar bölgelerinin ortalama yanma hızı üzerindeki ağırlığı o denli azalacak ve ortalama yanma hızı artacaktır. Denemelere başlamadan önce, biz bu etkinin ağırlıklı olacağını düşündük. Ancak fakir alevlerdeki sonuçlar bu konuda yanılgımızı gösterdi. Literatürdeki bilgilerde bu sonucu doğrulamaktadır (7) ve ani soğutma olayının çok ufak bir bölgede etkili olduğunu dolayısıyla, bu etkinin başlangıçta sandığımız kadar önemli olmadığını gösteriyor.

Alevleri aynı iç koni boyalarında kıyaslamanın nedeni ani soğutma etkisini eşitlemek içindir.

b) Debinin artmasıyla difüzyonla iç koninin içine ve ucuna karışan hava miktarı da artacaktır. Bize göre, bu karışmanın etkisi yakıtça fakir ve zengin alevlerde değişik olmaktadır. Fakir alevlerde, havanın hem azotu hem de oksijeni ortamı seyrelten dolayısıyla da soğutan bir etki yapmakta ve bu da yanma hızını azaltmaktadır. Zengin alevlerde ise, havayla karışma iki çelişik sonucu bir arada doğurur; havanın oksijeni yanmayı tamamlayarak sıcaklığı ve yanma hızını arttırır. Bunu

doğrulamak için alevleri kendi atmosferinde yakarak inceledik.

c) Debinin büyümesiyle, yanma hızı artma bile iç koni konilikten sapar. Biz yanma yüzeyini üçgen biçiminde hesapladığımız için gerçeğin altında sonuç buluruz. Bu yanma hızını, gerçek yanma hızının üzerinde hesapladığımız sonucunu doğurur. Üçgenden sapma yakıtça fakir alevlerde daha az, zengin alevlerdeyse daha fazladır.



$$R=0,5$$

$$Q_T = 0,051 \text{ (l/s)}$$



$$R=0,5$$

$$Q_T = 0,114 \text{ (l/s)}$$



$$R=2$$

$$Q_T = 0,045 \text{ (l/s)} \quad Q_T = 0,183 \text{ (l/s)}$$



$$R=2$$

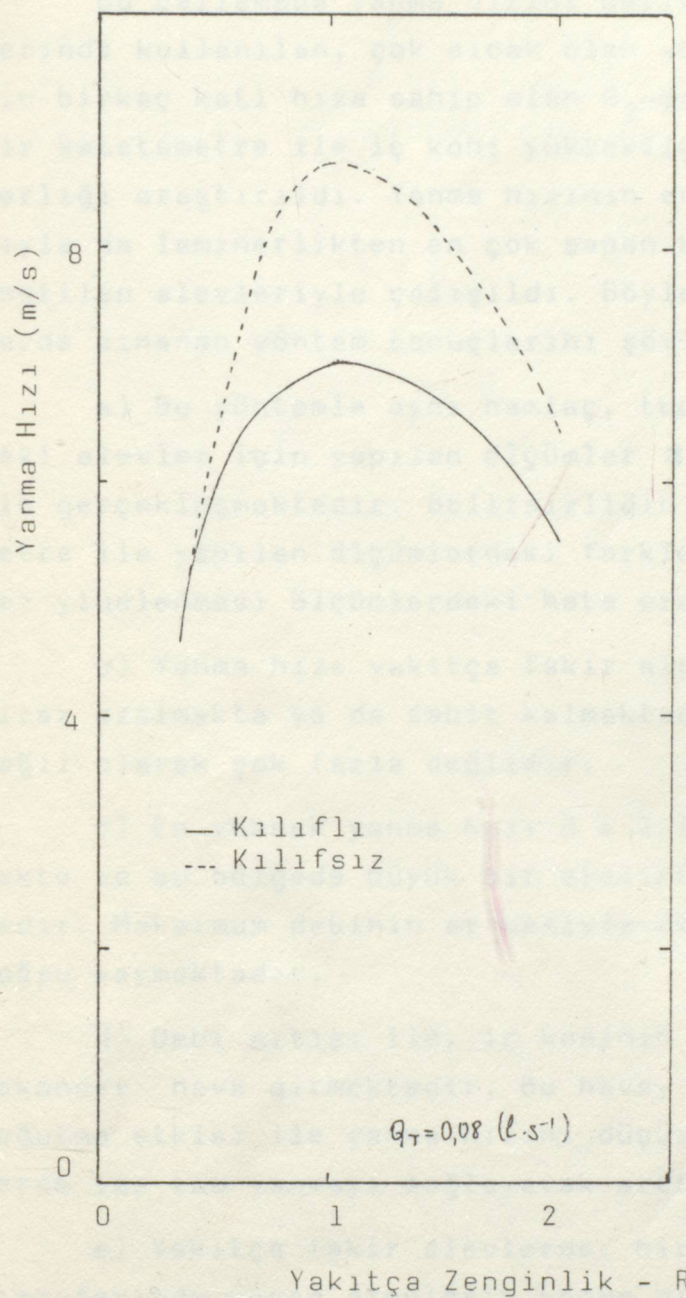
Şekil 47. Alev Fotoğrafları

Bu nedenle yakıtça zengin alevlerde yanma hızı gerçekten artmasa da artar görünür. Bunu doğrulamak için alev fotoğrafı çekmek istedik.

Alevleri kendi atmosferlerinde yakınca, yakıtça fakir alevlerde debi artışı ile yanma hızı sabit kaldı. Yakıtça zengin alevlerde ise debi ile yanma hızı artışı azaldı.

Yakıtça fakir alevlerde kılıflı ve kılıfsız yanma hızları hemen hemen sabit iken, zengin alevlerde yüksek debiler-

de kılıflı alevlerin yanma hızları önemli derecede düşer. Bu yakıtça zengin alevlerde iç koninin içine ve ucuna karışan hava oksijenini yanma hızını arttıracı etkisi olduğu düşüncesini doğrulamaktadır (Şekil'48)



Şekil 48. Aynı debide kılıflı ve kılıfsız alevlerin yanma hızlarının zenginlikle değişimi.

5. SONUÇ

Bu çalışmada yanma hızını belirlemek için alev işlerinde kullanılan, çok sıcak olan ve hava ile yanın alevlerin birkaç katı hızı sahip olan O_2 -gaz yakıt alevlerinde bir katetometre ile iç koni yüksekliğini ölçme yönteminin geçerliği araştırıldı. Yanma hızının en yüksek olduğu, dolayısıyla da laminerlikten en çok sapan karışım olan oksijen-asetilen alevleriyle çalışıldı. Böylelikle en olumsuz koşullarda sınanan yöntem sonuçlarını şöyle özetleyebiliriz:

- a) Bu yöntemle aynı hamlaç, toplam debi ve zenginlikteki alevler için yapılan ölçümler $\pm 5\%$ 'lık bir belirsizlik ile gerçekleşmektedir. Belirsizliğin nedeni uzaktan katetometre ile yapılan ölçümlerdeki farklardır. Deneyin birçok kez yinelenmesi ölçümlerdeki hata oranını azaltacaktır.
- b) Yanma hızı yakıtça fakir alevlerde, toplam debi ile biraz azalmakta ya da sabit kalmaktadır. Ancak bu değişimler bağılı olarak çok fazla değildir.
- c) En yüksek yanma hızı $R = 1-1,5$ arasında elde edilmekte ve bu bölgede büyük bir aralıkta oldukça sabit kalmaktadır. Maksimum debinin artmasıyla daha yüksek R değerlerine doğru kaymaktadır.
- d) Debi artışı ile, iç koninin içine ve uç bölgесine sekonder hava girmektedir. Bu hava, yakıtça fakir alevlerde soğutma etkisi ile yanma hızını düşürmektedir. Zengin alevlerde ise tam yanmayı sağlayarak arttırmaktadır.
- e) Yakıtça fakir alevlerde, bir kılıfın içinde kendi atmosferinde yanın alevlerin yanma hızları, açık havada yanın alevlerinkine çok yakındır. Zengin alevlerde ise açık havada yanın alevlerin yanma hızları, kılıf içinde yanınlardan fazla olmakta ve bu fark zenginlikle artmaktadır.
- f) Yakıtça zengin alevlerde, toplam debi arttığı zaman iç koni ideallikten sapmakta, yüzeyi aynı yükseklikteki ideal bir koniden fazla olmaktadır. Dolayısıyla da yanma hızı gerçekte artmaya da, artmış gibi gözükmektedir.

Oksijen-asetilen ön karışımı alevleri ile gerçekleştirdiğimiz bu denemeler, bütün O₂-yakit alevleriyle gerçekleştirilmesi sonucu, bu yakıtlar alev işlemleri açısından kıyaslanabilecek ve bunların birbirleri yerine nasıl kullanılabilenekleri belirlenecektir.

KAYNAKLAR

1. SOUCHE, I., KADIRGAN,N., ELADALOUSSI, B., CHATALIC, A., BREGEON, B.G., " Some Aspect of Hydrogen Combustion and Its Potentialities Compared to Other Usual Fuels", Hydrogen Energy, 3, 1129-44, (1986)
2. KADIRGAN, N., " Oksijen- Gaz Yakıt Alevlerinde Kimyasal Denge", İTÜ İkinci Yanma Sempozyumu, 17-23, İstanbul (1989)
3. SARAÇ, A., " Değişik Alevlerden Metallere Isı İletiminin Kiyaslanması İçin Alevin Metal ve Cam Çubukları Kesme Sürelerine Dayalı Bir Yöntem", Yüksek Lisans Tezi, Yıldız Univ., İstanbul (1990)
4. HEWITT, A.D., " Technology of Oxy-Fuel Gas Processes, General Principles Involved" , Welding and Metal Fabrication, 40(9), 318-322, (1972)
5. KADIRGAN, N., " Doğal Gazın Sanayide, Isınmada, Kurutmada, Pişirmede, Fırınlamada, Isıl İşlemlerde Doğrudan Kullanımı" Kimya Müh. Odası Doğal Gaz Okulu Notları, 171-178, İstanbul (1990)
6. BRADLEY, J.N., " Alev ve Yanma" , Çeviri: BORAT,O., BOYSAN, F., İTÜ Matbaası, 1-6, 24-34, 42-46, İstanbul (1974)
7. LEBEAU, P., " Les Hautes Temperatures et Leurs Utilisations en Chimie, Masson et Cie, 11-16,70-72, (1950)
8. Nasıl Çalışır Bilim, Teknoloji ve İcatlar Ansiklopedisi, Gelişim Yayınları 1 , 45-47, İstanbul (1980)
9. HASTIE, J.W., " High Temperature Vapors Science and Technology" , Materials Science Series, Academic Press, (1975)
- 10.KADIRGAN, N., " Doğal Gazın Yanma Özellikleri, Yanma Ürünleri ve Hava Kirliliği", Kimya Müh.Odası Doğal Gaz Okulu Notları, 221-225, 227-232, İstanbul (1990)
- 11.KADIRGAN, N., BREGEON, B., " Endüstride Kullanılan Gaz Yakıt-Oksijen Alevlerine C_2 ve CH Radikallerinin Deneysel İncelenmesi" , V. Kimya ve Kimya Müh. Sempozyumu, 71-73, Ankara (1988)

12. PRESS, H., "Formation des Oxydes lors du Soudage aux Gaz, Mesures pour la Prevention d'Atteintes a la Sante", Soudage et Techniques Connexes, 207-211, (1981)
13. KADIRGAN,N., "Doğal Gazın Sanayide Doğrudan Kullanımı", Kimya Müh. Dergisi, (133-134), 46-49 (1989)
14. HEWITT; A.D., "Technology of Oxy-Fuel Gas Processes, Comparative Combustion Properties of Fuel Gases", Welding and Metal Fabrication, 40(11), 382-389, (1971)
15. HEWITT, A.D., "Technology of Oxy-Fuel Gas Processes, General Principles Involved", Welding and Metal Fabrication, 40(10), 347-350, (1972)
16. HEWITT, A.D., "Technology of Oxy-Fuel Gas Processes, The Choice of Suitable Fuel Gases" Welding and Metal Fabrication, 40(12), 416-422, (1972)
17. ANIK,S., Kaynak Tekniği 1, İTÜ (1973)
18. ANIK,S., "Sert Lehimlemenin Esasları", Kaynak Dünyası 15, (1990)
19. FIRATLI, E., "Metallerin Oksi-Doğal Gaz Alevi ile Kesilmesinde Ana Veriler", Makina Müh. Odası Doğal Gaz Sempozyum Bildirileri, 95-97, Eskişehir (1988)
20. RALLIS, C.I., GARFORTH, A.M., "The Determination of Laminar Burning Velocity", Prog. Energy Combust. Sci., (66), 303-329, (1981)
21. SUDDENDORF, R.F., DENTON, M.B., "Burning Parameters of Premixed Oxygen-Hydrogen and Oxygen-Acetylene Flames", Applied Spectroscopy, 28(1), 1974
22. KADIRGAN.N., "Konutlarda Doğal Gaz'a Dönüşüm", Kimya Müh. Odası Doğal Gaz Okulu Ders Notları, 35-36, İstanbul (1990)
23. KADIRGAN,N., CHALATIC, B.G., BREGEON. B.G. "Determination of H Radicals (ESR Spectroscopy), Temperature and OH Radicals (IR Spectroscopy) Distributions in Oxy-Fuel Flames at Atmospheric Pressure", 16 th Southeastern Seminar On Thermal Sciences 1, 117-133, (1982)

ÖZGEÇMİŞ

1964 yılı Çorum doğumluyum. İlkokul ve Ortaokulun ilk iki yılını, Çorum'da okudum. Daha sonra İstanbul Yeni Levent Lisesini bitirdim. 1983 yılında girdiğim Yıldız Üniversitesi Kimya Mühendisliği Bölümünde, 1988 yılında yüksek lisans öğrenimine başladım. Aynı bölümde 1989'dan beri araştırma görevlisi olarak çalışmaktadır.





*
6 6 1
4 7 0
0 0 0